



ผลของกรรมวิธีทางความร้อนต่อการปรับปรุงโครงสร้างทางจุลภาคและ

ความแข็งของโลหะผสมพิเศษเบสนิกเกิลเกรด GTD - 111

EFFECTS OF REHEAT TREATMENT CONDITIONS ON  
MICROSTRUCTURES AND HARDNESS OF CAST NICKEL

BASE SUPERALLOY GTD - 111

นางสาวจริยาพร นรชาญ รหัส 48365149

นายธีรา ภิรุษฐ์ รหัส 48365262

ห้องสบุคคลและวัสดุกรรมศาสตร์

วันที่รับ..... ๑๓ ก.ค. ๒๕๕๓

เลขทะเบียน..... ๑๕๐๖๐๓๓

เลขเรียกหนังสือ..... ๙๖

ปริญญาในพนธ์นี้เป็นส่วนหนึ่งของครุภัณฑ์ของมหาวิทยาลัยราชภัฏเชียงใหม่ ประจำปี พ.ศ. ๒๕๕๒

สาขาวิชาวิศวกรรมวัสดุ ภาควิชาวิศวกรรมอุตสาหการ

คณะวิศวกรรมศาสตร์ มหาวิทยาลัยราชภัฏ

ปีการศึกษา ๒๕๕๒



## ใบรับรองปริญญานิพนธ์

ชื่อหัวข้อโครงการ	ผลของกรรมวิธีทางความร้อนต่อการป้องกันไฟไหม้ในโครงสร้างทางจุลภาค และความแข็งของโลหะผสมพิเศษเบสนิกเกล เกรด GTD – 111	
ผู้ดำเนินโครงการ	นางสาว จริยาพร นรชาญ	รหัส 48365149
	นาย ปรีชา วชิราศรีศิริกุล	รหัส 48365262
อาจารย์ที่ปรึกษา	อาจารย์ชุดีพรย์ ป่าໄเร	
สาขาวิชา	วิศวกรรมวัสดุ	
ภาควิชา	วิศวกรรมอุตสาหการ	
ปีการศึกษา	2552	

คณะวิศวกรรมศาสตร์ มหาวิทยาลัยนเรศวร อนุมัติให้ปริญญานิพนธ์ฉบับนี้เป็นส่วนหนึ่ง  
ของการศึกษาตามหลักสูตรวิศวกรรมศาสตรบัณฑิต สาขาวิชาวิศวกรรมวัสดุ

 .....ที่ปรึกษาโครงการ

(อาจารย์ชุดีพรย์ ป่าໄเร)

 .....กรรมการ

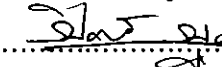
(ดร.นพวรรณ โน๊ตทอง)

 .....กรรมการ

(อาจารย์กุณย์ พุฒสวัสดิ์)

 .....กรรมการ

(อาจารย์ศิริกัญจน์ ขันสมฤทธิ์)

 .....กรรมการ

(อาจารย์ปิยมันท์ บุญพัชร์)

<b>ชื่อหัวข้อโครงการ</b>	ผลของกรรมวิธีทางความร้อนต่อการปรับปรุงโครงสร้างทางจุลภาค และความแข็งของโลหะผสมพิเศษเฟสเซนิกเกล เกรด GTD – 111	
<b>ผู้ดำเนินโครงการ</b>	นางสาวจริยาพร นรชาญ	รหัส 48365149
	นายปรีชา วชิราศรีศิริกุล	รหัส 48365262
<b>อาจารย์ที่ปรึกษา</b>	อาจารย์ ชุดีพรย์ ป่าໄຮ	
<b>สาขาวิชา</b>	วิศวกรรมวัสดุ	
<b>ภาควิชา</b>	วิศวกรรมอุตสาหการ	
<b>ปีการศึกษา</b>	2552	

### บทคัดย่อ

งานวิจัยนี้ให้ความสำคัญกับกรรมวิธีทางความร้อนเพื่อที่จะศึกษาโลหะผสมเบสเซนิกเกล เกรด GTD – 111 เพื่อให้ได้โครงสร้างจุลภาคที่เหมาะสมที่จะสามารถนำผลการทดลองที่ได้นั้นนำไปปรับสภาพในผังกังหันก้าชที่เสื่อมสภาพ เนื่องจาก การใช้งานอย่างต่อเนื่องเป็นระยะเวลา长นาน ภายใต้สภาพการใช้งานที่อุณหภูมิสูง ซึ่งเป็นสาเหตุที่จะทำให้เกิดการแตกหักเสียหาย ต่อไปได้ เนื่องจาก การที่อนุภาคแกรมนา ไฟร์นรวมตัวกันเป็นกลุ่มต่อเนื่องทำให้ความสามารถในการต้านทานความถี่ลดลง โครงการนี้ได้ทำการวิธีทางความร้อนสภาวะต่าง ๆ กัน 4 สภาวะการทำลายดังนี้ที่อุณหภูมิ 1175 1185 1195 และ 1205 องศาเซลเซียสเป็นเวลา 4 ชั่วโมง ทำการบ่มแข็งอุณหภูมิ 845 องศาเซลเซียส ระยะเวลาค่าต่าง ๆ กัน ดังนี้ ที่เวลา 25 50 75 100 200 300 และ 400 ชั่วโมง ตามลำดับ แล้วจึงวิเคราะห์ผลเบริชเทียบกัน พบว่าโครงสร้างจุลภาคที่ผ่านการทำลายที่ 1205 องศาเซลเซียส เป็นเวลา 4 ชั่วโมง และมีการบ่มแข็งตามอีก 200 – 300 ชั่วโมง เป็นกรรมวิธีทางความร้อนที่เหมาะสมที่สุดในการปรับปรุงหรือพัฒนาโครงสร้างจุลภาคของโลหะผสมพิเศษเกรดนี้ต่อไป

## กิตติกรรมประกาศ

โครงการนี้จะไม่สามารถดำเนินร่องได้หากปราศความช่วยเหลือ อาจารย์ที่ปรึกษา โครงการ อาจารย์ ชุดีพรย์ เป้าไร์ ซึ่งเป็นผู้แนะนำการทำงานและค่อยให้คำปรึกษาทั้งเรื่องงาน รวมถึงการดำเนินชีวิตในประจำวัน และอาจารย์ที่ปรึกษาโครงการร่วม ดร. ปัญญวชร์ วังขาว ที่ ค่อยให้ความช่วยเหลือในทุกด้าน ทำให้นิสิตพัฒนากระบวนการทางความคิดได้มากขึ้นทั้งเรื่อง เรียนการใช้ชีวิตและการทำประโยชน์เพื่อผู้อื่น ขอบพระคุณท่านอาจารย์ทุกท่านในภาควิชา วิศวกรรมอุตสาหการ คณะวิศวกรรมศาสตร์ มหาวิทยาลัยเกรียง ที่ค่อยให้คำปรึกษาและกำลังใจมา โดยตลอด ตลอดจนความรู้และประสบการณ์ในการเรียนตลอดระยะเวลาที่ผ่านมา รวมทั้งคุณ วีระศักดิ์ หอมกระชาบ เจ้าหน้าที่การไฟฟ้าฝ่ายผลิตแห่งประเทศไทย ที่ให้การสนับสนุนชั้นงาน ทดสอบและคูณในหลาย ๆ เรื่องของขอบคุณเจ้าหน้าที่ของสถาบันวิจัยโลหะและวัสดุหางรรณ มหาวิทยาลัย ที่อำนวยความสะดวกในการทำงานวิจัยครั้งนี้เป็นอย่างดี รวมทั้งขอบพระ สถาบันวิจัยโลหะและวัสดุแห่งชาติ ที่ให้การสนับสนุนในเรื่องการใช้กล้องจุลทรรศน์แบบส่อง กล้อง

ขอบพระคุณบิดา มารดา ที่ค่อยให้การสนับสนุนในทุก ๆ เรื่อง ให้คำชี้แนะ และความ เข้าใจในการทำงานวิจัยในครั้งนี้ซึ่งเป็นระยะเวลาที่ยาวนาน ขอบคุณกำลังใจที่มอบให้เสมอมา ทำ ให้ข้าพเจ้ามีกำลังใจทำงานร่วมไปถึงดำเนินชีวิตด้วยจิตใจที่มีความพยาบาล และความอดทนมากขึ้น ในทุกวัน ขอบคุณเพื่อน ๆ พี่ ๆ น้อง ๆ ที่ค่อยเป็นกำลังใจที่ดีเรื่อยมา และสุดท้ายนี้ขอบคุณ บุคคลท่านอื่น ที่ไม่ได้กล่าวนามทุกท่าน ที่ได้ให้คำแนะนำและช่วยเหลือโครงการวิจัยนี้ ไว้ ณ ที่นี่

คณะผู้ดำเนินโครงการวิศวกรรม

จริยaph นรชาญ

บริชา วชิราศรีศิริกุล

มีนาคม 2553

# สารบัญ

	หน้า
ในรับรองปริญญาบัณฑิต.....	ก
บทคัดย่อภาษาไทย.....	๗
กิตติกรรมประกาศ.....	ก
สารบัญ.....	๙
สารบัญตาราง.....	๑๖
สารบัญรูป.....	๑๖
บทที่ 1 บทนำ.....	1
1.1 ความเป็นมาและความสำคัญของโครงการ.....	1
1.2 วัตถุประสงค์ของโครงการ.....	2
1.3 เกณฑ์ชี้วัดผลงาน (Output).....	3
1.4 เกณฑ์ชี้วัดผลสำเร็จ (Outcome) .....	3
1.5 ขอบเขตการศึกษา.....	3
1.6 สถานที่ในการดำเนินการวิจัย.....	3
1.7 ระยะเวลาในการดำเนินการวิจัย.....	4
1.8 ขั้นตอนดำเนินงานวิจัย.....	4
บทที่ 2 หลักการและทฤษฎีเบื้องต้น.....	5
2.1 ความรู้เบื้องต้นเกี่ยวกับชุดปีอัลโลย.....	5
2.2 ความรู้เบื้องต้นเกี่ยวกับชุดปีอัลโลยประเกทนิกเกลเกรด GTD – 111.....	12
2.3 กระบวนการทางความร้อนของชุดปีอัลโลย.....	15
2.4 กล้องชุดทรงศรีอิเล็กตรอนแบบส่องสว่าง.....	20
2.5 งานวิจัยที่เกี่ยวข้อง.....	26

## สารบัญ (ต่อ)

	หน้า
<b>บทที่ 3 วิธีดำเนินโครงการ.....</b>	<b>27</b>
3.1 อุปกรณ์การทดลอง.....	27
3.2 ขั้นตอนการทดลอง.....	31
3.3 ขั้นตอนและการตรวจสอบโครงสร้างทางชุลภาคของชิ้นงาน.....	32
<b>บทที่ 4 ผลการทดลองและการวิเคราะห์.....</b>	<b>33</b>
4.1 สภาพโครงสร้างทางชุลภาคของใบพัดกังหันก๊าซ ที่ทำการทดสอบเป็นร้อลลอดบะเพรเกนิกเกิลเกรด GTD – III หลังการใช้งาน.....	33
4.2 วิเคราะห์ผลจากโครงสร้างชุลภาคของชิ้นงานหลังผ่านการทำลายที่อุณหภูมิ 1175 °C เป็นเวลา 4 ชั่วโมงและผ่านการบ่มเย็นที่อุณหภูมิ 845 °C ทั้ง 7 朔าว.....	37
4.3 วิเคราะห์ผลจากโครงสร้างชุลภาคของชิ้นงานหลังผ่านการทำลายที่อุณหภูมิ 1185 °C เป็นเวลา 4 ชั่วโมงและผ่านการบ่มเย็นที่อุณหภูมิ 845 °C ทั้ง 7 朔าว.....	42
4.4 วิเคราะห์ผลจากโครงสร้างชุลภาคของชิ้นงานหลังผ่านการทำลายที่อุณหภูมิ 1195 °C เป็นเวลา 4 ชั่วโมงและผ่านการบ่มเย็นที่อุณหภูมิ 845 °C ทั้ง 7 朔าว.....	47
4.5 วิเคราะห์ผลจากโครงสร้างชุลภาคของชิ้นงานหลังผ่านการทำลายที่อุณหภูมิ 1205 °C เป็นเวลา 4 ชั่วโมงและผ่านการบ่มเย็นที่อุณหภูมิ 845 °C ทั้ง 7 朔าว.....	52
4.6 วิเคราะห์ผลจากความสัมพันธ์ระหว่างพื้นที่เฉลี่ยของชิ้นงานหลังผ่าน <sup>การนวัตกรรม</sup> .....	57
4.7 วิเคราะห์ผลจากความสัมพันธ์ระหว่างสัดส่วนเชิงพื้นที่ของชิ้นงานหลังผ่าน <sup>การนวัตกรรม</sup> .....	59

## สารบัญ (ต่อ)

หน้า

4.8 วิเคราะห์ผลจากความสัมพันธ์ระหว่างค่าความแข็งของชิ้นงานหลังผ่าน กรรมวิธีทางความร้อน.....	61
<b>บทที่ 5 บทสรุปและข้อเสนอแนะ.....</b>	<b>62</b>
5.1 สรุปผลการทดลอง.....	62
5.2 ข้อเสนอแนะ.....	63
<b>เอกสารอ้างอิง.....</b>	<b>64</b>
<b>ภาคผนวก ก.....</b>	<b>65</b>
<b>ภาคผนวก ข.....</b>	<b>70</b>
<b>ภาคผนวก ค.....</b>	<b>75</b>
<b>ภาคผนวก ง.....</b>	<b>80</b>
<b>ภาคผนวก จ.....</b>	<b>85</b>
<b>ภาคผนวก ฉ.....</b>	<b>88</b>
<b>ประวัติผู้ดำเนินงาน.....</b>	<b>90</b>

สารบัญตาราง

ตารางที่	หน้า
1.1 คำแนะนำวิจัยประจำปีการศึกษา 2551.....	4
1.1 คำแนะนำวิจัยประจำปีการศึกษา 2552.....	4
2.1 แสดงส่วนผู้สมทางเคมีของชุปเปอร์อัลลอยประเภทนิกเกิลเกรด GTD – 111.....	12
3.1 รายละเอียดเงื่อนไขกรณีที่ทางความร้อนทั้ง 32 สถานะ.....	28
4.1 แสดงรูปโครงสร้างจุลภาคของชิ้นงานหลังผ่านการทำลายที่อุณหภูมิ 1175 °C เป็นเวลา 4 ชั่วโมงและผ่านการบ่มเย็นที่อุณหภูมิ 845 °C ทั้ง 7 สถานะ.....	36
4.2 แสดงรูปโครงสร้างจุลภาคของชิ้นงานหลังผ่านการทำลายที่อุณหภูมิ 1185 °C เป็นเวลา 4 ชั่วโมงและผ่านการบ่มเย็นที่อุณหภูมิ 845 °C ทั้ง 7 สถานะ.....	41
4.3 แสดงรูปโครงสร้างจุลภาคของชิ้นงานหลังผ่านการทำลายที่อุณหภูมิ 1195 °C เป็นเวลา 4 ชั่วโมงและผ่านการบ่มเย็นที่อุณหภูมิ 845 °C ทั้ง 7 สถานะ.....	46
4.4 แสดงรูปโครงสร้างจุลภาคของชิ้นงานหลังผ่านการทำลายที่อุณหภูมิ 1205 °C เป็นเวลา 4 ชั่วโมงและผ่านการบ่มเย็นที่อุณหภูมิ 845 °C ทั้ง 7 สถานะ.....	51
4.5 แสดงพื้นที่เปลี่ยนของอนุภาคแคนนาไพร์นของชิ้นงานหลังผ่านกรณีที่ทางความร้อน.....	56
4.6 แสดงสัดส่วนเชิงพื้นที่ของอนุภาคแคนนาไพร์นของชิ้นงานหลังผ่าน กรณีที่ทางความร้อน.....	58
4.7 แสดงค่าความแข็งของชิ้นงานหลังผ่านกรณีที่ทางความร้อน.....	60

## สารบัญรูป

รูปที่	หน้า
2.1 แสดงความสามารถและอาชญาในการใช้งานของโลหะผสมต่างๆที่อุณหภูมิสูง.....	6
2.2 แสดงส่วนประกอบของชุบเปอร์อัลลอยชนิดต่าง ๆ ในเครื่องจักรกังหันก๊าซ.....	7
2.3 โครงสร้างจุลภาคและสมบัติของนิกเกิลชุบเปอร์อัลลอย.....	9
2.4 ลักษณะการเกิดการผุกร่อนที่อุณหภูมิสูง (Hot Corrosion).....	11
2.5 ภาพแสดงความสามารถในการแยกแยะเชิงระดับ (Spatial Resolution) ของ SEM.....	21
2.6 ภาพแสดงหลักการทำงานของ SEM.....	22
2.7 ปืนอิเล็กตรอนชนิดต่างๆ.....	23
2.8 สัญญาณต่างๆที่เกิดขึ้นระหว่างอันตราริบາของอิเล็กตรอนกับสาร.....	24
2.9 ภาพจากสัญญาณอิเล็กตรอนทุกด้าน แสดง โครงสร้างจุลภาคของโลหะผสม นิกเกิล – อะลูминีียม – โนลิบคีนัม – ชิลิคอน.....	24
2.10 ภาพจากสัญญาณอิเล็กตรอนอิเล็กตรอนกระเจิงลับแสดง โครงสร้างจุลภาค ของโลหะผสมนิกเกิล – อะลูминีียม – โนลิบคีนัม – ชิลิคอนบริเวณเดียวกับรูปที่ 2.9.....	25
2.11 สถาปัตยกรรมของเทคนิค EDS และองค์ประกอบทางเคมีของเหล็กกล้า ชั้นประดับด้วย Fe และ C.....	25
3.1 กล้องจุลทรรศน์แบบแสง (Optical Microscope).....	29
3.2 กล้องจุลทรรศน์อิเล็กตรอนแบบส่องสว่าง (Scanning Electron Microscope : SEM).....	29
3.3 เตาอบชิ้นงาน Reheat Treatment.....	30
3.4 เครื่องคัด.....	30
3.5 เครื่องมือขัดผิวชิ้นงานกระดาษทรายและผ้าสักหลาดสำหรับขัดน้ำพรมหิน.....	31
4.1 ภาพถ่ายโครงสร้างจุลภาคโลหะผสมนิกเกิลเกรด GTD – 111 หลังการใช้งานอุณหภูมิ 900 °C เป็นเวลา 50,000 ชั่วโมงที่กำลังขยาย 10,000 เท่า.....	34

## สารบัญรูป (ต่อ)

รูปที่	หน้า
4.2 แสดงความสัมพันธ์ระหว่างพื้นที่เฉลี่ยของอนุภาคแกมน้ำไฟร์น (Particle size) ในชิ้นงานหลังผ่านการทำละลายที่อุณหภูมิ $1175^{\circ}\text{C}$ เป็นเวลา 4 ชั่วโมงกับเวลาการบ่มเย็นที่อุณหภูมิ $845^{\circ}\text{C}$ ทั้ง 7 สภาวะ.....	38
4.3 แสดงความสัมพันธ์ระหว่างสัดส่วนเชิงพื้นที่ของอนุภาคแกมน้ำไฟร์น (Area fraction) ในชิ้นงานหลังผ่านการทำละลายที่อุณหภูมิ $1175^{\circ}\text{C}$ เป็นเวลา 4 ชั่วโมงกับเวลาการบ่มเย็นที่อุณหภูมิ $845^{\circ}\text{C}$ ทั้ง 7 สภาวะ.....	39
4.4 แสดงความสัมพันธ์ระหว่างค่าความเยื้องของชิ้นงานหลังผ่านการทำละลายที่อุณหภูมิ $1175^{\circ}\text{C}$ เป็นเวลา 4 ชั่วโมงกับเวลาการบ่มเย็นที่อุณหภูมิ $845^{\circ}\text{C}$ ทั้ง 7 สภาวะ.....	40
4.5 แสดงความสัมพันธ์ระหว่างพื้นที่เฉลี่ยของอนุภาคแกมน้ำไฟร์น (Particle size) ในชิ้นงานหลังผ่านการทำละลายที่อุณหภูมิ $1185^{\circ}\text{C}$ เป็นเวลา 4 ชั่วโมงกับเวลาการบ่มเย็นที่อุณหภูมิ $845^{\circ}\text{C}$ ทั้ง 7 สภาวะ.....	43
4.6 แสดงความสัมพันธ์ระหว่างสัดส่วนเชิงพื้นที่ของอนุภาคแกมน้ำไฟร์น (Area fraction) ในชิ้นงานหลังผ่านการทำละลายที่อุณหภูมิ $1185^{\circ}\text{C}$ เป็นเวลา 4 ชั่วโมงกับเวลาการบ่มเย็นที่อุณหภูมิ $845^{\circ}\text{C}$ ทั้ง 7 สภาวะ.....	44
4.7 แสดงความสัมพันธ์ระหว่างค่าความเยื้องของชิ้นงานหลังผ่านการทำละลายที่อุณหภูมิ $1185^{\circ}\text{C}$ เป็นเวลา 4 ชั่วโมงกับเวลาการบ่มเย็นที่อุณหภูมิ $845^{\circ}\text{C}$ ทั้ง 7 สภาวะ.....	45
4.8 แสดงความสัมพันธ์ระหว่างพื้นที่เฉลี่ยของอนุภาคแกมน้ำไฟร์น (Particle size) ในชิ้นงานหลังผ่านการทำละลายที่อุณหภูมิ $1195^{\circ}\text{C}$ เป็นเวลา 4 ชั่วโมงกับเวลาการบ่มเย็นที่อุณหภูมิ $845^{\circ}\text{C}$ ทั้ง 7 สภาวะ.....	48
4.9 แสดงความสัมพันธ์ระหว่างสัดส่วนเชิงพื้นที่ของอนุภาคแกมน้ำไฟร์น (Area fraction) ในชิ้นงานหลังผ่านการทำละลายที่อุณหภูมิ $1195^{\circ}\text{C}$ เป็นเวลา 4 ชั่วโมงกับเวลาการบ่มเย็นที่อุณหภูมิ $845^{\circ}\text{C}$ ทั้ง 7 สภาวะ.....	49
4.10 แสดงความสัมพันธ์ระหว่างค่าความเยื้องของชิ้นงานหลังผ่านการทำละลายที่อุณหภูมิ $1195^{\circ}\text{C}$ เป็นเวลา 4 ชั่วโมงกับเวลาการบ่มเย็นที่อุณหภูมิ $845^{\circ}\text{C}$ ทั้ง 7 สภาวะ.....	50

## สารบัญรูป (ต่อ)

รูปที่	หน้า
4.11 แสดงความสัมพันธ์ระหว่างพื้นที่เฉลี่ยของอนุภาคแกรมนาไฟร์น (Particle size) ในชิ้นงานหลังผ่านการทำลายที่อุณหภูมิ $1205^{\circ}\text{C}$ เป็นเวลา 4 ชั่วโมงกับเวลาการบ่มเย็นที่อุณหภูมิ $845^{\circ}\text{C}$ ทั้ง 7 สกวะ.....	53
4.12 แสดงความสัมพันธ์ระหว่างสัดส่วนเชิงพื้นที่ของอนุภาคแกรมนาไฟร์น (Area fraction) ในชิ้นงานหลังผ่านการทำลายที่อุณหภูมิ $1205^{\circ}\text{C}$ เป็นเวลา 4 ชั่วโมงกับเวลาการบ่มเย็นที่อุณหภูมิ $845^{\circ}\text{C}$ ทั้ง 7 สกวะ.....	54
4.13 แสดงความสัมพันธ์ระหว่างค่าความเยื้องของชิ้นงานหลังผ่านการทำลายที่อุณหภูมิ $1205^{\circ}\text{C}$ เป็นเวลา 4 ชั่วโมงกับเวลาการบ่มเย็นที่อุณหภูมิ $845^{\circ}\text{C}$ ทั้ง 7 สกวะ.....	55
4.14 แสดงความสัมพันธ์ระหว่างพื้นที่เฉลี่ยของอนุภาคแกรมนาไฟร์น (Particle size) ในชิ้นงานหลังผ่านการทำลาย ณ อุณหภูมิต่าง ๆ เป็นเวลา 4 ชั่วโมงกับเวลาการบ่มเย็นที่อุณหภูมิ $845^{\circ}\text{C}$ ทั้ง 7 สกวะ.....	57
4.15 แสดงความสัมพันธ์ระหว่างสัดส่วนเชิงพื้นที่ของอนุภาคแกรมนาไฟร์น (Area fraction) ในชิ้นงานหลังผ่านการทำลาย ณ อุณหภูมิต่าง ๆ เป็นเวลา 4 ชั่วโมงกับเวลาการบ่มเย็นที่อุณหภูมิ $845^{\circ}\text{C}$ ทั้ง 7 สกวะ.....	59
4.16 ความสัมพันธ์ระหว่างค่าความเยื้องของชิ้นงานหลังผ่านการทำลาย ณ อุณหภูมิต่าง ๆ เป็นเวลา 4 ชั่วโมงกับเวลาการบ่มเย็นที่อุณหภูมิ $845^{\circ}\text{C}$ ทั้ง 7 สกวะ.....	61
ก.1 ภาพถ่ายโครงสร้างชุลภาคนอกชิ้นงานโลหะผสมพิเศษเบสนิกเกิลเกรด GTD – 111 หลังผ่านการทำลายที่อุณหภูมิ $1175^{\circ}\text{C}$ เป็นเวลา 4 ชั่วโมง.....	66
ก.2 ภาพถ่ายโครงสร้างชุลภาคนอกชิ้นงานโลหะผสมพิเศษเบสนิกเกิลเกรด GTD – 111 หลังผ่านการทำลายที่อุณหภูมิ $1175^{\circ}\text{C}$ เป็นเวลา 4 ชั่วโมงและผ่านการบ่มเย็นที่อุณหภูมิ $845^{\circ}\text{C}$ เป็นเวลา 25 ชั่วโมง.....	66
ก.3 ภาพถ่ายโครงสร้างชุลภาคนอกชิ้นงานโลหะผสมพิเศษเบสนิกเกิลเกรด GTD – 111 หลังผ่านการทำลายที่อุณหภูมิ $1175^{\circ}\text{C}$ เป็นเวลา 4 ชั่วโมงและผ่านการบ่มเย็นที่อุณหภูมิ $845^{\circ}\text{C}$ เป็นเวลา 50 ชั่วโมง.....	67
ก.4 ภาพถ่ายโครงสร้างชุลภาคนอกชิ้นงานโลหะผสมพิเศษเบสนิกเกิลเกรด GTD – 111 หลังผ่านการทำลายที่อุณหภูมิ $1175^{\circ}\text{C}$ เป็นเวลา 4 ชั่วโมงและผ่านการบ่มเย็นที่อุณหภูมิ $845^{\circ}\text{C}$ เป็นเวลา 75 ชั่วโมง.....	67

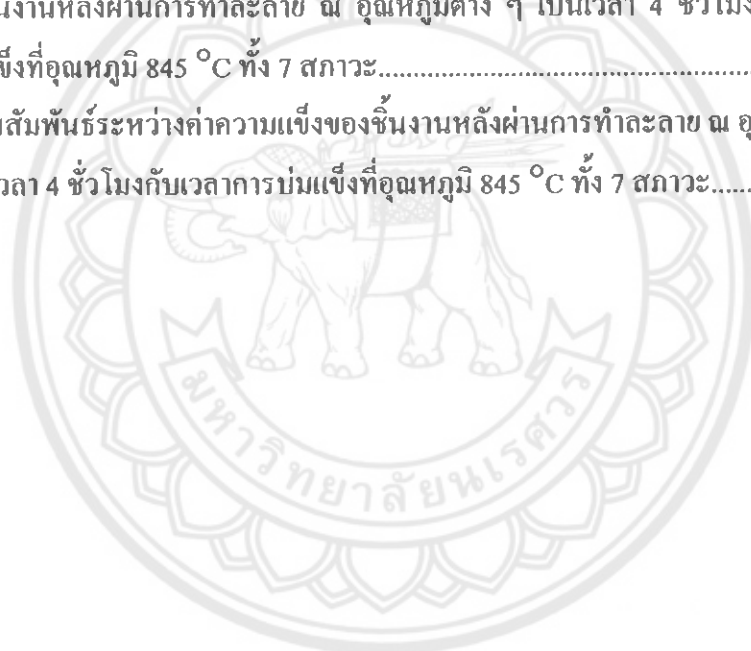
สารบัญรูป (ต่อ)

សារប័ណ្ណរូប (ទៅ)

สารบัญรูป (ต่อ)

## สารบัญรูป (ต่อ)

รูปที่	หน้า
4.8 ภาพถ่ายโครงสร้างชุดภาคของชิ้นงานโลหะผสมพิเศษเบสニกเกลเตอร์ GTD – 111 หลังผ่านการทำละลายที่อุณหภูมิ $1205^{\circ}\text{C}$ เป็นเวลา 4 ชั่วโมงและผ่านการบ่มเย็นที่อุณหภูมิ $845^{\circ}\text{C}$ เป็นเวลา 400 ชั่วโมง.....	84
4.1 แสดงความสัมพันธ์ระหว่างพื้นที่เฉลี่ยของอนุภาคแกมน้ำไพร์น (Particle size) ในชิ้นงานหลังผ่านการทำละลาย ณ อุณหภูมิต่าง ๆ เป็นเวลา 4 ชั่วโมงกับเวลาการบ่มเย็นที่อุณหภูมิ $845^{\circ}\text{C}$ ทั้ง 7 สภาวะ.....	86
4.2 แสดงความสัมพันธ์ระหว่างสัดส่วนเชิงพื้นที่ของอนุภาคแกมน้ำไพร์น (Area fraction) ในชิ้นงานหลังผ่านการทำละลาย ณ อุณหภูมิต่าง ๆ เป็นเวลา 4 ชั่วโมงกับเวลาการบ่มเย็นที่อุณหภูมิ $845^{\circ}\text{C}$ ทั้ง 7 สภาวะ.....	87
4.1 ความสัมพันธ์ระหว่างค่าความเยื้องของชิ้นงานหลังผ่านการทำละลาย ณ อุณหภูมิต่าง ๆ เป็นเวลา 4 ชั่วโมงกับเวลาการบ่มเย็นที่อุณหภูมิ $845^{\circ}\text{C}$ ทั้ง 7 สภาวะ.....	89



## บทที่ 1

### บทนำ

#### 1.1 ความเป็นมาและความสำคัญของโครงการ

เนื่องด้วยกระบวนการผลิตกระเบ้าไฟฟ้าของการไฟฟ้าฝ่ายผลิตแห่งประเทศไทย (กฟผ.) มีการใช้งานกันอย่างแพร่หลายในสมบัติพิเศษหรือชุปเปอร์อัลลอย (Super Alloy) เป็นอันมากเนื่องจากสมบัติพิเศษของชุปเปอร์อัลลอยซึ่งเป็นวัสดุที่มีความสามารถสูง ทนต่อความล้า (Fatigue) และการเกิดคีบ (Creep) ที่อุณหภูมิสูง ได้เป็นอย่างดี ซึ่งชุปเปอร์อัลลอยนี้เป็นวัสดุที่อยู่ในส่วนประกอบของเครื่องยนต์กังหันก๊าซ (Gas Turbine Blade) ที่ใช้ในการผลิตกระแสไฟฟ้า

ในการทำงานของเครื่องยนต์กังหันก๊าซ เพื่อผลิตกระแสไฟฟ้าเป็นเวลาหนึ่นในพัดกังหันก๊าซ ซึ่งทำด้วยโลหะผสมพิเศษที่ผลิตด้วยวิธีการหล่ออันนี้ จะมีการเปลี่ยนแปลงและเสื่อมสภาพทางโครงสร้างจุลภาค เช่นมีการโตเขิน และรวมตัวกันของเฟสที่ตกร่องกันซึ่งให้ความแข็งแรง หรือเฟสแกรมมาไพร์ม (Gamma Prime) รวมถึงเฟสของคาร์ไบด์ที่รวมตัวกันเป็นขนาดใหญ่ขึ้น โดยจะขึ้นอยู่กับอุณหภูมิและระยะเวลาที่สัมผัสถวาร้อนขณะใช้งาน ลักษณะโครงสร้างดังกล่าวจะส่งผลต่อความแข็งแรงที่อุณหภูมิสูง และความต้านทานต่อการคีบ นอกจากนี้การใช้งานไปนาน ๆ ก็มีผลของการคีบเข้ามาเกี่ยวข้องด้วยโดยจะเกิดซ่องว่าง (Creep Void) และรอยแตกขนาดเล็ก (Fine Crack) ตามขอบเกรน โดยปรินาพข้อบกพร่องต่าง ๆ เหล่านี้จะแพร่ผันกันเวลาและอุณหภูมิที่ในพัดกังหันก๊าซถูกใช้งานในการผลิตกระแสไฟฟ้า ซึ่งบริเวณเหล่านี้จะเป็นแหล่งกำเนิดของรอยแตกตามขอบเกรนและส่งผลให้ชิ้นงานเกิดการแตกหัก จากเหตุผลดังกล่าวจึงทำให้อาชญากรรมใช้งานของใบพัดกังหันก๊าซมีจำกัด

เนื่องจากการเสื่อมสภาพของตัวใบพัดกังหันก๊าซจึงจำเป็นต้องมีการสั่งซื้อ และนำเข้าจากต่างประเทศทำให้สินเปลืองค่าใช้จ่ายเป็นจำนวนมาก ดังนั้นจึงมีการคิดวิธีต่าง ๆ เพื่อที่จะให้โครงสร้างทางจุลภาคและสมบัติเชิงกลของโลหะผสมพิเศษแบบชนิดเกล็ด ซึ่งมีโครงสร้างเป็นแบบ Polycrystal ที่ได้จากการหล่อ และผ่านการใช้งานมาแล้ว ให้มีสภาพชิ้นงานใกล้เคียงกับชิ้นงานที่ยังไม่เสื่อมสภาพมากที่สุด เพื่อประยุกต์ใช้จ่ายในการทำงานของเครื่องยนต์กังหันก๊าซ โดยการขัดอาชญากรรมในพัดกังหันก๊าซแทนการซื้อใหม่ซึ่งมีราคาสูงมาก สำหรับชิ้นงานที่เกิดซ่องว่าง (Void) หรือรอยแตกขนาดเล็ก วิธีการโดยทั่วไปส่วนใหญ่นั้นจะใช้วิธีการอัดทุกทิศทางแบบร้อนให้กับใบพัดกังหันก๊าซ เพื่อให้ซ่องว่างและรอยแตกที่เกิดจากการใช้งานมีปริมาณและขนาดเล็กลง ด้วยกลไกของการ Sintering ระหว่างการอัดซึ่งรูปด้วยความดันทุกทิศทางแบบร้อนโดยช่องว่างและรอยแตกเล็ก ๆ เหล่านี้ถูกอัดเขื่อนประสานเกือบเป็นเนื้อเดียวกัน นอกจากนี้กระบวนการอัดด้วยความดันทุกทิศทางแบบร้อนยังช่วยซ่อนคืนสภาพโครงสร้างทางจุลภาคให้มีความสม่ำเสมอเพิ่มขึ้น

ด้วย สำหรับชิ้นงานที่ยังไม่เกิดซ่องว่างหรือรอยแตกเล็ก ๆ จะใช้กรรมวิธีการอบชุบด้วยความร้อน เพื่อช่องคืนสภาพโครงสร้างทางจุลภาคของใบพัดกังหันก้าชที่ผ่านการใช้งานมาแล้ว nokjanin บั้งทำให้เฟสแคนนาไฟร์มขนาดละเอียดกระจายตัวอยู่อย่างสม่ำเสมอในเนื้อโลหะพื้น ส่งผลให้ โครงสร้างทางจุลภาคแบบนี้มีประสิทธิภาพสูงสุด ซึ่งช่วยในการขัดขวางการเคลื่อนที่ของดีสโล - เคลชัน (Dislocation) เมื่อเกิดการแปรรูปแบบคีบ (Creep Deformation) เป็นผลให้ความต้านทานการคีบสูงขึ้น [1]

โครงการนิวัชันนี้จึงได้นำแนวคิดเบื้องต้น โดยการได้นำชุบเปอร์อัลลอยประเทนิกเกลเกรด GTD – 111 มาทำการศึกษาและเปรียบเทียบลักษณะทางโครงสร้างจุลภาคของชิ้นงาน โครงสร้างทางจุลภาคของชิ้นงานใบพัดกังหันก้าชชุบเปอร์อัลลอยประเทนิกเกลเกรด GTD – 111 ของการไฟฟ้าฝ่ายผลิตแห่งประเทศไทยที่ผ่านการใช้งานแล้ว และผ่านการอบชุบด้วยสภาวะต่าง ๆ กัน 4 สภาวะดังนี้ที่อุณหภูมิ 1175, 1185, 1195 และ 1205 °C ให้ผ่านสภาวะอุณหภูมิ 845 °C ระยะเวลาต่าง ๆ กัน ดังนี้ ที่เวลา 25, 50, 75, 100, 200, 300 และ 400 ชั่วโมง ตามลำดับ ทั้งนี้จะมีกระบวนการทดสอบความแข็งของชิ้นงานที่มีการให้ความร้อนและเวลาที่แตกต่างกัน เพื่อที่จะหาปริมาณของเฟสแคนนาไฟร์ม ที่กระจายตัวอยู่ในชิ้นงานและทำการตรวจสอบโครงสร้างจุลภาคเพื่ออธิบายถึงความเปลี่ยนแปลงของเฟสแคนนาไฟร์ม ที่เกิดขึ้นในโครงสร้างจุลภาคและปัจบุณอกถึงสัดส่วนของพื้นที่ของเฟสแคนนาไฟร์ม ที่อยู่ในชิ้นงานใบพัดกังหันก้าช

## 1.2 วัตถุประสงค์ของโครงการ

1.2.1 เพื่อศึกษาการเปลี่ยนแปลงของโครงสร้างจุลภาคและสัดส่วนของเฟสแคนนาไฟร์ม ของชุบเปอร์อัลลอยประเทนิกเกลเกรด GTD – 111 ที่ได้ผ่านการอบชุบด้วยสภาวะต่าง ๆ กัน 4 สภาวะดังนี้ที่อุณหภูมิ 1175, 1185, 1195 และ 1205 °C ให้ผ่านสภาวะอุณหภูมิ 845 °C ระยะเวลาต่าง ๆ กัน ดังนี้ ที่เวลา 25, 50, 75, 100, 200, 300 และ 400 ชั่วโมง ตามลำดับ

1.2.2 เพื่อศึกษาการเปลี่ยนแปลงสมบัติของชิ้นงานทางด้านความแข็งของชุบเปอร์อัลลอยประเทนิกเกลเกรด GTD – 111 ที่ผ่านการให้ความร้อนต่อเนื่องเป็นระยะเวลานาน

1.2.3 เพื่อให้ได้ชุบเปอร์อัลลอยประเทนิกเกลเกรด GTD – 111 ที่นี้โครงสร้างมีความเป็นผลลัพธ์และสัดส่วนเชิงปริมาตรของอนุภาคแคนนาไฟร์ม ใกล้เคียงกับโครงสร้างที่ซึ่งไม่ผ่านการใช้งาน

### 1.3 เกณฑ์ชี้วัดผลงาน (Output)

1.3.1 โครงสร้างทางจุลภาคสัดส่วนของเฟสแแกมนาไพร์นของชูปเปอร์อัลลอยประเภทนิกเกิลเกรด GTD – 111 ที่ได้ผ่านการอบชุบด้วยสภาวะต่าง ๆ กัน 4 สภาวะดังนี้ที่อุณหภูมิ 1175, 1185, 1195 และ 1205 °C ให้ผ่านสภาวะอุณหภูมิ 845 °C ระยะเวลาต่าง ๆ กัน ดังนี้ที่เวลา 25, 50, 75, 100, 300 และ 400 ชั่วโมง ตามลำดับ

1.3.2 สมบัติของชิ้นงานทางด้านความแข็งของชูปเปอร์อัลลอยประเภทนิกเกิลเกรด GTD – 111 ที่ผ่านการให้ความร้อนต่อเนื่องเป็นระยะเวลานาน

### 1.4 เกณฑ์ชี้วัดผลสำเร็จ (Outcome)

สามารถนำข้อมูลที่ได้ทั้งหมดจากการศึกษา นำมายิเคราะห์และเบริชบที่ยนผลที่ได้เพื่อสรุปหา สภาวะที่มีประสิทธิภาพในการใช้งาน ได้สูงสุดรวมถึงกระบวนการต่าง ๆ ที่ได้ไปเป็นข้อมูลพื้นฐาน และประยุกต์ใช้ในการซ่อนคืนสภาพและยืดอายุการใช้งานของใบพัดกังหันก้าชให้กับการไฟฟ้า ฝ่ายผลิตแห่งประเทศไทย

### 1.5 ขอบเขตการทำโครงการ

1.5.1 ศึกษาโครงสร้างทางจุลภาคคำแนะนำการกระจายตัวของเฟสแแกมม่าไพร์น ที่เกิดจากการปรับปรุงคุณภาพของชูปเปอร์อัลลอยประเภทนิกเกิลเกรด GTD – 111 การอบชุบด้วยสภาวะต่าง ๆ กัน 4 สภาวะดังนี้ที่อุณหภูมิ 1175, 1185, 1195 และ 1205 °C ให้ผ่านสภาวะอุณหภูมิ 845 °C ระยะเวลาต่าง ๆ กัน ดังนี้ ที่เวลา 25, 50, 75, 100, 200, 300 และ 400 ชั่วโมง ตามลำดับ โดยกล้องจุลทรรศน์อิเล็กตรอนแบบส่องกล้อง (Scanning Electron Microscope : SEM) และ โปรแกรมวิเคราะห์ภาพ Image – J

1.5.2 ศึกษาผลกระทบของการปรับปรุงคุณภาพของกระบวนการทางความร้อนที่ส่งผลถึงสมบัติของชิ้นงานทางด้านความแข็งของชูปเปอร์อัลลอยประเภทนิกเกิลเกรด GTD – 111 ด้วยเครื่องทดสอบความแข็งระบบ ไนโครวิกเกอร์ (Micro Hardness Vicker)

### 1.6 สถานที่ในการดำเนินการวิจัย

- 1.6.1 สถาบันวิจัยโลหะและวัสดุ จุฬาลงกรณ์มหาวิทยาลัย
- 1.6.2 คณะวิศวกรรมศาสตร์ มหาวิทยาลัยนเรศวร
- 1.6.3 คณะวิทยาศาสตร์ มหาวิทยาลัยนเรศวร
- 1.6.4 คณะวิศวกรรมศาสตร์ จุฬาลงกรณ์มหาวิทยาลัย

## 1.7 ระยะเวลาในการดำเนินงานวิจัย

กรกฎาคม 2551 – มกราคม 2553

## 1.8 ขั้นตอนดำเนินงานวิจัย

**ตารางที่ 1.1 ดำเนินงานวิจัยประจำปีการศึกษา 2551**

ลำดับ	การดำเนินงาน	ก.ค.	ส.ค.	ก.ย.	ต.ค.	พ.ย.	ธ.ค.	ม.ค.
1	ศึกษาผลงานวิจัยที่เกี่ยวข้องและนำเสนอในสื่อต่างๆ							
2	ศึกษาและรวบรวมเนื้อหาเพื่อนำมาข้อมูลมาใช้ในการวิเคราะห์ออกแบบการทดลอง							
3	จัดทำรายงาน IE-PROJECTบทที่ 1-3							
4	ทำการทดลองและจดบันทึกการทดลอง							
5	ศึกษาข้อมูลเพิ่มเติม							

**ตารางที่ 1.2 ดำเนินงานวิจัยประจำปีการศึกษา 2552**

ลำดับ	การดำเนินงาน	พ.ค.	มิ.ย.	ก.ค.	ส.ค.	ก.ย.	ต.ค.	พ.ย.
1	ทำการทดลองและจดบันทึกการทดลอง							
2	ศึกษาข้อมูลเพิ่มเติม							
3	สรุปและวิเคราะห์ผลการทดลอง							
4	ตรวจสอบรายละเอียดงาน							
5	จัดทำรูปเล่ม							

## บทที่ 2

### หลักการและทฤษฎีเบื้องต้น

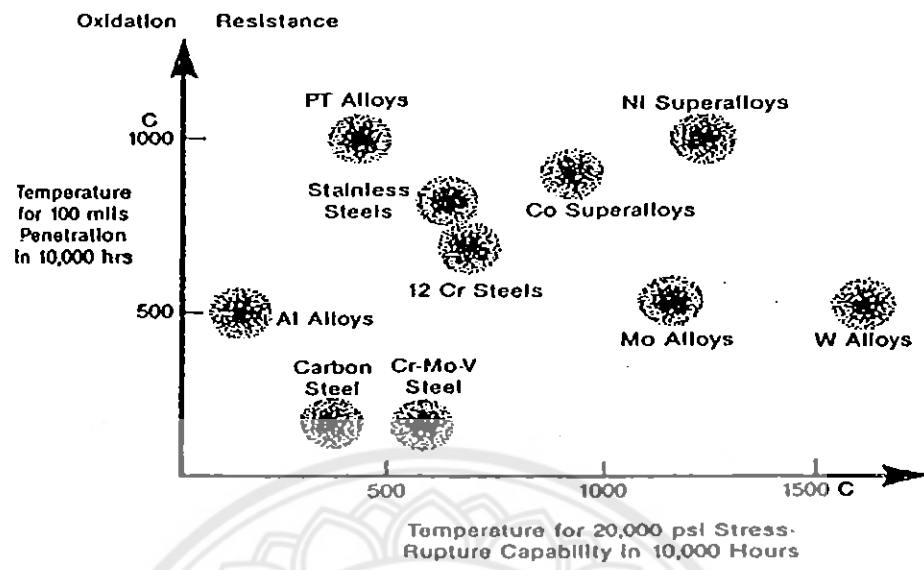
#### 2.1 ความรู้เบื้องต้นเกี่ยวกับชุบปะปอร์อัลลอย (Super Alloy)

##### 2.1.1 พัฒนาการของชุบปะปอร์อัลลอย

ชุบปะปอร์อัลลอยเป็นกลุ่มของโลหะผสมที่มีสมบัติพิเศษ คือ ทนต่อความร้อนและทนต่อการกัดกร่อนได้ดีมาก ในปัจจุบันชุบปะปอร์อัลลอยได้ถูกนำไปใช้งานอย่างกว้างขวางอาทิเช่น ในอุตสาหกรรมเครื่องยนต์ไอร์บราเดอร์ (Aero Engine) เป็นต้น แต่ที่มีการนำชุบปะปอร์อัลลอยไปใช้งานกันมาก ได้แก่ ในงานเครื่องยนต์กังหันก๊าซ (Gas Turbine Engine) เนื่องด้วยเครื่องยนต์กังหันก๊าซมีการใช้งานที่อุณหภูมิสูง จึงต้องการวัสดุที่มีความสามารถในการรับแรงสูง ทนต่อความล้า (Fatigue) และการเกิดการคืน (Creep) ได้ดีอีกทั้งยังต้องการสนับดีในการกัดกร่อนที่อุณหภูมิสูงอีกด้วย

การพัฒนาชุบปะปอร์อัลลอย เริ่มจากโลหะผสมในโกรน (Nickel) ซึ่งมีส่วนผสมเป็นนิลเกล 80 % และโครเมี่ยม 20 % ประมาณปี 1940 ได้มีความพยายามในการพัฒนาโลหะให้สามารถใช้งานเป็นชิ้นส่วนของเครื่องจักรกังหันก๊าซของเครื่องบิน ในระยะแรกประเทศอังกฤษได้มีการทดลองนำเหล็กกล้าสแตนเลส (Stainless steel) มาทำเป็นใบจักรสำหรับเครื่องกังหันก๊าซ และพบว่าไม่สามารถทำได้ เพราะสนับดีไม่ดีพอ จึงได้เริ่มมีการพัฒนาชุบปะปอร์อัลloyชนิดแรก ได้แก่ ในโนนิก 75 (Nimonic 75) ซึ่งได้จากการนำโลหะผสมในโกรนมา ให้หายใจ 0.3 % และคาร์บอน 0.1 % และพบว่ามีสนับดีขึ้น งานนี้ก็มีการพัฒนาเพิ่มเติมอีกมากมาซึ่งส่วนใหญ่เป็นการเพิ่มปริมาณของชาตุต่าง ๆ ซึ่งช่วยเพิ่มความสามารถและอายุการใช้งานของโลหะผสมต่าง ๆ ที่อุณหภูมิสูงดังแสดงในรูปที่ 2.1 จนกระทั่งทำให้เข้าใจถึงกลไกการเพิ่มความแข็งแรงที่อุณหภูมิสูง ทำให้ประเทศอังกฤษมีการพัฒนาชุบปะปอร์อัลลอยก่อตุ้นในโนนิกชนิดต่าง ๆ เพิ่มขึ้นอีกมาก และประสบความสำเร็จอย่างรวดเร็ว [2]

ขณะเดียวกันในสหรัฐอเมริกาได้มีการพัฒนาชุบปะปอร์อัลลอยก่อตุ้นอินโคนেล (Inconel) อย่างรวดเร็ว เช่นกัน ส่วนผสมหลักของอินโคนেลได้แก่ โครเมี่ยม 15 %, เหล็ก 7 % และ นิกเกล 78 % เมื่อเติมอะลูมิเนียม ในโอลิฟิน คาร์บอน จะได้อินโคนेलชนิดต่างและชุบปะปอร์อัลลอยอื่น ๆ อีกเป็นจำนวนมาก

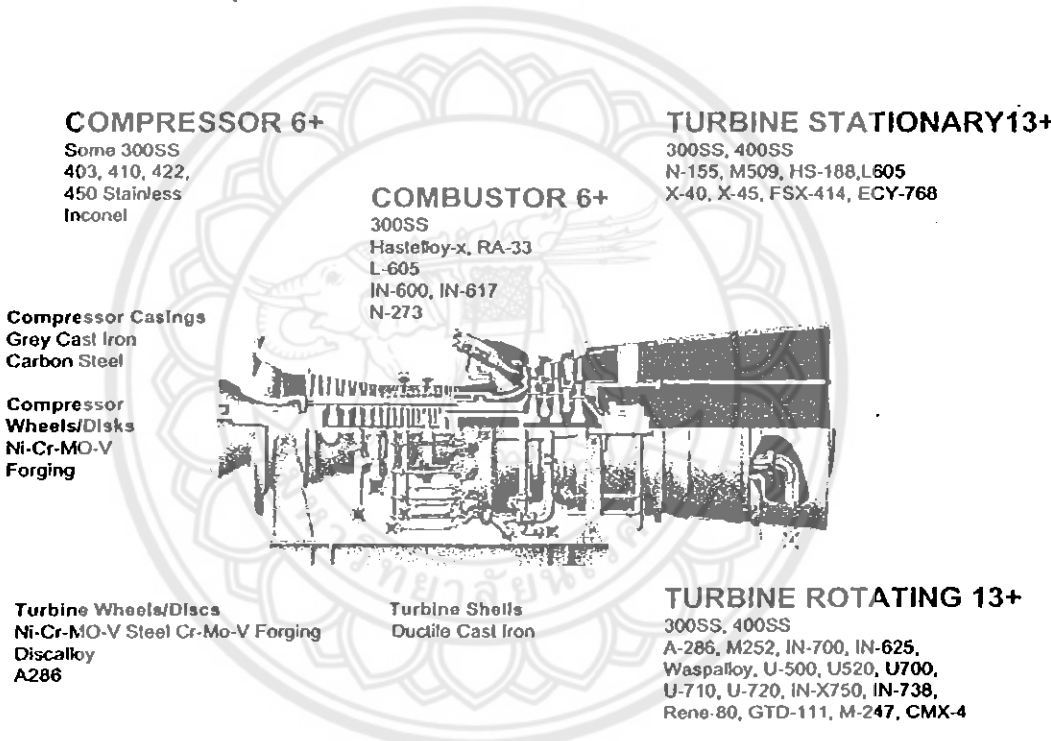


รูปที่ 2.1 แสดงความสามารถและอายุในการใช้งานของโลหะสมต่างๆ ที่อุณหภูมิสูง [3]

การพัฒนาชุบเปอร์อัลลอยในระยะแรก ๆ จะเป็นการปรับเปลี่ยนส่วนผสมทางเคมีแล้วนำมารีดขึ้นรูปเป็นหลัก เมื่อจากชุบเปอร์อัลลอยขึ้นรูปได้ยาก การพัฒนาคังกล่าวจึงไม่ประสบความสำเร็จ ระยะหลังจึงได้เปลี่ยนมาเป็นพัฒนาเทคนิคการหล่อคั่ววิธีต่าง ๆ แทนจากการหล่อธรรมดายield การหล่อในทิศทางเดียว (Directional Solidification) และในที่สุดเป็นการหล่อแบบผลึกเดียว (Single Crystal) จากนั้นจึงมีการพัฒนาโดยกระบวนการควบคุมออกไซด์ในโครงสร้าง (Oxide Dispersion Strengthening) วัตถุประสงค์หลักของการพัฒนาคือต้องการเพิ่มการต้านทานการคีบ (Creep Resistance) ที่อุณหภูมิสูงให้กับโลหะในขณะเดียวกันก็ให้ขึ้นรูปได้ง่ายด้วย การเพิ่มความต้านทานการคีบสามารถทำได้ 2 วิธี คือ การลดปริมาณของกรนและสามารถสร้างเฟสสารประกอบโลหะ (Intermetallic Compound) ซึ่งเรียกว่าแกรมนาไพร์ม (Gamma Prime : γ') ขึ้นในเนื้อโลหะเพื่อกีดขวางการเคลื่อนที่ของดีสโลเกชันภายในกรน [1]

### 2.1.2 ประযุณ์และการใช้งานของชูปเปอร์อัลลอย

ชูปเปอร์อัลลอยส่วนใหญ่จะถูกนำมาใช้ทำเป็นชิ้นส่วนต่าง ๆ ของเครื่องจักรกังหันก๊าซทึ้งสำหรับสำหรับเครื่องบินและสำหรับเครื่องบินและสำหรับการผลิตไฟฟ้าในโรงงานไฟฟ้าพลังความร้อนต่าง ๆ นอกจากนี้ชูปเปอร์อัลลอยยังสามารถใช้กับงานอื่น ๆ ได้อีกมากนัก เช่น งานที่ใช้ในทะเล งานที่เกี่ยวข้องกับอุตสาหกรรมเครื่องจักรไอน้ำ ตรวจ เครื่องมือที่ใช้กับงานปิโตรเคมี เครื่องกำเนิดไอน้ำและงานอื่น ๆ ที่ต้องใช้อุณหภูมิสูง เครื่องจักรกังหันก๊าซสำหรับเครื่องบินซึ่งมีส่วนประกอบสำคัญ คือ Compressor, Burner และ Turbine ดังแสดงในรูปที่ 2.2 การทำงานของเครื่องจักรกังหันก๊าซจะเกิดขึ้นที่อุณหภูมิสูงกว่า  $1000^{\circ}\text{C}$  ชิ้นงานส่วนต่าง ๆ ส่วนใหญ่ในเครื่องยนต์จึงต้องเป็นชูปเปอร์อัลลอยซึ่งสามารถทนได้



รูปที่ 2.2 แสดงส่วนประกอบของชูปเปอร์อัลลอยชนิดต่าง ๆ ในเครื่องจักรกังหันก๊าซ [1]

ชูปเปอร์อัลลอยที่ใช้ทำส่วนประกอบของเครื่องจักรกังหันก๊าซ เช่น Ducts, Cases และ Liners ส่วนใหญ่ต้องทนอุณหภูมิได้ไม่ต่ำกว่า  $540^{\circ}\text{C}$  สำหรับส่วนประกอบหลักคือ Turbine Blade, Vanes, Disks และ Combustion Cans จะต้องทนอุณหภูมิได้สูงกว่านี้ การเลือกวัสดุสำหรับแต่ละส่วนจะต้องพิจารณาอย่างถ้วนเพื่อให้เกิดความเหมาะสมกับการใช้งานมากที่สุด [4]

### 2.1.3 ชนิดของชุบเปอร์อัลลอย [5]

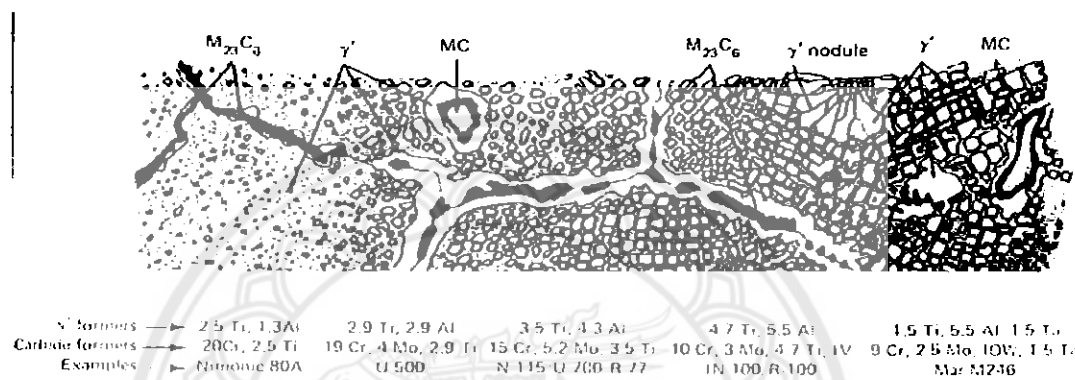
2.1.3.1 กลุ่มนิกเกิลชุบเปอร์อัลลอย นอกจำกัดนิกเกิลซึ่งเป็นส่วนผสมหลักแล้ว ชุบเปอร์อัลลอยกลุ่มนี้ยังมีธาตุผสมอื่น ๆ อีกหลายธาตุ ที่สำคัญ ได้แก่ โครเมียมประมาณ 20 % โดยน้ำหนัก จะช่วยเพิ่มความแข็งแรงเนื่องจากเกิดสารละลายของแข็ง (Solid Solution Strengthening) เมื่อเติม ไทเทเนียม 2.25 %, อะลูминием 1 % โดยน้ำหนัก จะเกิด  $Ni_3(Al, Ti)$  ซึ่งจะช่วยเพิ่มความแข็งแรงที่อุณหภูมิสูง นอกจากนี้ยังมีโนลิบดินัน โคบอลต์ ในไอเดียม เซโคโลเนียม โนรอน เหล็กและธาตุอื่น ๆ ผสมอยู่ด้วยเพื่อปรับปรุงคุณภาพของชุบเปอร์อัลลอย ปัจจุบัน ชุบเปอร์อัลลอยที่มีนิกเกิลเป็นส่วนผสมหลักประมาณ 100 ชนิด ประทิชที่ส่วนใหญ่สำหรับอุตสาหกรรมเครื่องบิน อุตสาหกรรมผลิตเครื่องกังหันก๊าซสำหรับเครื่องบิน ไอพ่น และสำหรับโรงงานไฟฟ้าอุปกรณ์ทางนิวเคลียร์ เครื่องมือในงานอุตสาหกรรมทางปิโตรเคมีและงานอื่น ๆ ชุบเปอร์อัลลอยกลุ่มนี้เป็นกลุ่มที่ใช้งานมากที่สุดในปัจจุบัน

2.1.3.2 กลุ่มนิกเกิลเหล็กชุบเปอร์อัลลอย ชุบเปอร์อัลลอยกลุ่มนี้ส่วนผสมทางเคมีเป็นนิกเกิล 25 – 60 % เหล็ก 15 – 60 % โดยน้ำหนัก เป็นส่วนผสมหลัก ข้อดีของชุบเปอร์อัลloy กลุ่มนี้ คือ มีรากฐานกว่ากลุ่มอื่น เนื่องจากนำเหล็กมาแทนนิกเกิลเป็นส่วน แต่ความสามารถในการใช้งานที่อุณหภูมิสูงไม่ดีเท่ากับกลุ่มชุบเปอร์อัลลอย เช่น A - 286, V - 57 ใช้งานได้เพียง  $650^{\circ}\text{C}$  และ Pyromet 860, Incoloy 901 สามารถใช้งานได้สูงสุด  $815^{\circ}\text{C}$  เพราะปริมาณของนิกเกิลลดลง ความแข็งแรงได้จากการเติมธาตุต่าง ๆ เช่น ไทเทเนียม อะลูминием ในไอเดียม ซึ่งจะทำให้สามารถเพิ่มความแข็งแรงโดยการบันทึ้ง (Precipitation Hardening) โครเมียมช่วยเพิ่มการด้านทานการผุกร่อน โดยเติมประมาณ 15 – 28 % โดยน้ำหนัก ขณะที่เติมโนลิบดินันประมาณ 1 – 6 % โดยน้ำหนัก สามารถเพิ่มความแข็งแรงได้โดยการเกิดสารละลายของแข็ง

2.1.3.3 โครเมียมชุบเปอร์อัลลอย ชุบเปอร์อัลloy กลุ่มนี้ส่วนผสมทางเคมีเป็นโคบอลต์ 50 % และโครเมียม 25 % โดยน้ำหนัก เป็นส่วนผสมหลัก โครงสร้างจุลภาคประกอบด้วยโครงสร้างพื้นเป็น FCC และมีการไบค์ชนิดต่าง ๆ ความแข็งแรงได้จากการละลายของแข็งและไบค์ สมบัติเด่นของชุบเปอร์อัลloy กลุ่มนี้ คือ มีความด้านทานการกัดกร่อนที่อุณหภูมิสูงได้ดีมาก ๆ ชุบเปอร์อัลloy กลุ่มนี้หมายความว่ากับงานประเภท Non - Rotating

### 2.1.4 การพัฒนานิกเกิลชุบเปอร์อัลลอย

พัฒนาการของโครงสร้างจุลภาค โดยทั่วไปและสมบัติทางกลของนิกเกิลชุบเปอร์อัลลอย จะเห็นได้ดังรูปที่ 2.3 ซึ่งแสดงถึงการพัฒนาของนิกเกิลชุบเปอร์อัลลอยในช่วงปี ค.ศ. 1940 – 1970 พนวณความสามารถเพิ่ม Rupture strength จาก 5 ksi ไปเป็น 30 ksi ที่อุณหภูมิ  $870^{\circ}\text{C}$  เวลา 10,000 ชั่วโมง กลไกการเพิ่มความแข็งแรงนี้ได้จากการละลายของแข็ง (Solid Solution Strengthening) การบ่มแข็ง (Precipitation Hardening) และการเพิ่มการกระจายของการไบค์ (Carbide)



รูปที่ 2.3 โครงสร้างจุลภาคและสมบัติของนิกเกิลชุบเปอร์อัลลอย [5]

โครงสร้างจุลภาคที่สำคัญของนิกเกิลชุบเปอร์อัลลอยประกอบด้วย

- เฟสแคนนา (Gamma,  $\gamma$ ) เป็นโครงสร้างพื้นฐาน (Matrix)
- เฟสแคนนาไพร์ม (Gamma Parime,  $\gamma'$ ) เป็น Precipitate
- คาร์บิด (Carbide) มีหลายชนิดส่วนใหญ่เป็น  $\text{M}_{23}\text{C}_6$  และ MC

เฟสแคนนาเป็นโครงสร้างพื้นฐานของชุบเปอร์อัลลอยทุกกลุ่ม กลุ่มนิกเกิลชุบเปอร์อัลลอยสามารถเพิ่มความแข็งแรงได้โดยการเติมธาตุที่ทำให้เกิดสารละลายของแข็ง เช่น โครงเมียน โนลิบดินัม ทังสเตน kobolt เหล็ก ไทเทเนียม อลูминเนียม ธาตุที่เติมเหล่านี้มีขนาดอะตอมแตกต่าง กับนิกเกิลอยู่ระหว่าง 1 - 13 % ซึ่งมีผลต่อการเพิ่มความแข็งแรงเป็นอย่างมาก

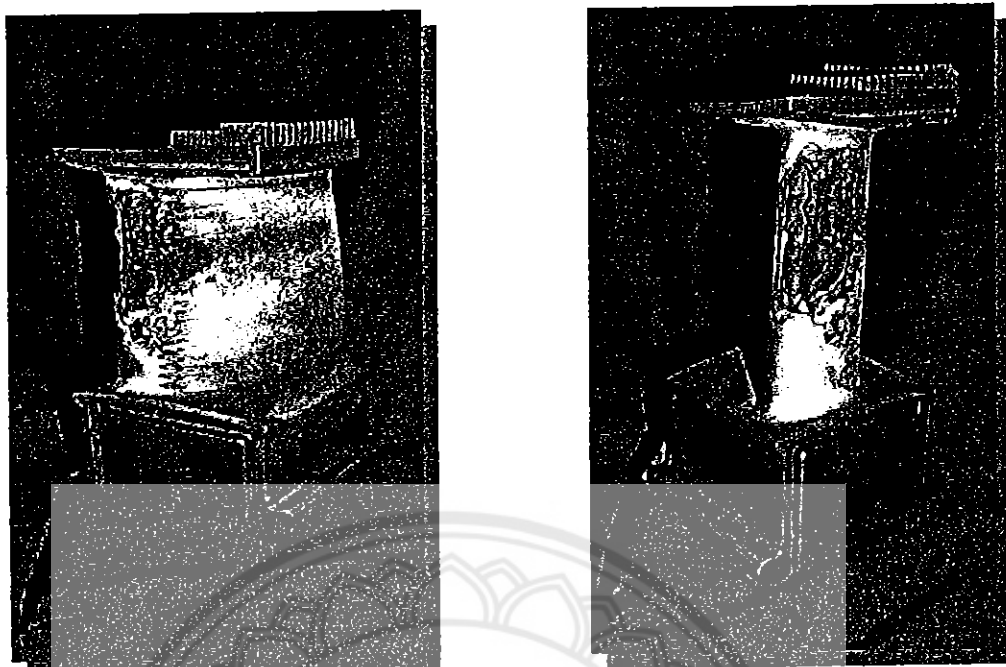
เฟสแคนนาไพร์ม เป็นสารประกอบระหว่างโลหะ มีโครงสร้างผลึกเป็น FCC มีสูตรทางเคมีเป็น A<sub>x</sub>B โดยที่ A ได้แก่ ธาตุอิเล็กโตรเนกาทิฟ (Electronegative Elements) เช่น นิกเกิล kobolt เหล็ก และ B เป็นธาตุอิเล็กโตรโพสติฟ (Electropositive Elements) เช่น อลูминเนียม ไทเทเนียม ในโลเมียน สำหรับนิกเกิลชุบเปอร์อัลลอยเฟสแคนนาไพร์มคือ Ni<sub>3</sub>(Al, Ti) ถ้าเติม kobolt ลงไปจะเกิดเป็น (Ni,Co)<sub>3</sub>(Al, Ti) แคนนาไพร์มได้จากการบ่มแข็ง

การใบค์เป็นเฟสที่มีความแข็งและเประะ การกระจายของการใบค์ตามขอบเกรนจึงเป็นผลต่อความแข็งแรงที่อุณหภูมิสูง ดังนั้นปริมาณและการกระจายของสารใบค์จึงมีความสำคัญมาก ในกลุ่มชุปเปอร์อัลลอย โดยทั่วไปจะมีการบอนประมาณ 0.02 – 0.2 % ซึ่งจะทำให้เกิดการใบค์ทั้งบริเวณขอบเกรนและในเกรน ถ้าไม่มีการใบค์เกาที่ขอบเกรน อาจเกิดการรวมตัวของช่องว่าง (voids) ขณะใช้งานที่อุณหภูมิสูง เป็นเหตุให้เกิดการเลื่อนของขอบเกรนทำให้ความแข็งแรงลดลง ในทางตรงกันข้ามถ้ามีการใบค์ต่อเนื่องตลอดขอบเกรนจะทำให้เกิดการแตกหัก ซึ่งเป็นจากการเคลื่อนของขอบเกรนถูกขัดขวางจนเกิดความเดินสูงเกินไป นำไปสู่การแตกหักก่อนเวลาอันควร ถ้ามีการใบค์เชื่อมกันอย่างไม่ต่อเนื่องตามขอบเกรนจะขัดขวางการแตกที่ขอบเกรนได้ดีการใบค์มีหลายชนิดนี่คือส่วนผสมดังนี้

- MC ชั้ง M ได้แก่ ไทเทเนียม แทนทาลั่น โกลบอลต์ ทังสเตน พนว่าการใบค์ เหล่านี้มีความเสถียรภาพและเกิดในช่วงแรกของการแข็งตัว
- $M_{23}C_6$  ชั้ง M ได้แก่ โครเมี่ยม อาจแทนที่ด้วยเหล็ก ทังสเตน โนลิบดินัม ปริมาณเล็ก  $M_{23}C_6$  มักเกิดระหว่างการทำกรรมวิธีทางความร้อนที่อุณหภูมิต่ำหรือการใช้งานที่ 760 – 980 °C บางกรณีอาจเกิดจากการสลายตัวของ MC ที่ได้ มักเกิดที่ขอบเกรน
- $M_6C$  คล้าย  $M_{23}C_6$  มักเกิดที่อุณหภูมิสูงกว่า คือที่อุณหภูมิ 815 – 980 °C จะเกิดได้เมื่อ มีปริมาณของทังสเตน และโนลิบดินัมมาก เช่น M – 252 และ Rene' 41 มีปริมาณของโนลิบดินัมและทังสเตนมากกว่า 6 – 8 % จะเกิดการใบค์  $M_6C$  รวมกับการใบค์  $M_{23}C_6$  ที่ขอบเกรน Cr<sub>7</sub>C ไม่ค่อยเสถียรนักเปลี่ยนไปเป็น  $M_2C_6$

### 2.1.5 ทนต่อการกัดกร่อนที่อุณหภูมิสูง [5]

2.1.5.1 ความทนทานต่อการกัดกร่อนที่อุณหภูมิสูง (Hot Corrosion) เป็นการกัดกร่อนชนิดหนึ่งดังแสดงให้เห็นในรูปที่ 2.4 พนกรั้งแรกประมาณปี 1950 เกิดขึ้นที่อุณหภูมิ 760 – 1000 °C มักเกิดกับเครื่องจักรกังหันก๊าซ เป็นที่เชื่อกันว่าปรากฏการณ์ดังกล่าวเกิดขึ้นจากโซเดียมซัลไฟต์ (Sodium Sulfate : Na<sub>2</sub>SO<sub>4</sub>) เป็นตัวหลัก สาเหตุการเกิด Na<sub>2</sub>SO<sub>4</sub> อาจเนื่องมาจากการใช้งานสันผัสโดยตรงกับน้ำทะเลหรืออยู่ในสภาพแวดล้อมที่มีเกลือ เกิดจากการเผาไหม้ของน้ำมันเชื้อเพลิงที่มีโซเดียม (Na) และกำมะถัน (S) เกิดจากการเผาไหม้ของเชื้อเพลิงที่มีกำมะถัน (S) กับผุนที่มีโซเดียม (Na) ซึ่งเป็นในอากาศ



รูปที่ 2.4 ลักษณะการเกิดการผุกร่อนที่อุณหภูมิสูง (Hot Corrosion) [3]

การปรับปรุงความด้านทานการผุกร่อนที่อุณหภูมิสูงสามารถทำได้โดยการเติมธาตุต่าง ๆ เข้าไป เช่น การเติมโลหะเม็ดย่างน้อย 15 % ซึ่งจะป้องกันได้ เมื่อจากเกิดโลหะเม็ดออกไซด์คุณพิวจันไว้ในทางปฏิบัติพบว่าการเติมโลหะเม็ดมีข้อจำกัด กล่าวคือถ้าเติมปริมาณมากเกินไป จะทำให้เกิดเฟสซิกมา ( $\delta$  – Phase) ซึ่งจะส่งผลให้โลหะเปราะ และเกิดการแตกหักง่าย ดังนั้น การเติมอย่างมากไม่เกิน 18 – 19 % ของจากนี้แล้วขังมีอะลูมิเนียมและไทเทเนียมที่สามารถช่วยเพิ่มความด้านทานการกัดกร่อนที่อุณหภูมิสูงได้ เมื่อจาก  $\text{Al}_2\text{O}_3$  มีความด้านทานการผุกร่อนที่อุณหภูมิสูงน้อยกว่า  $\text{Cr}_2\text{O}_3$  หมายความว่าอะลูมิเนียมจะเพิ่มความด้านทานการกัดกร่อนที่อุณหภูมิสูงได้ไม่ดีเท่าโลหะเม็ด ในขณะที่ไทเทเนียมหรืออัตราส่วนของไทเทเนียมต่ออะลูมิเนียมในปริมาณสูง จะช่วยแก้ปัญหาดังกล่าวได้ ดังนั้น ถ้าจะให้ผลดี ส่วนผสมของนิกเกิลชูปเปอร์อัลลอยควรมีอัตราส่วนของไทเทเนียมต่ออะลูมิเนียมสูง ๆ ทั้งนี้เมื่อจากจะทำให้เกิดฟิล์มของ  $\text{Ti}_2\text{O}_5$  และ  $\text{Cr}_2\text{O}_3$  กลุ่มพิวจันไว้

2.1.5.2 การนำความร้อน ชูปเปอร์อัลลอยประเทอนิกเกิลที่มีค่าการนำความร้อนสูง จะนำไปใช้ในชิ้นส่วนที่ต้องการกระจายความร้อนที่ดี เช่น ในเครื่องยนต์เทอร์โบในนี้ เป็นต้น ซึ่งจะทำให้ลดความคันเนื่องจากความร้อน (Thermal Stress) ที่ทำให้เกิดความเสียหายจากการล้าเนื่องจากความร้อน (Thermal Fatigue Failure) ได้จึงหมายที่จะผลิตกระแสไฟฟ้า

2.1.5.3 ความเสถียรที่อุณหภูมิสูง โดยการคงไฟสกัดเสถียร (Metastable Phase) ไว้เป็นระยะเวลานานพอ สำหรับการใช้งานที่อุณหภูมิสูง

## 2.2 ความรู้เบื้องต้นเกี่ยวกับชูปเปอร์อัลลอยประภากนิกเกิลเกรด GTD – 111

### 2.2.1 ประวัติของชูปเปอร์อัลลอยประภากนิกเกิลเกรด GTD – 111

ชูปเปอร์อัลลอยประภากนิกเกิลเกรด GTD – 111 เกิดเมื่อคราวปี 1970 โดยบริษัท General Electric โดยได้พัฒนามาจากโลหะผสมพิเศษ Rene 80 และ IN – 738LC และใช้งานในปี 1980 ในงานด้านเครื่องจักรกังหันก๊าซ (Gas Turbine) เช่น ในชิ้นส่วนกังหันก๊าซโดยชูปเปอร์อัลลอยประภากนิกเกิลเกรด GTD – 111 มีธาตุผสม เช่น Mo, Ta, Cr และ Co ซึ่งเป็นตัวที่ป้องกันการสึกกร่อนที่อุณหภูมิสูง [4]

### 2.2.2 สมบัติพิเศษของชูปเปอร์อัลลอยประภากนิกเกิลเกรด GTD – 111

จากการศึกษาของ Sajjadi พบว่าความต้านทานต่อการคีบของ GTD – 111 ที่อุณหภูมิ 20 °C ดีกว่าของ IN – 738LC และเมื่อศึกษาการเกิดอ็อกซิเดชัน และความต้านทานการกัดกร่อนที่อุณหภูมิสูงของ GTD – 111 จะมีสมบัติคล้าย ๆ กับ IN – 738LC เนื่องจากโครงสร้างระหว่าง GTD – 111 และ IN – 738LC คล้ายคลึงกัน และค่า Stress Rupture Strength ของ GTD – 111 มากกว่า IN – 738LC และได้ทดสอบการคีบ (Creep) ที่อุณหภูมิ และความเค้น (Stress) ที่ร้อนสูงหลาย ๆ ครั้ง พบว่าโครงสร้างของ GTD – 111 เหนอะแน่นที่จะใช้ที่อุณหภูมิสูงมากกว่า IN – 738LC และ ส่วนผสมทางเคมีของชูปเปอร์อัลลอยประภากนิกเกิลเกรด GTD – 111 แสดงไว้ดังตารางที่ 2.1

ตารางที่ 2.1 แสดงส่วนผสมทางเคมีของชูปเปอร์อัลloyประภากนิกเกิลเกรด GTD – 111

ธาตุ	Cr	CO	Ti	Al	W	Mo	Ta	C	Fe	B	Ni
%โดย น้ำหนัก	13.5	9.5	4.75	3.3	3.8	1.53	2.7	0.09	0.23	0.01	Bal

### 2.2.3 ส่วนผสมทางเคมีของชูปเปอร์อัลลอยประภากนิกเกิลเกรด GTD – 111 [1]

ดังผลในตารางที่ 2.1 พบว่าชูปเปอร์อัลลอยประภากนิกเกิลเกรด GTD – 111 มีพวกราดที่ทนต่ออุณหภูมิสูง (Refractory Element) เช่น Mo, W, Ta, Cr และ Co ผสมอยู่เพื่อป้องกันการเกิดอ็อกซิเดชันและป้องกันการกัดกร่อนที่อุณหภูมิสูงซึ่งธาตุต่าง ๆ ที่ผสมใน GTD – 111 มีผลต่อสมบัติต่อไปนี้

นิกเกิล เป็นส่วนของโครงสร้างพื้นฐานแบบออตเทน ในที่ซึ่งเป็นโครงสร้างที่ทนความร้อน ช่วยให้เกิดการละลายของธาตุเตินแต่ง โดยไม่เกิดเฟสที่เป็นอันตราย (Detrimental Phase)

โครเมี่ยม	ช่วยเพิ่มความต้านทานการเกิดออกซิเดชัน และกัดกร่อนที่อุณหภูมิสูง โดยที่โครเมี่ยมจะทำให้เกิดฟิล์มป้องกัน (Protective Oxide : $\text{Cr}_2\text{O}_3$ ) ขึ้นนอกจากนั้น โครเมี่ยมยังเป็นธาตุที่ก่อให้เกิด Solid Solution Strengthening ซึ่งจะทำให้โลหะผสมพิเศษมีความแข็งแรงมากขึ้น และ โครเมี่ยมยังทำให้เกิดการรีบีดที่ขوبренเกรนทำให้เกิดความแข็งแรงโดย $\text{M}_2\text{C}_6$ แต่ถ้ามีมากเกินไปจะทำให้ $\gamma'$ Solvus Temperature ต่ำ และอุณหภูมิที่ทนต่อแรงดึงสูงสุดลดลง (Maximum Temperature of Tensile Strength)
โคบอดต์	ช่วยเพิ่ม $\gamma'$ Solvus Temperature และปรับปรุงความสามารถในการใช้งานที่อุณหภูมิสูง
ไทเทเนียม	เพิ่มความต้านทานการกัดกร่อนที่อุณหภูมิสูงและก่อให้เกิด MC คาร์บีดเป็น TiC และ มีแนวโน้มที่จะจับตัวกับในโครงสร้างเป็น TiN ถ้ามีมากเกินไปจะมีผลเช่นเดียวกับอะลูминิเนียม
อะลูминิเนียม	เพิ่มความต้านทานการเกิดออกซิเดชัน เนื่องจากอะลูминิเนียมจะก่อตัวเป็นฟิล์มป้องกัน (Protective Oxida; $\text{Al}_2\text{O}_3$ ) ทำให้เกิด Age Hardening โดยการตกตะกอนของ $\gamma'$ และเกิด FCC Coherent Intermetallic Phase : $\text{Ni}_3(\text{Al}, \text{Ti})$ ทำให้ Rupture Strengthสูงขึ้น หากมีมากเกินไปจะทำให้เกิด Oxide Film และ Segregation ในเนื้อโลหะพื้นหรือที่ขوبренเกรนทำให้การขึ้นรูปทำได้ยาก
ไมลิบดินั่น	ทำให้เกิด Solid Solution Strengthening ที่อุณหภูมิสูงและทำให้เกิดการรีบีดชนิด $\text{M}_6\text{C}$ ที่ขوبренเกรนทำให้ความแข็งแรงของโลหะผสมพิเศษคิชช์นและช่วยเพิ่มความต้านทานการกัดกร่อนที่อุณหภูมิสูง หากมีมากเกินไปจะทำให้เกิด Carbide Precipitation มากเกินไปจะทำให้ความสามารถในการขึ้นรูปลดลง
เหล็ก	ช่วยทำให้โครงสร้างพื้นเป็น FCC Austenitic และช่วยเพิ่มความหนาแน่น
คาร์บอน	เป็นส่วนประกอบของคาร์บีด โดยการก่อตัวของ Cr, Mo, W, V, Nb, Ta และ Ti เป็น MC, $\text{M}_7\text{C}_3$ , $\text{M}_2\text{C}_6$ และ $\text{M}_6\text{C}$
โบรอน	มีแนวโน้มที่จะทำให้เกิดการ Segregation ที่ขوبренเกรนและก่อตัวเป็น硼ไคร์ด สามารถปรับปรุง Rupture Life ได้แม้ว่าความหนาแน่นจะเพิ่มขึ้น

## 2.2.4 สมบัติทางโลหะวิทยาของชุปเปอร์อัลลอยประเกนิกเกิลเกรด GTD – 111 [4]

ชุปเปอร์อัลลอยประเกนิกเกิลเกรด GTD – 111 ประกอบด้วยโครงสร้างที่มีหลายเฟส (Multi – Phase Microstructure) ดังนี้

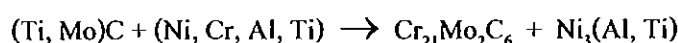
2.2.4.1 โลหะพื้น ( $\gamma$  : Matrix) เป็นโครงสร้างต่อเนื่องในระบบ FCC ของอัลลอยไนท์ซึ่งไม่เหนี่ยวแน่นเหล็ก (Nonmagnetic Phase) และส่วนประกอบส่วนใหญ่เป็นชาตุที่ทำให้เกิด Solid Solution เช่น Co, Fe, Cr, Mo และ W เป็นต้น

2.2.4.2 แคมนาไฟร์น ( $\gamma'$ ) เกิดจากการก่อตัวจากอัลลอยไนท์และไทเทเนียม ทำปฏิกิริยา กับนิกเกิลเกิดการตกตะกอนของเฟส Intermetallic Phase เช่น Ni<sub>3</sub>(Al,Ti) เสื่อมต่อกับ Austenitic  $\gamma$  Matrix และชาตุอื่น ๆ เช่น ในโอบีน แทนทາลัม และโกรเมียม ซึ่งอยู่ใน  $\gamma$  ซึ่ง  $\gamma'$  เป็นเฟสหลักที่สร้างความแข็งแรงที่อุดหนูมีสูง ซึ่งมีทั้งรูปร่างทรงเหลี่ยมและทรงกลม

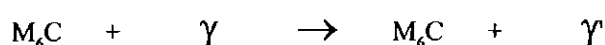
2.2.4.3  $\gamma$  -  $\gamma'$  Eutectic จะเกิดการกระจายตัวบริเวณขอบเครน ไดรต์ (Dendrite Boundaries) ใกล้ Micropores และคงว่า Eutectic เกิดระหว่างขั้นตอนสุดท้ายของการแข็งตัว และขนาด Eutectic ประมาณ 30 - 135 ไมโครเมตร และ % Volume ประมาณ 0.15 – 0.6 % ขึ้นอยู่กับตำแหน่งซึ่งงานบนใบพัด

2.2.4.4 คาร์บไบด์ ชุปเปอร์อัลลอยนิกเกิลเกรด GTD – 111 มีการบ่อนในปริมาณน้อย ในช่วง 0.02 – 0.2 % โดยน้ำหนัก พนว่าการบอนจะรวมกับ Reactive Element เช่น Ti, Ta และ Nb แล้วก่อตัวกันเป็นการไบค์ของโลหะ โดยจะเกิดขณะทำการอบชุบด้วยกระบวนการทางความร้อน (Heat Treatment) และระหว่างการใช้งาน ซึ่งกระบวนการการเกิดของ คาร์บไบด์ที่เกิดในโครงสร้างของชุปเปอร์อัลลอยประเกนิกเกิลเกรด GTD - 111 มีดังนี้

- การไบค์ชนิด  $M_{23}C_6$  สามารถเกิดได้ดังนี้



- การไบค์ชนิด  $M_6C$  สามารถเกิดได้ดังนี้



- การไบค์ชนิด  $M_6C$  และ  $M_{23}C_6$  สามารถก่อตัวย้อนกลับซึ่งกันและกันได้ดังนี้



2.2.4.5 Detrimental Topologically Close - Packed (TCP Phase) เป็นเฟสที่ไม่เป็นที่ต้องการ สามารถก่อตัวได้ระหว่างกระบวนการอบชุบทางความร้อน หรือระหว่างการใช้งานเมื่อส่วนผสมทางเคมีควบคุมไม่ดี เฟสที่เป็นอันตรายเหล่านี้จะมีลักษณะคล้ายแผ่นบางหรือเย็บ เช่น เฟส  $\sigma$  และเฟส Laves ซึ่งอาจจะก่อตัวที่ขอนเกรน ซึ่งจะเกิดที่บางส่วน และบางส่วนจะ เฟสเหล่านี้เป็นสาเหตุทำให้เกิดจุดเริ่มต้นของการเกิดรอยร้าว (Crack Initiation) และขยายตัวต่อไปเรื่อย ๆ เกิดความเสียหายแบบVERAGEที่อุณหภูมิต่ำได้และมีความผลทำให้ Rupture Strength และความหนืดลดลง

### 2.3 กระบวนการทางความร้อนของชุบปืนอัลลอย

กระบวนการทางความร้อนนี้ก็เพื่อตอบสนองความต้องการทางด้านการประดิษฐ์และการซ่อมบำรุง โครงสร้างโดยยุคประสิทธิ์ของการอบชุบเพื่อให้เกิดการตกหลักใหม่ (Recrystallization) หรือการทำให้เป็น โลหะสนิทมีเนื้อสัมภาระ หรือลายทุกเฟสที่อยู่ในโครงสร้างของโลหะพื้นที่เป็น FCC โลหะผสมส่วนใหญ่จะทำให้แข็งแรงโดยการตกตะกอน (Precipitation Hardening) ซึ่งต้องใช้ความร้อนในช่วงเวลาหนึ่ง เพื่อเตรียมสมบัติของวัสดุให้สามารถนำไปใช้ในกระบวนการต่อไปได้ เช่น การปั๊มน้ำส่วนต่าง ๆ เมื่อต้น และในกระบวนการทางเคมี เช่นการเคลือบผิวจะต้องใช้ความร้อนและอุณหภูมิที่สูงพอที่จะทำให้เกิดการเปลี่ยนแปลงทางเคมี การศึกษาปัจจัยที่มีผลต่อการเปลี่ยนแปลง โครงสร้างของโลหะผสมพิเศษจะต้องใช้ความร้อนเข้ามาเกี่ยวข้อง เช่น กระบวนการอบชุบทางความร้อนซึ่งเป็นกระบวนการที่ใช้ปรับปรุงสมบัติของวัสดุให้เหมาะสมกับการใช้งาน โดยการควบคุมระดับความร้อนและเวลาที่ทำการอบชุบรวมถึงการควบคุมอัตราการเข็นตัวภาชนะ จากการอบแล้ว โดยมีวัสดุเพื่อให้เกิดสมบัติต่าง ๆ ที่ดีขึ้นและเหมาะสมต่อการใช้งานดังรายละเอียดต่อไปนี้ [1]

- เพื่อลดความเสื่อม (Reduce Stresses)
- เพื่อปลดปล่อยอะตอมให้เคลื่อนที่ เพื่อให้เกิดการกระจายตัวอีกครั้งของธาตุเดิมแต่ง (Alloying Elements) ที่มีอยู่
- เพื่อให้เกิดการโตของเกรน (Grain Growth)
- เพื่อให้เกิดการก่อตัวของเกรนที่เกิดจากการเกิดหลักใหม่ (New Recrystallized Grain Formation)
- ลดลายเฟส
- เพื่อให้เกิดเฟสใหม่ เนื่องจากการตกตะกอนจากการทำ Solid Solution
- เปลี่ยนสมบัติทางเคมีโดยอะตอมอื่นที่เกิดขึ้น
- การพัฒนาความแข็งแรงของชุบปืนอัลลอยอาจทำได้ดังนี้
- Solid Solution Strengthening ( $\gamma$ )

- เพิ่มสัดส่วนทางปริมาตร (Volume Percent) ของเฟสแคนนาไฟร์น
- เพิ่ม Fault Energy ของเฟสแคนนาไฟร์น
- Solid Solution ในเฟสแคนนาไฟร์น
- กรณีที่ใช้งานสูงมากกว่า  $0.6 T_m$  (Melting Temperature) ควรลด เนื่องจากอุณหภูมิที่ใช้งานมี Coherency Strains สูงซึ่งส่งผลให้ Ripening Rate สูงขึ้น
- กรณีที่ใช้งานที่อุณหภูมินากกว่า  $0.6 T_m$  (Melting Temperature) ควรลด Ripening Rate ให้เกิดการก่อตัวของเฟส  $\gamma$ , Ni<sub>3</sub>Nb, Laves และ  $\sigma$  ให้น้อยที่สุด
- ควบคุมการเกิดการไบค์เพื่อป้องกันการเกิดบริเวณสีกอร์่อน (Denuded Zone) การเกิด  $M_{23}C_6$  Carbide Film และ Widmanstatten  $M_6C$  เพื่อให้เกิดความแข็งแรงต่อแรงดึงที่ดี
- ควบคุมการไบค์ และ  $\gamma$  ที่ขอบเกรนเพื่อให้เกิด Rupture strength ที่ดี
- ควบคุมขนาดของชิ้นส่วน (Component Thickness) เพื่อให้เกิดสัดส่วนของขนาดเกรนที่เหมาะสม

การพัฒนาสำหรับการปรับปรุงชุบเปลอร์อัลลอยที่ผ่านการรีด (Wrought) สามารถทำได้โดย Solution Heat Treatment ที่อุณหภูมิสูงประมาณ  $1040 - 1230^{\circ}\text{C}$  แล้วตามด้วยการบ่มเย็นที่อุณหภูมิต่ำ เพื่อเพิ่มความแข็งแรง สำหรับกระบวนการหล่อชุบเปลอร์อัลลอยในระยะแรก ๆ จะทำการอบชุบด้วยความร้อนอย่างง่าย ๆ โดยการอบที่  $760^{\circ}\text{C}$  เป็นเวลา 12 ชั่วโมง เพื่อสร้างเฟสแคนนาไฟร์น แต่เนื่องจากชุบเปลอร์อัลโลยมีส่วนผสมและมีโครงสร้างที่ซับซ้อน กรรมวิธีทางความร้อนที่จะทำให้ได้โครงสร้างที่ดีก็ยุ่งยาก และซับซ้อน เช่น กันกรรมวิธีทางความร้อนแบบหลายขั้นตอน(multistage Heat Treatment) จะทำให้ได้เฟสแคนนาไฟร์นที่สม่ำเสมอ ซึ่งจะช่วยเพิ่มความแข็งแรงและความเหนียวให้กับโลหะ สำหรับขั้นตอนในการทำการอบชุบด้วยความร้อนของชุบเปลอร์อัลโลยที่ส่วนผสมทางเคมีต่างกันก็จะมีรายละเอียดในการทำที่แตกต่างกันไปด้วยโดยโลหะผสมบางชนิด อาจใช้การทำ Solution Treatment หรือ Annealing ซึ่งทำให้โครงสร้างประกอบด้วยเนื้อโลหะพื้นเฟส  $\gamma$  และคาร์ไบด์ชนิด MC โดยอุณหภูมิที่ใช้ในการทำ Solution Treatment อยู่ในช่วงอุณหภูมิ  $1040 - 1230^{\circ}\text{C}$  กรรมวิธีทางความร้อนในขั้นตอนนี้มีเพื่อเตรียมเนื้อโลหะพื้นสำหรับการตกตะกอนของเฟส  $\gamma$  ในขั้นตอนการบ่มเย็นต่อไป โดยหลังจากการทำ Solution Treatment แล้วจะเป็นขั้นตอนของการบ่มเย็นเพื่อเพิ่มความแข็งแรงของโลหะผสม สำหรับโลหะที่ต้องการความด้านทานการคีบ และความแข็งแรงที่ดี อุณหภูมิสูงจะต้องใช้การบ่มเย็นปฐมภูมิ(Primary Aging) เพื่อให้มีการตกตะกอนของเฟส  $\gamma$  ที่อุณหภูมิ  $840 - 1100^{\circ}\text{C}$  เป็นเวลา 24 ชั่วโมง จากนั้นจึงบ่มเย็นที่อุณหภูมิ(Secondary Aging) ที่อุณหภูมิ  $760^{\circ}\text{C}$  เพื่อให้เกิดการตกตะกอนที่สนบูรรณ์ และสำหรับโลหะผสมที่ต้องการความด้านทานแรงดึงที่อุณหภูมิต่ำลงมาจะใช้

บ่นที่อุณหภูมิ  $760^{\circ}\text{C}$  เท่านั้น เพื่อให้ได้อุณหภูมิที่มีขนาดเล็กและอ่อนโยน และยังสามารถลดการเกิดการใบค์ที่บริเวณข้อต่อได้อีกด้วย โดยไม่จำเป็นต้องบ่มแข็งปูนภูมิ และในบางครั้งกรณีที่ทางความร้อนสำหรับการใบค์ (Carbide Stabilization) ควรจะใช้ช่วง  $1040 - 1230^{\circ}\text{C}$  และการทำก่อนขึ้นตอนการบ่มแข็งเพื่อให้เกิดการใบค์เริ่มต้นที่มีลักษณะตามที่ต้องการโดยเฉพาะพวกการใบค์ที่มีความเดือดิร่าที่อุณหภูมิสูง [3]

### 2.3.1 วิธีการอบชุบด้วยความร้อนสำหรับชุบเปอร์อัลลอยเบ่งเป็น 5 วิธีใหญ่ ๆ ดังนี้ [5] คือ

2.3.1.1 การคายความเค็น (Stress Relieving) วัสดุประஸงค์ของการคายความเค็นของชุบเปอร์อัลลอย เช่นใน Work – Hardened Non – Age – Hardenable Alloy ที่ปราศจากกระบวนการที่ทำให้เกรนตกหลัก (Recrystallized Grain Structure Process) ถือ ช่วยลดความเค็นที่เหลืออยู่ให้ได้มากที่สุด โดยอุณหภูมิการคายความเค็นตามปกติจะต่ำกว่าอุณหภูมิในการอบอ่อน (Annealing) หรือการเกิดผลึกใหม่ (Recrystallization) เช่น อุณหภูมิของการคายความเค็นของนิกเกิลและโลหะผสมนิกเกิลอยู่ที่  $425 - 870^{\circ}\text{C}$  ซึ่งขึ้นอยู่กับองค์ประกอบทางเคมีและระดับของการขึ้นรูปเย็น (Degree of Work Hardening) โดยบางงานหล่อจะทำการคายความเค็นเมื่อโลหะชนิดนั้นไม่ได้ผ่านการทำให้แข็งแรงด้วยการตกตะกอน (Precipitation Hardened) หรือเมื่อโลหะนั้นมีรูปร่างที่ซับซ้อนมากซึ่งอาจเกิดการแตกร้าว (Crack) ระหว่างการเพิ่มความร้อนในช่วงเริ่มต้นขณะใช้งาน และหลังจากที่เชื่อมชิ้นงาน ซึ่งปกติชุบเปอร์อัลลอยประเภทนิกเกิลที่ผ่านการหล่อ จะไม่ทำการคายความเค็น และในการคายความเค็นอาจมีการสร้างสมดุลทางความเค็น โดยใช้ Stress Equalizing ซึ่งเป็นกระบวนการทางความร้อนที่อุณหภูมนิ่วตัว ใช้เพื่อให้เกิดสมดุลทางความเค็น โดยการนำไปแข็งก่อนการใช้งานเพื่อไม่ให้เกิดการตกตะกอน

2.3.1.2 การอบอ่อนแบบสมบูรณ์ (Full Annealing) การอบอ่อนเป็นการออกแบบการอบชุบ ด้วยความร้อนเพื่อให้โครงสร้างผลึกสมบูรณ์เกิดขึ้นในโลหะผสมที่ผ่านการใช้งานมาอย่างหนัก ซึ่งจะทำที่อุณหภูมิประมาณ  $705 - 1205^{\circ}\text{C}$  ซึ่งขึ้นอยู่กับโครงสร้างของโลหะผสมและการขึ้นรูปเย็น Work Hardening โดยการอบอ่อนแบบสมบูรณ์เหมาะสมสำหรับโลหะรีดที่มีผลึกเดียว (Wrought Single Crystal) ซึ่งไม่มีแกมมาไพร์ม โดยเมื่อใช้โลหะผสมพิเศษ การอบอ่อนจะทำแบบสมบูรณ์ (Full Annealing) ซึ่งจะทำให้เกิดผลึกใหม่แบบสมบูรณ์และเกิดความอ่อน (Softness) มากที่สุด ในทางปฏิบัติจะใช้วิธีนี้กับโลหะรีด (Wrought Alloy) ที่ไม่ได้ผ่านการทำการอบชุบแข็งมาเท่านั้น แต่สำหรับโลหะที่ผ่านการอบชุบแข็งมา กระบวนการอบอ่อนจะคล้ายกับการทำ Solution Treating ซึ่งทั้ง 2 วิธีมีวัสดุประஸงค์ที่แตกต่างกันคือ

- Solution Treating ทำเพื่อลดลายเฟสที่สอง (Secondary Phase) สำหรับการตกตะกอนใหม่

- Annealing ใช้เป็นวิธีหลักในการเพิ่มความเหนียว และลดความแข็งเพื่อให้สามารถขึ้นรูปและกลึงໄส ได้ง่ายเพื่อความเด่นหลังจากการเชื่อมและทำให้เกิดโครงสร้างจุลภาคที่เหมาะสมหรือทำให้เกิดโครงสร้างที่ Soften Age – Hardened โดยการทำ Re – Solution ของเฟสที่สองและการทำการอบอ่อนอาจจะทำให้ Homogenize พวคCast – Ingot ด้วย

2.3.1.3 การอบอ่อนในกระบวนการ (In – Process Annealing) โดยขึ้นรูปเย็นหลายชนิด อาจจะต้องใช้ Intermediate (In – Process) Annealing เพื่อปรับปรุงสมบัติ ซึ่งโดยปกติการขึ้นรูปเย็นจะใช้กับโลหะผสมที่ทำ Solution – Treated Condition มากกว่าโลหะที่ทำ Worked Condition หรือ Precipitation Hardened Condition ส่วนโดยขึ้นรูป Kron ซึ่งอยู่ระหว่างการขึ้นรูปร้อนเพื่อที่จะละลายอินก็อท (Ingot) โดยผสมพิเศษจะเริ่มต้นด้วยการเก็บพัลจานภายในไว้สำหรับการให้ความร้อนใหม่ (Reheating) เพื่อให้เกิดกระบวนการเปลี่ยนแปลงรูปร่าง โดยมีวัดดุประสงค์เพื่อให้โลหะมีความสามารถในการขึ้นรูปมากขึ้น โดยอุณหภูมิที่ใช้ในกระบวนการจะค่อยข้างกว้าง ซึ่งอยู่กับโลหะผสมที่ใช้และการปฏิบัติงาน ซึ่งอุณหภูมนั้นมีผลต่อสมบัติของโลหะเนื่องจากมีผลต่อการเปลี่ยนแปลงระดับของการเกิดผลลัพธ์ใหม่ (Degree of Recrystallization) และในการปฏิบัติงานส่วนใหญ่การให้ความร้อน (Heating) หรือการให้ความร้อนใหม่ (Reheating) ในการขึ้นรูป Kron เป็นการทำการอบอ่อนแบบเต็มขั้น (Full Annealing Step) โดยการเกิดผลลัพธ์ใหม่และการละลายเฟสที่สองเป็นส่วนใหญ่และในบางครั้งการให้ความร้อนใหม่ (Reheating) สำหรับการขึ้นรูปร้อนต้องจำกัดอุณหภูมิไม่ให้ไปละลายเฟสที่สองทั้งหมด เพื่อให้เฟสที่ยังเหลืออยู่จะเป็นตัวจำกัดการโคลองเกรนได้ ซึ่งขั้นตอนการขึ้นรูปจะทำในกระบวนการ In – Process Annealing นี้ เพราะว่าเป็นกระบวนการที่ให้ความแข็งแรงค่า และช่วยเพิ่มความเหนียวของวัสดุคัวบ ซึ่งผลของความแข็งแรงและความเหนียวในกระบวนการขึ้นรูปเย็น มีผลต่อคุณสมบัติทางกลซึ่งมีอิทธิพลต่อการโคลองเกรนในกระบวนการค่อนๆ หรือในกระบวนการอบชุบด้วยความร้อนหรือกระบวนการบ่มแข็ง (Aging) และในชุปเปอร์อัลลอยที่ใช้ในกระบวนการแบบใช้ความร้อนเท่ากันทุกทิศทาง (Isothermal Process) จะไม่ใช้ In – Process Annealing

2.3.1.4 กระบวนการการละลาย (Solution Treating) การทำ Solution Treating ทำเพื่อละลายเฟสที่สองเพื่อให้เกิดการต้านทานการกัดกร่อนที่สูงที่สุด หรือเพื่อเตรียมโดยสำหรับการบ่มแข็ง (Aging) ซึ่งวัสดุจะต้องมีโครงสร้างที่สม่ำเสมอ ก่อนที่จะทำการบ่มแข็ง และทำการตกผลึกอย่างสมบูรณ์ (Fully Recrystallize) ของโครงสร้างจากการขึ้นรูปเย็น (Wrought Structure) เพื่อให้เกิดความเหนียวมากที่สุด การทำ Solution Treating ในระดับการผลิตอาจจะไม่สามารถละลายเฟสที่สองทั้งหมด ได้อย่างเต็มที่ในโลหะที่แข็งแรงโดยการตกตะกอน

2.3.1.5 การบ่มแข็ง (Aging) เป็นกระบวนการที่ทำให้เกิดความแข็งแรง โดยการตกตะกอน (Strengthening Precipitates) และควบคุมเฟสที่สองอีก ๑ ซึ่งรวมถึงการไบค์ และเฟสที่

2.3.1.5 การบ่มแข็ง (Aging) เป็นกระบวนการที่ทำให้เกิดความแข็งแรง โดยการตัดตะกอน (Strengthening Precipitates) และความคุณภาพที่สองอื่น ๆ ซึ่งรวมถึงการรีบีด และเฟสที่เป็นอันตราย (Detrimental Topologically Close – Phase) ด้วยซึ่งการทำ Precipitation Treatment ความสามารถความเด่นได้

### 2.3.2 ขั้นตอนการอบชุบด้วยความร้อนสำหรับชุปเปอร์อัลลอย [1]

2.3.2.1 การทำ Heat Treating ในขั้นตอนแรกในการทำการอบชุบด้วยความร้อนสำหรับโลหะผสมที่แข็งโดยการตัดตะกอน (Precipitation – Hardened Superalloys) ตามปกติจะใช้วิธีละลาย (Solution Treatment) และในบางโลหะผสมที่ขึ้นรูปจากการรีด (Wrought Alloys) อุณหภูมิในการละลาย (Solution Treating Temperature) จะขึ้นอยู่กับสมบัติที่ต้องการ โดยอุณหภูมิที่สูงกว่าจะใช้ในการปรับความต้านทานต่อการเกิดความเสียหายจากการถีบ (Creep) ให้เหมาะสม และอุณหภูมิที่ต่ำกว่าจะใช้ในการปรับความต้านทานแรงดึงในช่วงเวลาสั้น ๆ ขณะใช้งานที่อุณหภูมิสูงที่เหมาะสม ปรับความต้านทานต่อการเกิดการถ้า (Fatigue Resistance) โดยใช้กรนที่ละเอียด หรือปรับความต้านทานต่อการเกิดความเสียหายจากการขบก (Resistance to Notch Rupture Sensitivity) อุณหภูมิในการละลายที่สูงกว่าจะทำให้บางเกรนเกิดการโตในโลหะที่ขึ้นรูปโดยการรีด และเกิดการละลายของการรีบีดที่มากขึ้น

2.3.2.2 การบ่มแข็ง (Aging Process) ในกระบวนการบ่มแข็งจะทำให้โลหะแข็งแรงโดยการตัดตะกอนของเฟสหนึ่งหรือหลายเฟส คือ เฟส  $\gamma$  และ  $\gamma'$  จากโครงสร้างเนื้อพื้นที่อ่อนตัวซึ่งขาด (Supersaturated Matrix) ซึ่งถูกพัฒนาด้วยการทำละลาย (Solution Treating) และลงเหลืออยู่โดยการเย็นตัวอย่างรวดเร็วจากอุณหภูมิการละลาย (Solution Treating Temperature) กระบวนการบ่มแข็งไม่แปรเปลี่ยนที่อุณหภูมิคงที่ ซึ่งอาจจะอยู่ในช่วงอุณหภูมิตั่ว  $621^{\circ}\text{C}$  ถึง  $1038^{\circ}\text{C}$  โดยอุณหภูมิในการบ่มแข็งมีอิทธิพลต่อการกระจายขนาด (Size Distribution) ชนิดของสารที่ตัดตะกอน และอุณหภูมิในการตัดตะกอนไม่ได้หากชนิดของสารที่ตัดตะกอนเพียงอย่างเดียว แต่ขึ้น仗จากผลกระทบของการกระจายของขนาดสารที่ตัดตะกอนด้วย (Size Distribution of Precipitate) สำหรับโลหะผสมที่ขึ้นรูปจากการรีด โดยทั่วไปจะทำ Multiple Precipitation Treatment ซึ่งต่างจากโลหะหล่อ (Cast Alloys) การเลือกใช้ Single Aging Temperature อาจทำให้ได้ปริมาณที่เหมาะสมของเฟสที่ตัดตะกอนซึ่งหลาย และอาจจะมีมากกว่าหนึ่งเฟสที่ตัดตะกอนจากโครงสร้างพื้น ในขณะที่การเลือกใช้ Double – Aging Treatment จะทำให้เกิดขนาดและชนิดของเฟสที่ตัดตะกอนที่อุณหภูมิต่าง ๆ โดยเหตุผลหลักในการทำการ Two – Step – Aging นอกจากการควบคุมเฟส  $\gamma$  และ  $\gamma'$  ที่ต้องการให้เกิดการตัดตะกอนแล้ว ยังต้องการควบคุมลักษณะของการรีบีดที่ขอบเกรนอีกด้วย ซึ่งอาจจะใช้ Double Aging หรือบ่ม 4 ขั้น (Quadruple – Aging Treatments) ที่ได้โดยการทำ Aging Treatments ตามปกติจะใช้น้อยล้ำดับอย่างต่อเนื่อง (Sequentially Lower) เช่น ใช้กับโลหะ Wrought – Nickel Base Superalloys เฟสที่ตัดตะกอนที่ทำให้เกิดความแข็งในขั้นแรก

Phases เช่น σ ภายใต้สภาวะที่ไม่พึงประสงค์ (Unfavorable Condition) จะสามารถเกิดได้ระหว่างการทำ Aging

ปัจจัยที่มีอิทธิพลต่อการเลือกจำนวนขั้นตอนการบ่มเย็น (Number of Aging Steps) เวลา และ อุณหภูมิในการตกตะกอน (Precipitation Time and Temperature) มีดังนี้

- ชนิดของเฟสที่ต้องการ
- อุณหภูมิที่ใช้ในการทำนาข (Anticipation Service Temperature)
- ขนาดของเฟสที่ต้องการ
- ความแข็งแรงและความหนาแน่นที่ต้องการ
- กระบวนการทางความร้อนของโลหะที่คล้าย ๆ กัน

2.3.2.3 การจุ่นชุบ (Quenching) มีวัตถุประสงค์เพื่อให้โลหะสมบัติคงสภาพสารละลายของแข็งที่อ่อนตัวยึงยาก (Supersaturated Solid Solution) ที่ได้ระหว่างการทำละลาย (Solution Treating) ของ Precipitation – Hardened Alloys ที่อุณหภูมิห้อง การจุ่นชุบทำให้เกิดอนุภาคแกมน้ำไฮรอนที่ละเอียดสำหรับการบ่มเย็นในภายหลัง วิธีการทำให้เย็นตัวโดยทั่วไปจะใช้การจุ่นลงในน้ำมันหรือน้ำ หรืออาจจะปล่อยให้เย็นตัวในอากาศหรือในสภาวะกําชาดื่ออบตึ่งที่สำคัญการจุ่นชุบเพื่อรักษาธาตุที่ให้ความแข็ง (Hardening Elements) เช่น อะลูминีียม ไทเทเนียม และ ไนโตรเจนในสารละลายนากเท่าที่จะยอมให้มีในการกระจายของเฟส γ' หรือเฟส γ" และเฟส γ ที่เหมาะสมระหว่างการบ่มเย็น (Precipitation Heat Treatment) ซึ่งโลหะที่ทำ Solid Solution และ Carbide – Hardened จะไม่ทำการจุ่นชุบ เพราะผลจากความคื้นภายใน (Internal Stresses) จากการจุ่นชุบจะช่วยลดแรงการเกิด Over – Aging ในบางกรณี

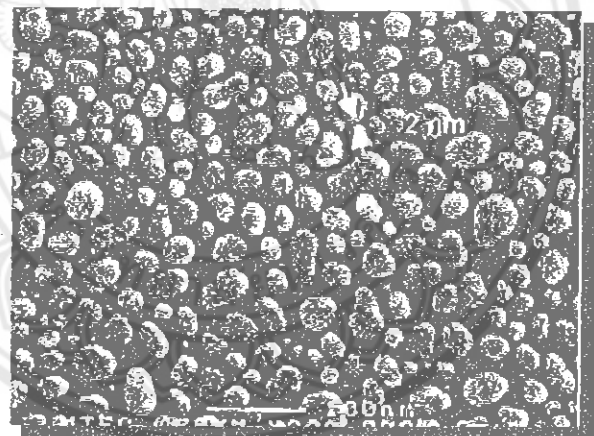
## 2.4 กล้องจุลทรรศน์อิเล็กตรอนแบบส่องสว่าง (Scanning Electron Microscope: SEM)

เทคนิคการศึกษาเดี่ยวเด็ก ๆ หรือเรียกว่า จุลทรรศน์ (Microscopy) ถือเป็นศาสตร์หนึ่งที่มีความสำคัญอย่างยิ่งในวิทยาการหลากหลายสาขา โดยปัจจุบันได้มีอุปกรณ์มากนักที่ใช้ในการขยายภาพ เช่น แวนขยายที่มีกำลังขยาย 10 เท่า กล้องจุลทรรศน์แบบใช้แสง (Optical Microscope) กำลังขยาย 10 – 1,000 เท่า หรือกล้องจุลทรรศน์อิเล็กตรอน (Electron Microscopy) ที่มีกำลังขยาย 10 – 1,000,000 เท่า เทคนิคเฉพาะทางอื่น ๆ ที่ได้รับการพัฒนาขึ้นเพื่อใช้ศึกษาโครงสร้าง และ สมบัติบางประการของสาร [2]

กล้องจุลทรรศน์อิเล็กตรอนแบบส่องสว่าง (Scanning Electron Microscope: SEM) เป็นอุปกรณ์ที่แทนทุกสาขาไม่ว่าจะเป็นวัสดุศาสตร์ ในโครงอิเล็กทรอนิกส์ ชีววิทยา หรือการแพทย์ จำเป็นต้องมีไว้ใช้งาน แม้ว่า SEM จะมีความสามารถขยายภาพต่ำได้เช่นเดียวกับกล้องจุลทรรศน์

กล้องจุลทรรศน์อิเล็กตรอนแบบส่องการวัด (Scanning Electron Microscope: SEM) เป็นอุปกรณ์ที่แทนทุกสาขาไม่ว่าจะเป็นวัสดุศาสตร์ ในครุอิเล็กทรอนิกส์ ชีววิทยา หรือการแพทย์ จำเป็นต้องมีไว้ใช้งาน แนวว่า SEM จะมีความสามารถดูข่ายภาพวัตถุได้ชัดเจนกว่ากล้องจุลทรรศน์แสง (Optical Microscope : OM) แต่หลักการทำงานและรายละเอียดของอุปกรณ์ทั้งสองแตกต่างกันอย่างมาก

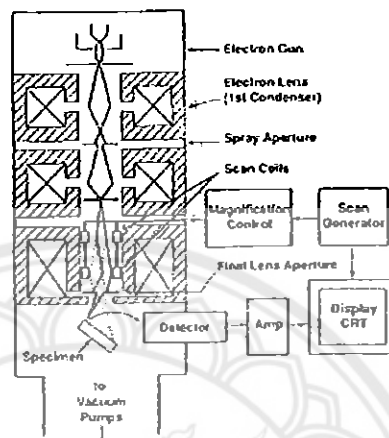
จุดเด่นของ SEM คือ มีความสามารถในการแยกแยะเชิงระเบียง (Spatial Resolution) สูงกว่า OM ดังแสดงในภาพที่ 2.5 ทั้งนี้เป็นเพราะอุปกรณ์ทั้งสองใช้แทนเหล็กสำหรับงานที่มีความยาวคลื่นต่างกันโดย OM ใช้คลื่นแสงที่มีความยาวคลื่นอยู่ในช่วง 400 – 700 นาโนเมตร ทำให้ OM ไม่สามารถดูข่ายภาพวัตถุที่มีขนาดเล็กกว่า 0.2 ไมโครเมตรได้ ส่วน SEM จะมีสมบัติของการอิเล็กตรอนซึ่งมีความยาวคลื่นสั้นกว่าแสง ทำให้ SEM นิ่งนาจากการแยกแยะได้นากถึง 0.2 นาโนเมตร และด้วยความสามารถในการบีบอิเล็กตรอนให้เป็นมุมแคบ ๆ ได้ทำให้ได้ภาพที่มีความชัดลึกสูงอกจากนี้ SEM ยังสามารถใช้ร่วมกับเทคนิคอื่น เช่น Energy Dispersive Spectrometry (EDS) และ Wavelength Dispersive Spectrometry (WDS) เพื่อให้ข้อมูลด้านส่วนผสมทางเคมีได้อีกด้วย



รูปที่ 2.5 ภาพแสดงความสามารถในการแยกแยะเชิงระเบียง (Spatial Resolution) ของ SEM [2]

#### 2.4.1 หลักการทำงานของ SEM

ส่วนประกอบและหลักการทำงานโดยสังเขปของ SEM แสดงไว้ดังรูปที่ 2.6 ในส่วนบนสุดเป็นแหล่งกำเนิดอิเล็กตรอน (Electron Source) หรือ ปืนอิเล็กตรอน (Electron Gun) ซึ่งนับได้ว่าเป็นหัวใจของ SEM



รูปที่ 2.6 ภาพแสดงหลักการทำงานของ SEM [4]

อิเล็กตรอนจากแหล่งกำเนิดจะถูกเร่งให้เคลื่อนที่ลงมาตามคอลัมน์ซึ่งภายในมีสภาพเป็นสูญญากาศด้วยความต่างศักย์ 0 - 30 kV โดยทิศทางการเคลื่อนที่จะถูกควบคุมด้วยเลนส์แม่เหล็กไฟฟ้า (Electromagnetic Lens) 2 ชุดหรือนากกว่าและปริมาณของอิเล็กตรอนจะควบคุมโดยช่องเปิด (Aperture) ซึ่งมีขนาดต่าง ๆ กันตามลักษณะการใช้งาน [2]

เลนส์คอนเดนเซอร์อันแรก (First Condenser Lens) อาจนับได้ว่าองค์ประกอบที่มีความสำคัญสูงสุดต่อการควบคุมทัศนศาสตร์ของอิเล็กตรอน (Electron Optics) เนื่องจากเป็นเลนส์ (Objective Lens) ซึ่งเป็นเลนส์อันสุดท้ายนั้นทำหน้าที่โฟกัสลำอิเล็กตรอนไปต่อระบบกันผิวของวัตถุเป้าหมายโดยมีคอยส์กาวาดภาพ (Scan Coil) ทำหน้าที่ควบคุมอิเล็กตรอนบนผิววัตถุในการอนสีเหลี่ยม คล้ายกับการวาดภาพบนจอโทรทัศน์ ปฏิบัติการที่เกิดขึ้นอย่างซับซ้อนในเนื้อสารของวัตถุตัวอย่างจะให้สัญญาณต่าง ๆ ออกรนาฬabay ประเภท ซึ่งแต่ละประเภทจะถูกตรวจจับและนำไปแสดงผลต่อไป

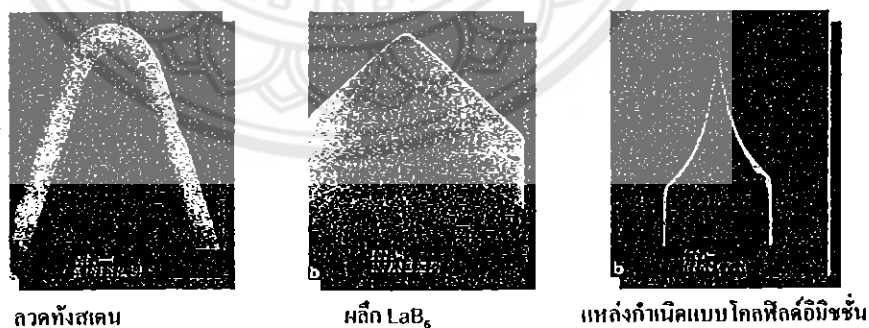
### 2.4.2 แหล่งกำเนิดอิเล็กตรอนใน SEM

แหล่งกำเนิดอิเล็กตรอนหรือปืนอิเล็กตรอนทำหน้าที่เป็นแหล่งกำเนิดอิเล็กตรอน ที่สามารถผลิตกระแสอิเล็กตรอนจำนวนมาก โดยตัววัสดุที่ใช้ทำเป็น ปืนอิเล็กตรอนนี้ต้องมีความเสถียรภาพ และภาพดัดขาวงของลำอิเล็กตรอนที่ส่งออกไปต้องเป็นจุดขนาดเล็ก ในปัจจุบันมีปืนอิเล็กตรอนที่นิยมใช้งานอยู่ 3 ชนิดดังแสดงในรูปที่ 2.7

2.4.2.1 ลวดหั่งสแตน (Tungsten Filament) : ปืนอิเล็กตรอนแบบนี้เป็นที่นิยมมากที่สุด เนื่องจากมีราคาถูก และไม่ต้องการสภาพสูญญากาศที่พิเศษมากนัก ปืนชนิดนี้มีหลักการทำงานคือ จะให้ความร้อนแก่เส้นลวดและใช้ความต่างศักย์ดึงอิเล็กตรอนออกจากบาริเวณปล丫头 ซึ่งปืนกลไกที่เรียกว่าแบบเทอร์มิโอนิกอีมิชั่น (Thermionic Emission) หรือการปลดปล่อยอิเล็กตรอนเนื่องจากความร้อน

2.4.2.2 ผลึก LaB<sub>6</sub> (Lanthanum Hexaboride Crystal) : ปืนอิเล็กตรอนแบบนี้ทำจากหงสแตนใช้หลักการเทอร์มิโอนิกอีมิชั่น เช่น เดิมกับแบบแรก แต่สามารถให้ความสว่าง (Brightness) สูงกว่าลวดหั่งสแตนประมาณ 10 เท่า มีอายุนานา และต้องการสภาพที่เป็นสูญญากาศที่พิเศษมากกว่ามีราคาที่สูงกว่าชนิดแรก

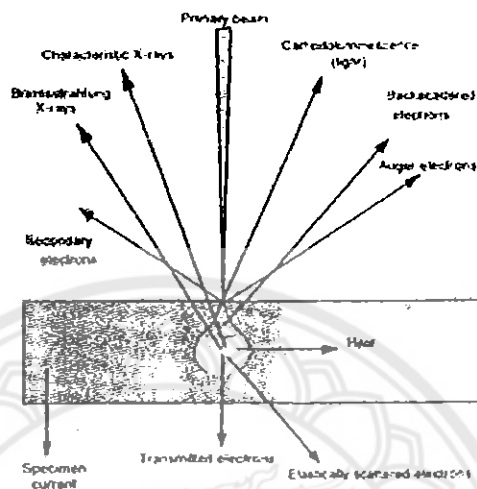
2.4.2.3 แหล่งกำเนิดแบบโคลฟิลด์อีมิชั่น (Cold Field Emission Source) : ปืนอิเล็กตรอนชนิดนี้ทำมาจากการหั่งสแตนอีกชิ้นแต่ไม่ได้ใช้หลักการแบบเทอร์มิโอนิกอีมิชั่นดังเช่น 2 แบบแรก ปืนอิเล็กตรอนแบบนี้ใช้หลักการ การทะลุผ่านกำแพงศักย์แบบควบคุม (Quantum Tunnelling) และสามารถให้ความสว่างสูงมาก



รูปที่ 2.7 ปืนอิเล็กตรอนชนิดต่าง ๆ [3]

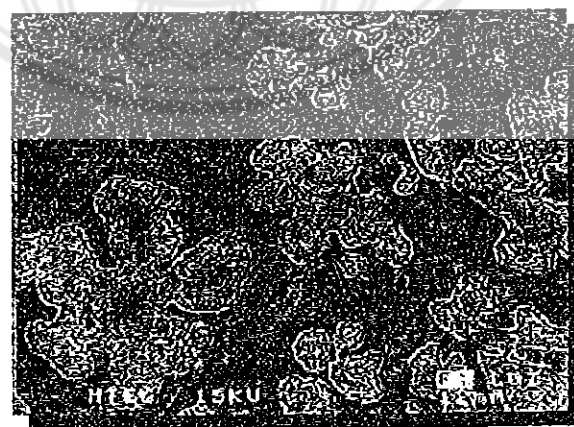
### 2.4.3 สัญญาณแบบต่าง ๆ (Various Types of Signal)

สัญญาณแบบต่าง ๆ ที่เกิดขึ้นระหว่างอันตรกิริยาระหว่างอิเล็กตรอนกับสาร และ อันตรกิริยาอื่น ๆ ที่เกิดขึ้นตามมาแสดงไว้ในรูปที่ 2.8



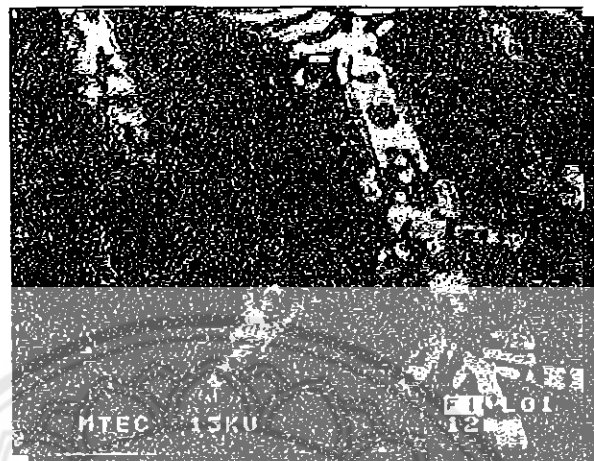
รูปที่ 2.8 สัญญาณต่าง ๆ ที่เกิดขึ้นระหว่างอันตรกิริยาของอิเล็กตรอนกับสาร [3]

อิเล็กตรอนทุติกูน尼 (Secondary Electrons : SE) เป็นสัญญาณที่ให้ข้อมูลลักษณะพื้นผิว และเป็นสัญญาณที่นำมาใช้ในการสร้างภาพดังแสดงรูปด้านล่างใน รูปที่ 2.9 อิเล็กตรอน ทุติกูน尼ยัง มีแบบย่อ ๆ อีกหลายแบบตามกลไกและแหล่งกำเนิด



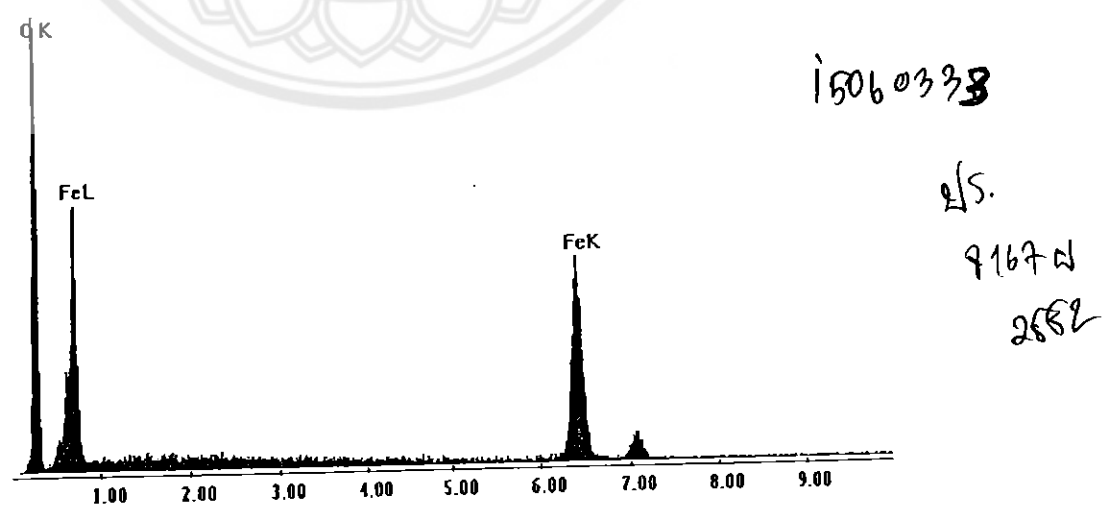
รูปที่ 2.9 ภาพจากสัญญาณอิเล็กตรอนทุติกูน尼 แสดงโครงสร้างจุลภาคของโลหะผสม นิกเกิล – อะลูมิเนียม – โนลินดีนัม - ชิลลิคอน [3]

อิเล็กตรอนกระเจิงกลับ (Back Scattered Electron : BSE) เป็นข้อมูลเกี่ยวกับส่วนผสมทางเคมีและลักษณะความเป็นเนื้อเดียวกันของวัสดุ ดังแสดงรูปตัวอย่างในรูปที่ 2.10



รูปที่ 2.10 ภาพจากสัญญาณอิเล็กตรอนอิเล็กตรอนกระเจิงกลับแสดงโครงสร้างชุลภาคของโลหะผสมนิกเกิล – อะลูминием – โนลินดีนัม – ซิลิคอน บริเวณเดียวกับรูปที่ 2.9 [3]

รังสีเอ็กซ์ (X-Ray) ให้ข้อมูลเกี่ยวกับชนิดของธาตุองค์ประกอบเป็นสัญญาณที่ใช้ในเทคนิค EDS และ WDS ดังแสดงรูปตัวอย่างในรูปที่ 2.11



รูปที่ 2.11 สเปกตรัมของเทคนิค EDS แสดงองค์ประกอบทางเคมีของเหล็กกล้าชึ้งประกอบด้วย Fe และ C [1]

## 2.5 งานวิจัยที่เกี่ยวข้อง

ปาริศร์ ชัยโภน [4] : ผลของกรรมวิธีทางความร้อนต่อการปรับปรุงโครงสร้างทางชุลภาคและความเสถียรที่อุณหภูมิสูงของเฟสแคนนาของโลหะผสมนิกเกิล เกรด GTD – III งานวิจัยนี้มุ่งเน้นไปที่การตรวจสอบและปรับปรุงคุณภาพของชุบเปอร์อัลลอยด์เทคนิคเกิล เกรด GTD – III เพื่อให้ได้โครงสร้างทางชุลภาคที่เหมาะสมที่สุดในการนำไปปรับสภาพใบพัดกังหันก้าชที่เสื่อมคุณภาพของการไฟฟ้าฝ่ายผลิต อันเนื่องมาจากการใช้งานอย่างต่อเนื่องเป็นเวลากว่าได้สภาวะการใช้งานที่อุณหภูมิสูง ซึ่งเป็นผลมาจากการที่อนุภาคแคนนาไพร์มเกิดการรวมตัวเป็นกลุ่มต่อเนื่องกัน ทำให้ความสามารถในการด้านทานความคืบลดลง เป็นสาเหตุที่นำไปสู่การแตกหักและเสียหายของชิ้นงานในภายหลัง ได้ จึงได้มีการทำการอบชุบทามความร้อนเพื่อที่จะคืนสภาพให้กับใบพัดกังหันก้าช โดยได้มีการทำการอบชุบทามความร้อนชิ้นงานตัวอย่างด้วยอุ่น ไฟฟ้าแก๊ส แก๊ส 6 เว็บ ไฟ ภาพหลังจากผ่านการทำการอบชุบทามความร้อนแล้ว ได้นำชิ้นงานตัวอย่างไปผ่านการจำลองสภาวะการใช้งานที่อุณหภูมิ 900 และ  $1000^{\circ}\text{C}$  เพื่อพิจารณาถึงความเสถียรของอนุภาคแคนนาไพร์มเมื่อผ่านการทำความร้อนที่อุณหภูมิสูงเป็นระยะเวลาหนึ่ง โดยได้ทำการตรวจสอบสัดส่วนทางพื้นที่และขนาดของอนุภาคแคนนาไพร์มที่เปลี่ยนแปลงไปทุก ๆ 500 ชั่วโมง เริ่มตั้งแต่หลังผ่านการทำชุบทามความร้อนจนถึง 2500 ชั่วโมง ซึ่งพบว่าที่การจำลองสภาวะการใช้งานที่อุณหภูมิ  $900^{\circ}\text{C}$  สภาวะการทำลายที่  $1125^{\circ}\text{C} / 2$  ชั่วโมง และตามด้วยการบ่มเย็นทุติยภูมิที่สภาวะ  $845^{\circ}\text{C} / 24$  ชั่วโมง เป็นสภาวะที่เหมาะสมแก่การนำไฟฟ้าไปใช้งานมากที่สุด และที่การจำลองสภาวะการใช้งานที่อุณหภูมิ  $1000^{\circ}\text{C}$  สภาวะการทำลายที่  $1175^{\circ}\text{C} / 2$  ชั่วโมง ตามด้วยการบ่มเย็นปูน ภูมิที่สภาวะ  $1055^{\circ}\text{C} / 1$  ชั่วโมง และตามด้วยการบ่มเย็นทุติยภูมิที่สภาวะ  $845^{\circ}\text{C} / 24$  ชั่วโมง เป็นสภาวะที่เหมาะสมมากแก่การใช้งานมากที่สุด

## บทที่ 3

### วิธีดำเนินโครงการ

#### 3.1 ขั้นตอนการทดสอบ

##### 3.1.1 วัสดุ

3.1.1.1 ชิ้นงานตัวอย่างนิกเกลชูปเปอร์อัลลอยเกรด GTD – 111 ที่ผ่านการใช้งานแล้วจาก การไฟฟ้าฝ่ายผลิตแห่งประเทศไทย (กฟผ.) กรรมวิธีทางความร้อนที่มีผลจากชิ้นงานการผ่านการ อบชุบด้วยสภาวะต่าง ๆ กัน 4 สภาวะดังนี้ที่อุณหภูมิ 1175, 1185, 1195 และ  $1205^{\circ}\text{C}$  ให้ผ่าน สภาวะอุณหภูมิ  $845^{\circ}\text{C}$  ระยะเวลาต่าง ๆ กัน ดังนี้ ที่เวลา 25, 50, 75, 100, 200, 300 และ 400 ชั่วโมง ตามลำดับโดยมีเงื่อนไขที่แตกต่างกันดังแสดงในตารางที่ 3.1



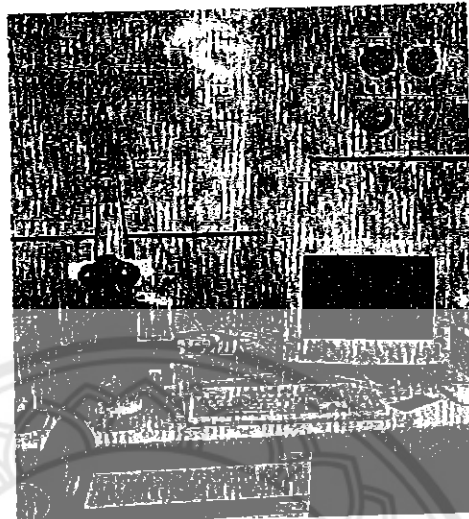
ตารางที่ 3.1 รายละเอียดเงื่อนไขกรรมวิธีทางความร้อนทั้ง 32 สภาวะ

ชั้นงานที่ (No.)	การท่าละลายของแข็ง (Solution treatment)	ระยะเวลาการปั่นแข็งที่ $845^{\circ}\text{C}$ (Aging)
A	$1175^{\circ}\text{C} / 4\text{hr. (AC)}$	-
A1	$1175^{\circ}\text{C} / 4\text{hr. (AC)}$	25hr.(AC)
A2	$1175^{\circ}\text{C} / 4\text{hr. (AC)}$	50hr.(AC)
A3	$1175^{\circ}\text{C} / 4\text{hr. (AC)}$	75hr.(AC)
A4	$1175^{\circ}\text{C} / 4\text{hr. (AC)}$	100hr.(AC)
A5	$1175^{\circ}\text{C} / 4\text{hr. (AC)}$	200hr.(AC)
A6	$1175^{\circ}\text{C} / 4\text{hr. (AC)}$	300hr.(AC)
A7	$1175^{\circ}\text{C} / 4\text{hr. (AC)}$	400hr.(AC)
B	$1185^{\circ}\text{C} / 4\text{hr. (AC)}$	-
B1	$1185^{\circ}\text{C} / 4\text{hr. (AC)}$	25hr.(AC)
B2	$1185^{\circ}\text{C} / 4\text{hr. (AC)}$	50hr.(AC)
B3	$1185^{\circ}\text{C} / 4\text{hr. (AC)}$	75hr.(AC)
B4	$1185^{\circ}\text{C} / 4\text{hr. (AC)}$	100hr.(AC)
B5	$1185^{\circ}\text{C} / 4\text{hr. (AC)}$	200hr.(AC)
B6	$1185^{\circ}\text{C} / 4\text{hr. (AC)}$	300hr.(AC)
B7	$1185^{\circ}\text{C} / 4\text{hr. (AC)}$	400hr.(AC)
C	$1195^{\circ}\text{C} / 4\text{hr. (AC)}$	-
C1	$1195^{\circ}\text{C} / 4\text{hr. (AC)}$	25hr.(AC)
C2	$1195^{\circ}\text{C} / 4\text{hr. (AC)}$	50hr.(AC)
C3	$1195^{\circ}\text{C} / 4\text{hr. (AC)}$	75hr.(AC)
C4	$1195^{\circ}\text{C} / 4\text{hr. (AC)}$	100hr.(AC)
C5	$1195^{\circ}\text{C} / 4\text{hr. (AC)}$	200hr.(AC)
C6	$1195^{\circ}\text{C} / 4\text{hr. (AC)}$	300hr.(AC)
C7	$1195^{\circ}\text{C} / 4\text{hr. (AC)}$	400hr.(AC)
D	$1205^{\circ}\text{C} / 4\text{hr. (AC)}$	-
D1	$1205^{\circ}\text{C} / 4\text{hr. (AC)}$	25hr.(AC)
D2	$1205^{\circ}\text{C} / 4\text{hr. (AC)}$	50hr.(AC)
D3	$1205^{\circ}\text{C} / 4\text{hr. (AC)}$	75hr.(AC)
D4	$1205^{\circ}\text{C} / 4\text{hr. (AC)}$	100hr.(AC)
D5	$1205^{\circ}\text{C} / 4\text{hr. (AC)}$	200hr.(AC)
D6	$1205^{\circ}\text{C} / 4\text{hr. (AC)}$	300hr.(AC)
D7	$1205^{\circ}\text{C} / 4\text{hr. (AC)}$	400hr.(AC)

\*หมายเหตุ AC หมายถึง Air Cooling

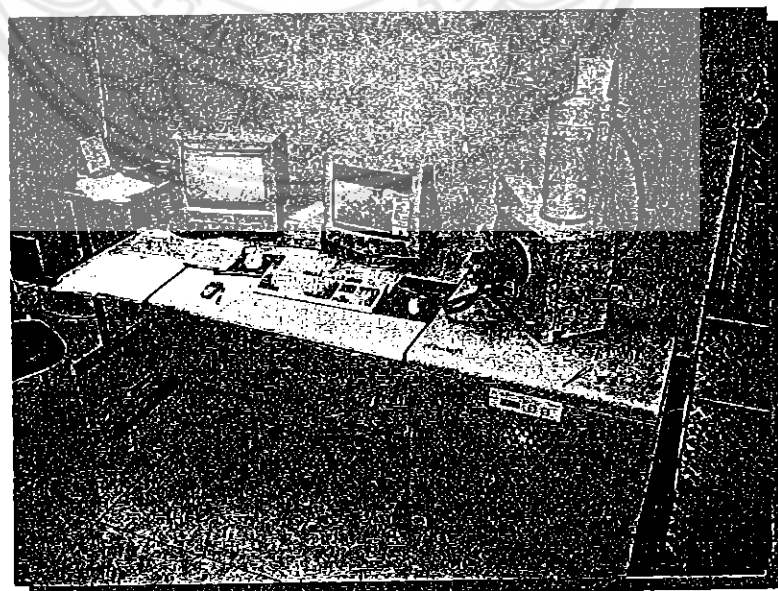
### 3.1.2 เครื่องมือวิเคราะห์

#### 3.1.2.1 กล้องจุลทรรศน์แบบแสง (Optical Microscope) คั้งรูปที่ 3.1



รูปที่ 3.1 กล้องจุลทรรศน์แบบแสง (Optical Microscope) [4]

#### 3.1.2.2 กล้องจุลทรรศน์อิเล็กตรอนแบบส่องความ (Scanning Electron Microscope: SEM) คั้งรูป 3.2

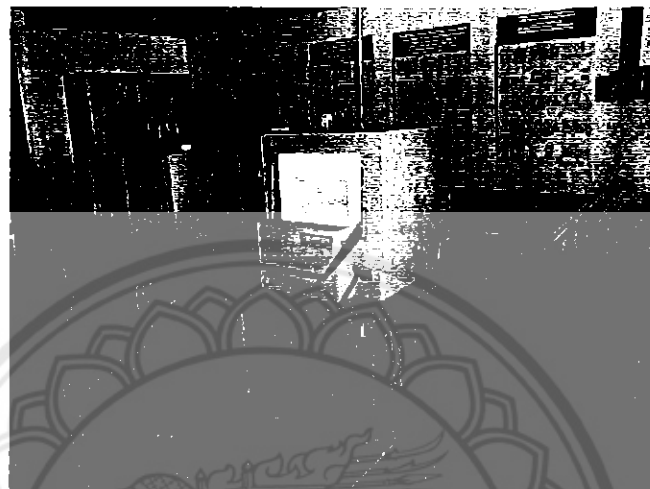


รูปที่ 3.2 กล้องจุลทรรศน์อิเล็กตรอนแบบส่องความ (Scanning Electron Microscope: SEM) [4]

3.1.2.3 โปรแกรมวิเคราะห์ภาพ Image – J

3.1.2.4 เครื่องทดสอบความแข็งระบบ ในโกรวิกเกอร์ (Micro Hardness Vicker)

**3.1.3 อุปกรณ์ออบชิ้นงาน**



รูปที่ 3.3 เตาอบชิ้นงาน

**3.1.4 อุปกรณ์เตรียมชิ้นงาน**

3.1.4.1 เครื่องตัด ดังรูปที่ 3.4



รูปที่ 3.4 เครื่องตัด

### 3.1.4.2 เครื่องมือขัดผิวชิ้นงาน

3.1.4.3 กระดาษทรายและผ้าสักหลาดสำหรับขัดมันพื้นผิวของขั้ดละลูมินา ดังรูปที่ 3.5



**รูปที่ 3.5 เครื่องมือขัดผิวชิ้นงาน กระดาษทรายและผ้าสักหลาดสำหรับขัดมันพื้นผิวของขั้ดละลูมินา**

### 3.1.5 สารเคมี

- 3.1.5.1 สารละลายคอปเปอร์ (II) ซัลเฟต (Copper (II) sulphate : Cu<sub>2</sub>SO<sub>4</sub>)
- 3.1.5.2 กรดไฮdroคลอริก (Hydrochloric acid : HCl)
- 3.1.5.3 เอทานอล (Ethanol)
- 3.1.5.4 อะซิโตน (Acetone)
- 3.1.5.6 น้ำก๊าซ

## 3.2 ขั้นตอนการทดสอบ

### 3.2.1 ขั้นตอนการทดสอบโดยรวม

3.2.1.1 กรรมวิธีทางความร้อนที่มีผลจากชิ้นงานการผ่านการอบชุบด้วยสภาวะต่าง ๆ กัน 4 สภาวะดังนี้ที่อุณหภูมิ 1175, 1185, 1195 และ 1205 °C ให้ผ่านสภาวะอุณหภูมิ 845 °C ระยะเวลาต่าง ๆ กัน ดังนี้ ที่เวลา 25, 50, 75, 100, 200, 300 และ 400 ชั่วโมง ตามลำดับดังตารางที่ 3.1

3.2.1.2 ทำการเตรียมผิวชิ้นงานโดยทำการขัดหมายด้วยเครื่องขัดหมายและกระดาษทรายเรียงจากเบอร์ 120, 240, 400, 600, 800, 1000 และ 1200 ตามลำดับ จากนั้นนำชิ้นงานไปขัดละอีกด้วยเครื่องขัดมันโดยใช้ผงขัดละลูมินาในการขัด

3.2.1.3 นำชิ้นงานที่ผ่านการขัดละเอียดหรือขัดมันแล้วมาทำการกัดกรดด้วยสารละลายน้ำแข็งได้จากการผสม กรดไฮโดรคลอริก (HCl) 50 มิลลิลิตร คอปเปอร์ (II) ซัลเฟต ( $Cu_2SO_4$ ) 10 กรัม และทำการตรวจสอบเมื่อต้นด้วยกล้องจุลทรรศน์แบบแสง (OM)

3.2.1.4 นำชื่นงานที่ผ่านการเตรียมผิวและทำการกัดกรดเสร็จสิ้นแล้วไปทำการวิเคราะห์โครงสร้างทางจุลภาค และศึกษาตำแหน่งของเฟลกเมมมาไฟร์นด้วยกล้องจุลทรรศน์แบบส่องความ (SEM) ที่กำลังขยาย 10,000 เท่า

3.2.1.5 นำชิ้นงานมาทำการตรวจสอบโครงสร้างทางจุดภาคตรวจวัดปริมาณสัดส่วนทางพื้นที่ และขนาดอนุภาคเฉลี่ยของเฟสแคนนาไฟร์มด้วยโปรแกรมวิเคราะห์ภาพ Image – J [6]

3.2.1.6 นำชิ้นงานไปทำการทดสอบความแข็ง ด้วยเครื่องทดสอบความแข็งระบบไมโครวิคเกอร์ (Micro Hardness Vicker)

### 3.2.1.7 นำข้อมูลที่ได้พิจารณาทำการวิเคราะห์และสรุปผลการทดลอง

### 3.3 ขั้นตอนการตรวจสอบโครงสร้างทางjustice ภาคของชิ้นงาน

### 3.3.1 ขั้นตอนการขัด牙鲆

จุดประสงค์ของขั้นตอนขัดหมาย และขั้นตอนที่สำคัญที่สุดก็เพื่อกำจัดผิวน้ำของชิ้นงานที่สภาพไม่เหมาะสมต่อการตรวจสอบโครงสร้างทางวัสดุภายนอก โดยขั้นตอนนี้เริ่มจากการนำชิ้นงานมาทำการขัดหมายด้วยกระดาษทรายเบอร์ 120 และหลังจากนั้นจะขัดกระดาษทรายเบอร์ที่สูงขึ้นไปเรื่อยๆ คือเรียงเบอร์ 120, 240, 400, 600, 800, 1000 และ 1200 ตามลำดับ ซึ่งในระหว่างที่ทำการขัดหมายนั้นจำเป็นที่จะต้องเปิดไฟที่ด้านข้างเพื่อเป็นการถ่ายเทความร้อนระหว่างกระดาษทรายและชิ้นงานที่ทำการขัด แล้วนอกจากนี้ยังช่วยลดแรงเสียดทานให้ต่ำลง ทำให้กระดาษทรายขัดออกไประหว่างการขัด โดยการขัดควรที่จะขัดไปในทิศทางเดียวกันในแต่ละเบอร์ของกระดาษทราย และเมื่อถึงเกตเဟน์รอยขัดบนผิวชิ้นงานเรียงตัวไปในทิศทางเดียวกันทั้งหมด แล้วเปลี่ยนเป็นกระดาษทรายที่ละเอียดมากขึ้นหรือเบอร์สูงขึ้นนั่นเอง และการขัดเมื่อทำการเปลี่ยนกระดาษทรายแล้วขัดให้ตั้งฉากกับแนวเดิม โดยการเปลี่ยนกระดาษทรายทุกครั้งจะต้องนำชิ้นงานไปทำการล้างน้ำหรือล้างด้วยเครื่องอัลตราโซนิก เพื่อให้เศษโลหะที่ติดอยู่บนผิวน้ำชิ้นงานหลุดออกก่อนที่จะทำการขัดด้วยกระดาษทรายเบอร์ถัดไป ทำเช่นนี้จนกระดาษทรายถึงเบอร์สูงสุด คือ 1200 เมื่อเสร็จสิ้นกระบวนการขัดหมายแล้วให้ใช้แอกอซออลิ่วทำความสะอาดชิ้นที่อยู่บนผิวน้ำชิ้นงานและเป่าให้แห้ง แล้วนำไปสู่กระบวนการขัดมันต่อไป

### 3.3.2 ขั้นตอนการขัดมัน

ในขั้นตอนการขัดมันนี้ชิ้นงานจะถูกขัดด้วยผงอะลูминิ่ม หรืออะลูมิเนียมออกไซด์ เพื่อทำให้ผิวชิ้นงานเรียบ ไร้รอยขีดข่วนซึ่งในขณะที่ทำการขัดจะมีการนำสารหล่อลื่นมาใช้ในการขัดด้วยโดยปริมาณของสารหล่อลื่นที่ใช้นั้นจะขึ้นอยู่กับความแข็งของชิ้นงานเป็นหลัก หากวัสดุอ่อนกว่าสารหล่อลื่นในปริมาณมากเพื่อป้องกันการเสียหายของชิ้นงาน สำหรับวัสดุที่แข็งนั้นก็จะใช้สารหล่อลื่นน้อยแต่ใช้ผงขัดมากขึ้น เนื่องจากมีการสึกหรอของผงขัดเร็ว โดยการขัดชิ้นงานจะทำการฉีดน้ำอะลูминิ่มลงบนผ้าลักษณะแล้วทำการขัดชิ้นงานเบา ๆ จนผิวของชิ้นงานใสและเรียบ คล้ายกระบอก หลังจากนั้นจึงทำความสะอาดชิ้นงานด้วยน้ำสะอาดและเครื่องอัลตราโซนิก ทำการฉีดไอล์กวนชื้นและเป่าให้แห้ง จากนั้นนำไปเก็บไว้ในภาชนะไอล์กวนชื้น (Desiccators) เพื่อรักษากรดในขั้นตอนต่อไป

### 3.3.3 การกัดกรด

ในขั้นตอนการกัดกรดนี้จะนำชิ้นงานที่ผ่านการขัดมันและตรวจสอบชิ้นงานเบื้องต้นแล้ว มาทำการกัดด้วยสารกัด (Etchant หรือ Reaciant) ซึ่งจะเกิดปฏิกิริยาระหว่างผิวหน้าของชิ้นงานกับสารเคมี ซึ่งในการทดสอบนี้จะใช้สารกัดคือ Marble Solution ซึ่งเตรียมได้จากการนำหินกรดไฮโดรคลอริก (HCl) 50 มิลลิลิตร ผสมเปอร์ (II) ชัลฟีด ( $Cu_2SO_4$ ) 10 กรัม โดยสารกัดจะทำปฏิกิริยากับพื้นผิวส่วนต่าง ๆ ของชิ้นงานแตกต่างกันขึ้นอยู่กับโครงสร้างของผิวชิ้นงาน ทำให้สามารถตรวจสอบได้ด้วยกล้องจุลทรรศน์

### 3.3.4 การวิเคราะห์โครงสร้างจุลภาค

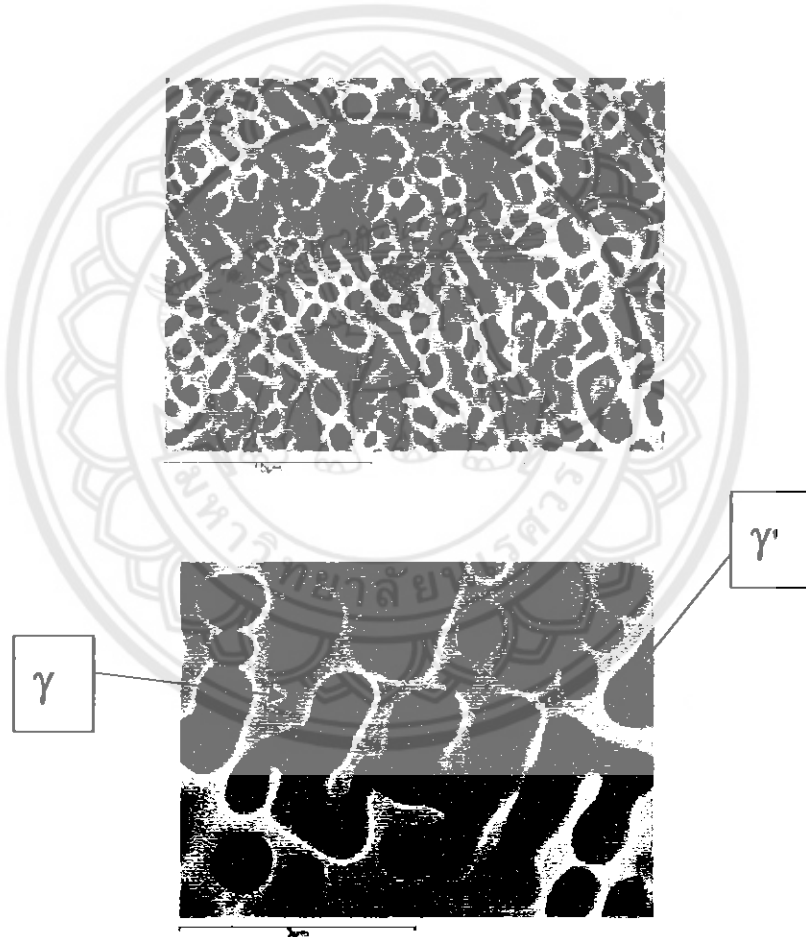
หลักการที่กัดกรดและตรวจสอบผิวชิ้นงานเบื้องต้นด้วยกล้องจุลทรรศน์แบบแสงเรียบร้อยແล้า นำชิ้นงานที่ได้ไปวิเคราะห์โครงสร้างจุลภาคของนิกเกิตชูปเปอร์อัลลอยเกรด GTD – 111 ที่ผ่านกรรมวิธีทางความร้อนที่มีผลจากชิ้นงานการผ่านการอบชุบด้วยสภาวะต่าง ๆ กัน 4 สภาวะดังนี้ที่อุณหภูมิ 1175, 1185, 1195 และ  $1205^{\circ}C$  ให้ผ่านสภาวะอุณหภูมิ  $845^{\circ}C$  ระยะเวลาต่าง ๆ กัน 4 ดังนี้ ที่เวลา 25, 50, 75, 100, 200, 300 และ 400 ชั่วโมง ตามลำดับด้วยกล้องจุลทรรศน์ อิเล็กตรอนแบบส่องสว่าง และนำชิ้นงานมาทำการตรวจสอบโครงสร้างทางจุลภาคตรวจสอบวัดปริมาณสัดส่วนทางพื้นที่ (Area fraction) และขนาดอนุภาคเฉลี่ยของเฟสแกรมนาไฟร์ม (Particle size) ด้วยโปรแกรมวิเคราะห์ภาพ Image – J [6]

## บทที่ 4

### ผลการทดลองและวิเคราะห์

#### 4.1 สภาพโครงสร้างทางจุลภาคของใบพัดกังหันก๊าซที่ทำจากวัสดุชูปเปอร์อัลลอย ประเภทนิกเกิลเกรด GTD – 111 หลังการใช้งาน

จากการตรวจสอบโครงสร้างใบพัดกังหันก๊าซหลังผ่านการใช้งานมาเป็นเวลาประมาณ 50,000 ชั่วโมง ที่อุณหภูมิ  $900^{\circ}\text{C}$  ด้วยกล้องจุลทรรศน์อิเล็กตรอนแบบส่องความคืบแสงในรูปที่ 4.1

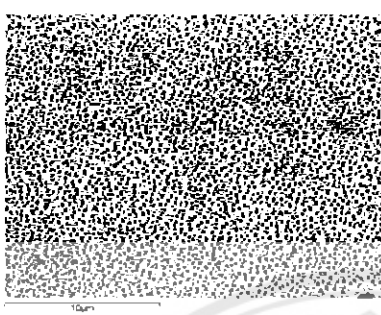
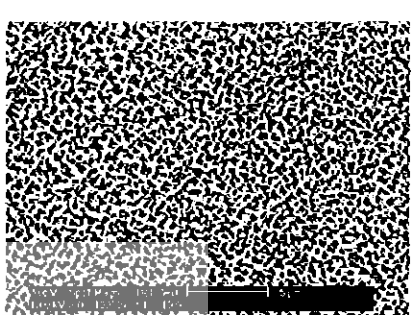
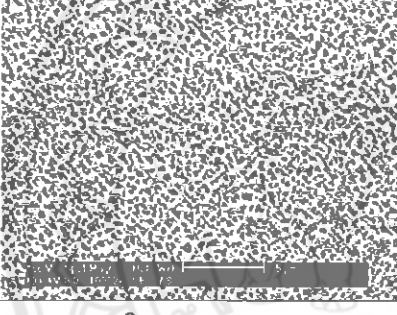
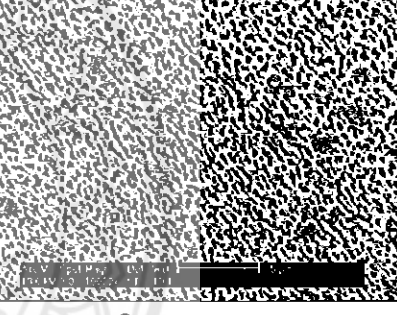
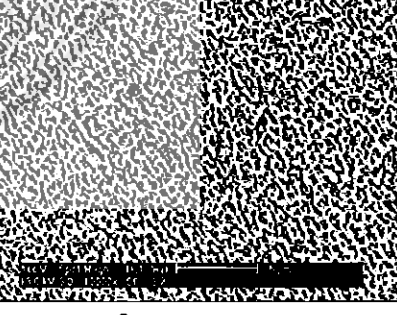
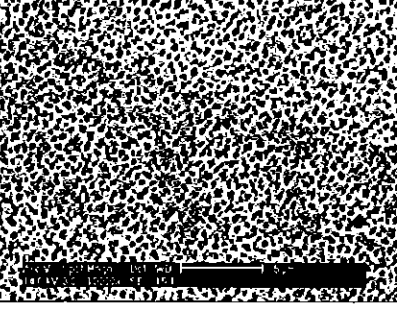
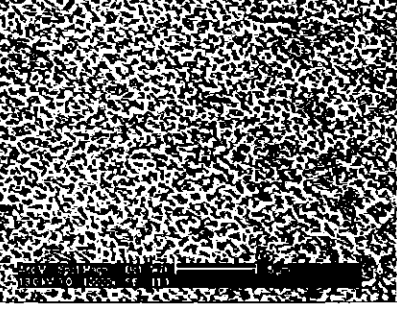


รูปที่ 4.1 ภาพถ่ายโครงสร้างจุลภาคโลหะผสมนิกเกิลเกรด GTD – 111 หลังการใช้งานอุณหภูมิ  $900^{\circ}\text{C}$  เป็นเวลา 50,000 ชั่วโมงที่กำลังขยาย 10,000 เท่า [7]

**ดังรูปที่ 4.1** พบว่าโครงสร้างชุลภาของใบพัดกังหันก้าชาจากวัสดุชูเปอร์อัลลอยประเกท นิกเกิลเกรด GTD – 111 ที่ผ่านการใช้งานมาประมาณ 50,000 ชั่วโมง อนุภาคของฝาแกมนาไฟร์น ซึ่งปกติต้องเป็นรูปทรงลูกบาศก์มีขนาดที่ใกล้เคียงกัน และกระบวนการตัวอย่างหนาแน่นมีการเปลี่ยนสภาพภายหลังการใช้งาน โดยเป็นอนุภาคแกมนาไฟร์นจะมีขนาดใหญ่ขึ้นและมีขนาดไม่สม่ำเสมอ เกิดการเสื่อมสภาพของโครงสร้าง ซึ่งเป็นผลเนื่องมาจากการโดยของอนุภาค แกมนาไฟร์นจะใช้งาน เมื่อได้รับความร้อนเป็นระยะเวลานาน โดยในระหว่างการใช้งาน อนุภาคแกมนาไฟร์นที่มีขนาดเล็กกว่าจะลายในเนื้อโลหะพื้น และแพร่ซึ่นเข้ามาร่วมตัวกัน ทำให้ออนุภาคเหล่านี้โตขึ้นเมื่อขนาดเชื่อมต่อ กันเป็นเฟสที่ขาว และมีขนาดใหญ่ซึ่งเห็นได้อย่างชัดเจน นอกจากนี้ความเครียดระหว่างเนื้อโลหะพื้น (Matrix Phase) กับอนุภาคแกมนาไฟร์นที่เกิดขึ้นเมื่อได้รับความเด่นชัดใช้งาน และการรับโหลดที่อุณหภูมิสูงเป็นระยะเวลานานยังส่งผลให้เกิดการเปลี่ยนแปลงขนาดและรูปร่างของอนุภาคแกมนาไฟร์นเหล่านี้ด้วย

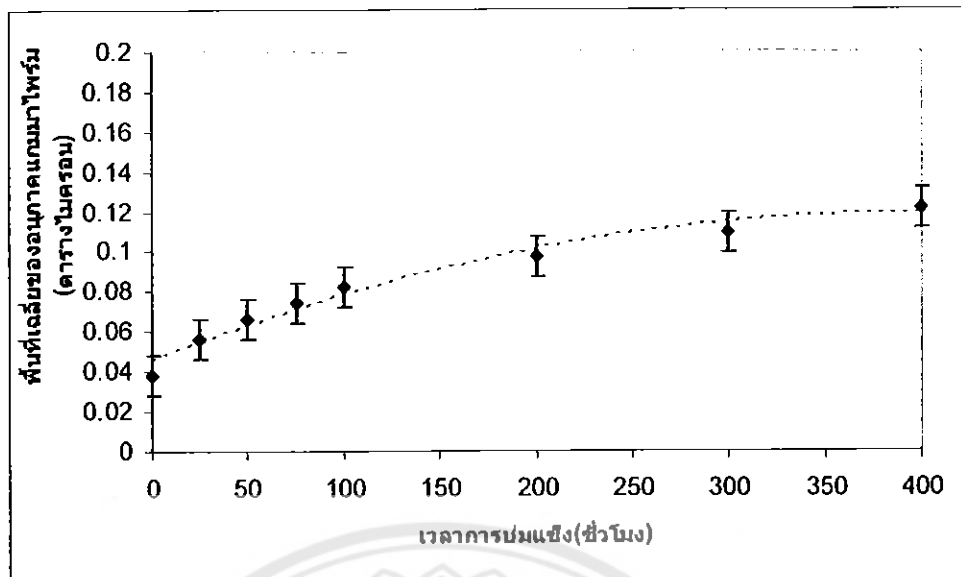
โดยทางทฤษฎีและปฏิบัติแล้วโครงสร้างแบบนี้จะส่งผลให้สมบัติเชิงกลด้านความต้านทานแรงดึงและความต้านทานการคีบมีค่าลดลง โดยเฉพาะความต้านทานต่อการคีบที่มีค่าลดลงมีผลตามมาก็อทำให้อาชญาการใช้งานของใบพัดกังหันก้าชาลดลงด้วย จากการตรวจสอบโครงสร้างชุลภาของชิ้นงานใบพัดกังหันก้าชาที่ยังไม่เสื่อมสภาพ จะมีสัดส่วนเชิงพื้นที่ ของอนุภาคแกมนาไฟร์น (Area fraction) ทั้งหมดในโครงสร้างประมาณ 60 % [7] ส่วนชิ้นงานที่เสื่อมสภาพจะมีสัดส่วนเชิงพื้นที่ของอนุภาคแกมนาไฟร์นทั้งหมดในโครงสร้างประมาณ 38.94 % ดังนั้นจึงควรที่จะทำการทดสอบกรรมวิธีทางความร้อนแบบต่าง ๆ เพื่อเดินต่อไป เพื่อพื้นฟูโครงสร้างชุลภาให้เหมือนใหม่ ที่สุดก่อนนำกลับมาใช้อีกรัง ซึ่งแสดงรายละเอียดกรรมวิธีทางความร้อนแบบต่าง ๆ เพื่อพื้นฟูโครงสร้างชุลภาแสดงในตารางที่ 3.1

**ตารางที่ 4.1 แสดงรูปโครงสร้างจุลภาคของชิ้นงานหลังผ่านการทำลายที่อุณหภูมิ  $1175^{\circ}\text{C}$  เป็นเวลา 4 ชั่วโมงและผ่านการบ่มเย็นที่อุณหภูมิ  $845^{\circ}\text{C}$  ทั้ง 7 สภาวะ**

สภาวะ ที่	$1175^{\circ}\text{C} / 4\text{hr.}(AC)$	สภาวะ ที่	$1175^{\circ}\text{C} / 4\text{hr.}(AC)+\text{Aging}$ $845^{\circ}\text{C}/100\text{hr.}(AC)$
A		A4	
สภาวะ ที่	$1175^{\circ}\text{C} / 4\text{hr.}(AC)+\text{Aging}$ $845^{\circ}\text{C}/25\text{hr.}(AC)$	สภาวะ ที่	$1175^{\circ}\text{C} / 4\text{hr.}(AC)+\text{Aging}$ $845^{\circ}\text{C}/200\text{hr.}(AC)$
A1		A5	
สภาวะ ที่	$1175^{\circ}\text{C} / 4\text{hr.}(AC)+\text{Aging}$ $845^{\circ}\text{C}/50\text{hr.}(AC)$	สภาวะ ที่	$1175^{\circ}\text{C} / 4\text{hr.}(AC)+\text{Aging}$ $845^{\circ}\text{C}/300\text{hr.}(AC)$
A2		A6	
สภาวะ ที่	$1175^{\circ}\text{C} / 4\text{hr.}(AC)+\text{Aging}$ $845^{\circ}\text{C}/75\text{hr.}(AC)$	สภาวะ ที่	$1175^{\circ}\text{C} / 4\text{hr.}(AC)+\text{Aging}$ $845^{\circ}\text{C}/400\text{hr.}(AC)$
A3		A7	

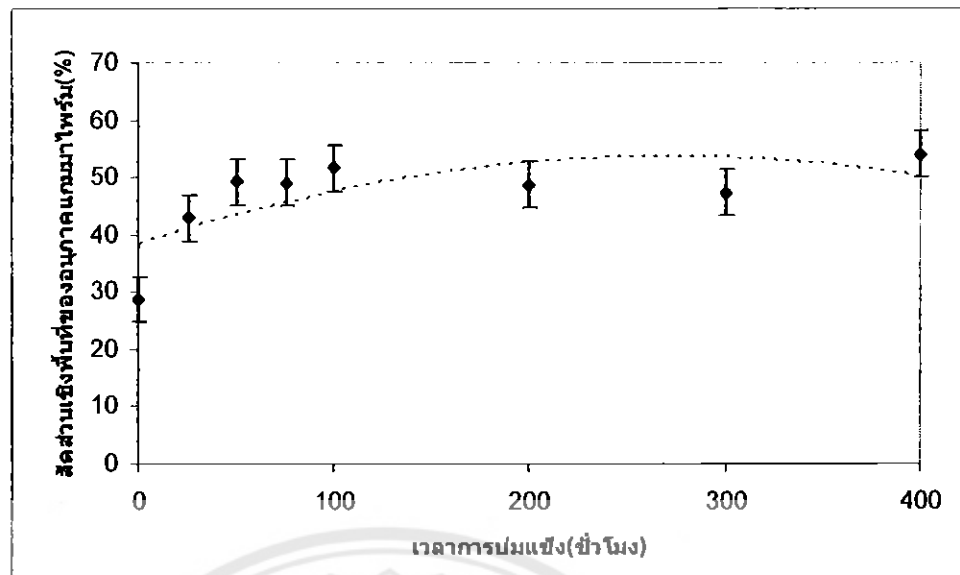
#### **4.1 วิเคราะห์ผลจากโครงสร้างจุลภาคของชิ้นงานหลังผ่านการทำลายที่อุณหภูมิ $1175^{\circ}\text{C}$ เป็นเวลา 4 ชั่วโมงและผ่านการบ่มเย็นที่อุณหภูมิ $845^{\circ}\text{C}$ ทั้ง 7 สภาวะ**

จากตารางที่ 4.1 แสดงให้เห็นถึงโครงสร้างจุลภาคที่ได้ของชิ้นงานที่ผ่านการทำลายที่อุณหภูมิ  $1175^{\circ}\text{C}$  เป็นเวลา 4 ชั่วโมงและผ่านการบ่มเย็นที่อุณหภูมิ  $845^{\circ}\text{C}$  ทั้ง 7 สภาวะ ดังนี้ 25, 50, 75, 100, 200, 300 และ 400 ชั่วโมง โดยจากรูปโครงสร้างจุลภาคชิ้นงาน A พบว่าอนุภาคแกมน้ำไฟร์นที่มีขนาดใหญ่ เนื่องจากการใช้งานมาเป็นระยะเวลานานทำให้สมบัคซิงกลดลงนั้น สามารถที่จะละลายกลับเข้าสู่เนื้อพื้น ได้ก่อนข้างมาก และพบว่ามีเพียงอนุภาคแกมน้ำไฟร์นขนาดละเอียดเพียงเท่านั้นที่กระจายอยู่ทั่วบริเวณเนื้อพื้นอย่างสม่ำเสมอ ซึ่งน่าจะเป็นผลเนื่องจาก สภาวะการทำลายที่อุณหภูมิ  $1175^{\circ}\text{C}$  นั้นไม่สามารถละลายอนุภาคเฟสแคนนาไฟร์นขนาดใหญ่ ที่มีอยู่ก่อน ได้หมดสนบนรูป ส่วนเมื่อทำการบ่มเย็นในช่วงเวลาที่นานขึ้นนั้นจะทำให้เกิดการเปลี่ยนแปลงของโครงสร้างจุลภาคไปตามเวลา โดยจะพบว่าชิ้นงานที่ A1 ซึ่งมีระยะเวลาในการบ่มเย็น 25 ชั่วโมง จะเริ่มเกิดการตอกตะกอนของอนุภาคแกมน้ำไฟร์นขนาดเล็กจะกระจายตัวในเนื้อพื้นอย่างเป็นระเบียบ และมีสม่ำเสมอมากขึ้น โดยที่ขนาดของอนุภาคและความหนาแน่นที่เพิ่มมากขึ้นอย่างรวดเร็ว หลังจากนั้นในชิ้นงานที่ A5 - A7 จะพบว่าอนุภาคแกมน้ำไฟร์นเริ่มนีบขนาดที่โตขึ้น และความหนาแน่นของอนุภาคแกมน้ำไฟร์นเพิ่มขึ้นอย่างช้า ๆ ตามระยะเวลาที่ทำการบ่มเย็น และมีอัตราที่ค่อนข้างคงที่ โดยจะสังเกตเห็นว่าขนาดและความหนาแน่นมีความใกล้เคียงกันในแต่ละโครงสร้าง จุลภาคที่พบในช่วง A5 - A7 ซึ่งชิ้นงาน A7 นั้นมีขนาดของอนุภาคที่โตที่สุดเนื่องมาจากการ ระยะเวลาในการบ่มเย็นที่สูงที่สุด



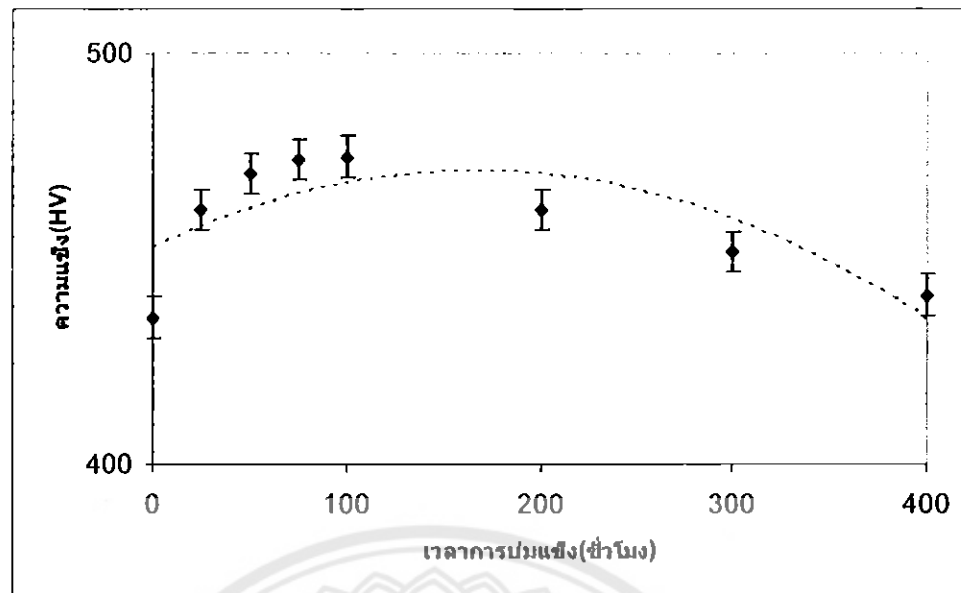
รูปที่ 4.2 แสดงความสัมพันธ์ระหว่างพื้นที่เคลือบของอนุภาคแกมน้ำไฟร์น (Particle size) ในชิ้นงานหลังผ่านการทำละลายที่อุณหภูมิ  $1175\text{ }^{\circ}\text{C}$  เป็นเวลา 4 ชั่วโมงกับเวลาการบ่มเย็นที่อุณหภูมิ  $845\text{ }^{\circ}\text{C}$  ทั้ง 7 สภาวะ

จากรูปที่ 4.2 ได้แสดงความสัมพันธ์ระหว่างพื้นที่เคลือบของชิ้นงาน หลังผ่านการทำละลายที่อุณหภูมิ  $1175\text{ }^{\circ}\text{C}$  เป็นเวลา 4 ชั่วโมงกับเวลาการบ่มเย็นที่อุณหภูมิ  $845\text{ }^{\circ}\text{C}$  ทั้ง 7 สภาวะ ดังนี้ 25, 50, 75, 100, 200, 300 และ 400 ชั่วโมง โดยพบว่าชิ้นงานที่ A มีขนาดของอนุภาคที่น้อยที่สุด เมื่องจากอนุภาคแกมน้ำไฟร์นแบบหยาบละลายกลับเข้าสู่เนื้อพื้น ทำให้ขนาดของอนุภาคที่วัดได้ นั้นมีค่าน้อยที่สุด โดยขนาดของอนุภาคแกมน้ำไฟร์นจะมีความชันของกราฟเพิ่มขึ้นในช่วงชิ้นงานที่ A1 – A4 โดยหลังจากนั้นจะพบว่าชิ้นงานที่ A5 – A7 นั้นจะมีความชันของกราฟลดลง และมีแนวโน้มที่คงที่ตามระยะเวลาในการบ่มเย็น จากรูปที่ 4.2 จะสังเกตเห็นว่าชิ้นงานที่ A7 พื้นที่เคลือบที่มีค่าที่สูงที่สุดเนื่องจากระยะเวลาในการบ่มเย็นที่นานที่สุดคือ 400 ชั่วโมง จะทำให้มีเวลาในการเพิ่มขนาดที่นานที่สุดส่งผลให้มีพื้นที่เคลือบสูงที่สุด โดยสามารถอธิบายได้ว่าการที่ขนาดของแกมน้ำไฟร์นเพิ่มขึ้นนั้นเกิดเนื่องจากแกมน้ำไฟร์นพวยยานที่จะลดพลังงานของภายในโครงสร้าง หรือเนื้อวัสดุให้น้อยที่สุด เพื่อให้มั่นเสถียรมากขึ้น



**รูปที่ 4.3** แสดงความสัมพันธ์ระหว่างสัดส่วนเชิงพื้นที่ของอุกกาคแกมนามาไฟร์น (Area fraction) ในชิ้นงานหลังผ่านการทำละลายที่อุณหภูมิ  $1175\text{ }^{\circ}\text{C}$  เป็นเวลา 4 ชั่วโมงกับเวลาการบ่มเย็นที่อุณหภูมิ  $845\text{ }^{\circ}\text{C}$  ทั้ง 7 สภาวะ

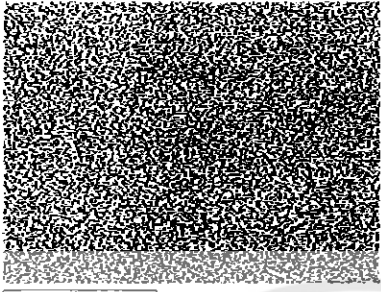
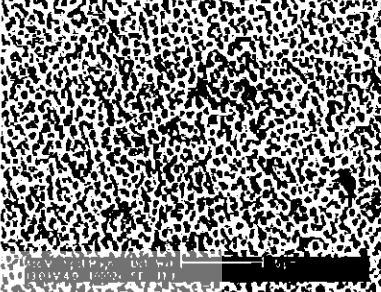
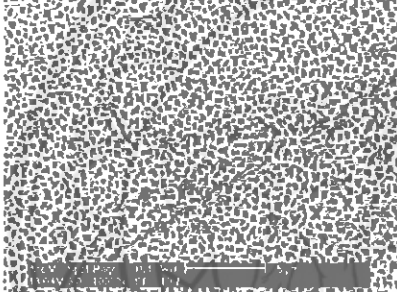
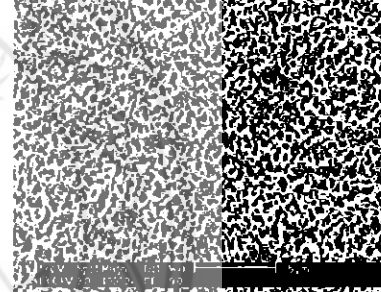
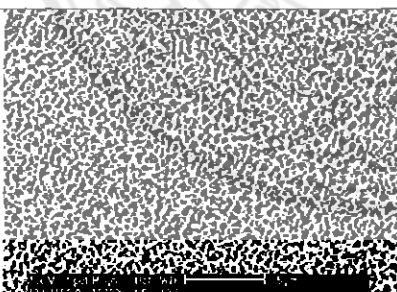
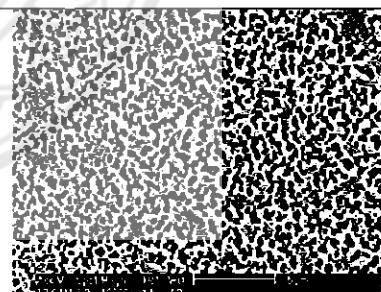
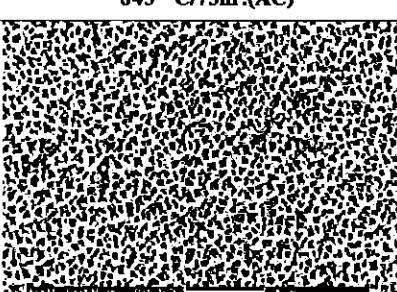
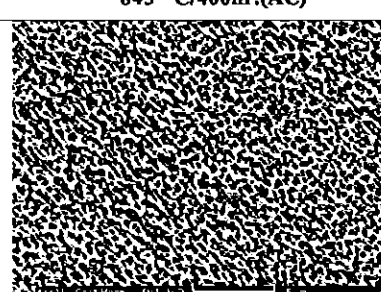
จากรูปที่ 4.3 แสดงถึงความสัมพันธ์ระหว่างสัดส่วนเชิงพื้นที่ของชิ้นงานหลังผ่านการทำละลายที่อุณหภูมิ  $1175\text{ }^{\circ}\text{C}$  เป็นเวลา 4 ชั่วโมงกับเวลาการบ่มเย็นที่อุณหภูมิ  $845\text{ }^{\circ}\text{C}$  ทั้ง 7 สภาวะดังนี้ 25, 50, 75, 100, 200, 300 และ 400 ชั่วโมง โดยพบว่าชิ้นงานที่ A มีสัดส่วนเชิงพื้นที่ที่น้อยที่สุด เนื่องจากอุกกาคละลายเข้าสู่เนื้อพื้นทำให้สัดส่วนเชิงพื้นที่ที่วัดได้นั้นมีค่าน้อยที่สุด เมื่อทำการบ่มเย็นชิ้นงานในระยะเวลาที่แตกต่างกันพบว่า จากรูปที่ 4.3 สามารถอธิบายได้ว่าชิ้นงานที่ A1 - A4 นั้นจะสังเกตเห็นว่าสัดส่วนเชิงพื้นที่ของอุกกาคแกมนามาไฟร์น มีความชันของกราฟเพิ่มมากขึ้น อย่างเห็นได้ชัดตามระยะเวลาในการทำการบ่มเย็นที่ช่วง 25 – 100 ชั่วโมง โดยหลังจากนั้นตั้งแต่ A5 ค่าของสัดส่วนเชิงพื้นที่ลดลงเล็กน้อยและเพิ่มขึ้นในชิ้นงานที่ A6 ก่อนข้างคงที่ไปจนถึงชิ้นงานที่ A7



รูปที่ 4.4 แสดงความสัมพันธ์ระหว่างค่าความแข็งของชิ้นงานหลังผ่านการทำละลายที่อุณหภูมิ  $1175\text{ }^{\circ}\text{C}$  เป็นเวลา 4 ชั่วโมงกับเวลาการบ่มเย็นที่อุณหภูมิ  $845\text{ }^{\circ}\text{C}$  ทั้ง 7 สภาวะ

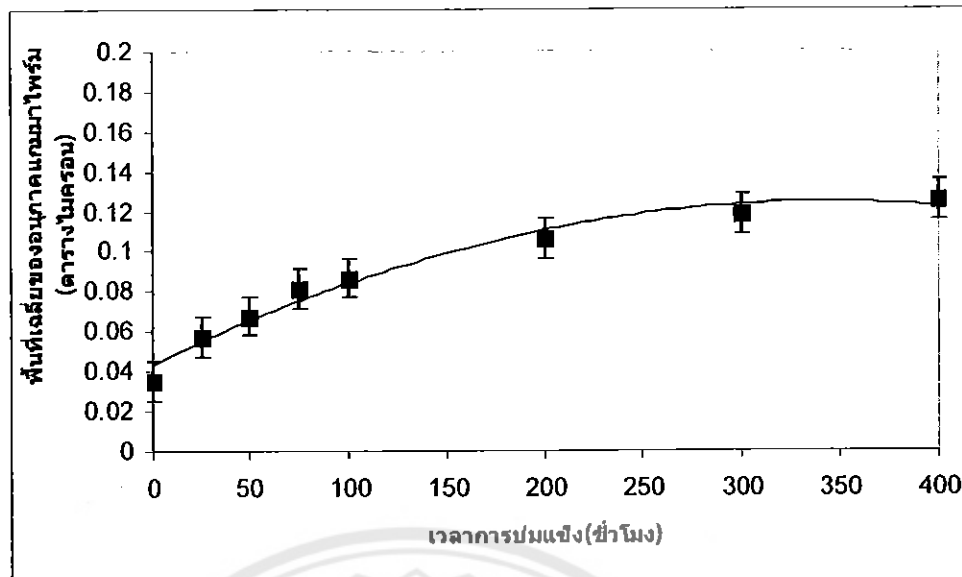
จากรูปที่ 4.4 ได้แสดงถึงความสัมพันธ์ระหว่างค่าความแข็งของชิ้นงานหลังผ่านการทำละลายที่อุณหภูมิ  $1175\text{ }^{\circ}\text{C}$  เป็นเวลา 4 ชั่วโมงกับเวลาการบ่มเย็นที่อุณหภูมิ  $845\text{ }^{\circ}\text{C}$  ทั้ง 7 สภาวะดังนี้ 25, 50, 75, 100, 200, 300 และ 400 ชั่วโมง พนว่าชิ้นงานที่ A – A4 ความชันของกราฟจะเพิ่มมากขึ้นอย่างรวดเร็วสังเกตเห็นว่าชิ้นงานที่ A4 มีค่าความแข็งที่สูงที่สุดเนื่องจากมีสัดส่วนเชิงพื้นที่มากที่สุด ค่าความแข็งจะมีค่าสูงขึ้นเมื่อสัดส่วนเชิงพื้นที่มีค่ามากขึ้น เพราะนอกจากมีอนุภาคแกรมมาไพร์นทำหน้าที่ขัดขวางการเคลื่อนที่ของดิสโลเกชันเป็นอยู่เป็นจำนวนมากแล้ว ยังแกรมมาไพร์นที่อยู่ใกล้กันมาก โดยการที่ดิสโลเกชันจะเคลื่อนที่ผ่านไปได้นั้นต้องใช้แรงที่มากขึ้นตามไปด้วย ซึ่งส่งผลต่อความแข็งที่เพิ่มสูงขึ้น โดยชิ้นงานที่ A5 เริ่มมีค่าความแข็งที่น้อยลงตามระยะเวลาในการบ่มเย็น เมื่อเพิ่มระยะเวลาในการบ่มเย็นให้เพิ่มขึ้นจนถึงชิ้น A7 เนื่องจากอนุภาคแกรมมาไพร์นมีขนาดที่เพิ่มขึ้น ดังรูปที่ 4.2 ทำให้ดิสโลเกชันใช้พลังงานในการเคลื่อนที่ผ่านอนุภาคลดลง

**ตารางที่ 4.2 แสดงรูปโครงสร้างจุลภาคของชิ้นงานหลังผ่านการทำลายที่อุณหภูมิ  $1185^{\circ}\text{C}$  เป็นเวลา 4 ชั่วโมงและผ่านการบ่มแข็งที่อุณหภูมิ  $845^{\circ}\text{C}$  ทั้ง 7 สภาวะ**

สภาวะ ที่	$1185^{\circ}\text{C} / 4\text{hr.}(AC)$	สภาวะ ที่	$1185^{\circ}\text{C} / 4\text{hr.}(AC)+\text{Aging}$ $845^{\circ}\text{C}/100\text{hr.}(AC)$
B		B4	
สภาวะ ที่	$1185^{\circ}\text{C} / 4\text{hr.}(AC)+\text{Aging}$ $845^{\circ}\text{C}/25\text{hr.}(AC)$	สภาวะ ที่	$1185^{\circ}\text{C} / 4\text{hr.}(AC)+\text{Aging}$ $845^{\circ}\text{C}/200\text{hr.}(AC)$
B1		B5	
สภาวะ ที่	$1185^{\circ}\text{C} / 4\text{hr.}(AC)+\text{Aging}$ $845^{\circ}\text{C}/50\text{hr.}(AC)$	สภาวะ ที่	$1185^{\circ}\text{C} / 4\text{hr.}(AC)+\text{Aging}$ $845^{\circ}\text{C}/300\text{hr.}(AC)$
B2		B6	
สภาวะ ที่	$1185^{\circ}\text{C} / 4\text{hr.}(AC)+\text{Aging}$ $845^{\circ}\text{C}/75\text{hr.}(AC)$	สภาวะ ที่	$1185^{\circ}\text{C} / 4\text{hr.}(AC)+\text{Aging}$ $845^{\circ}\text{C}/400\text{hr.}(AC)$
B3		B7	

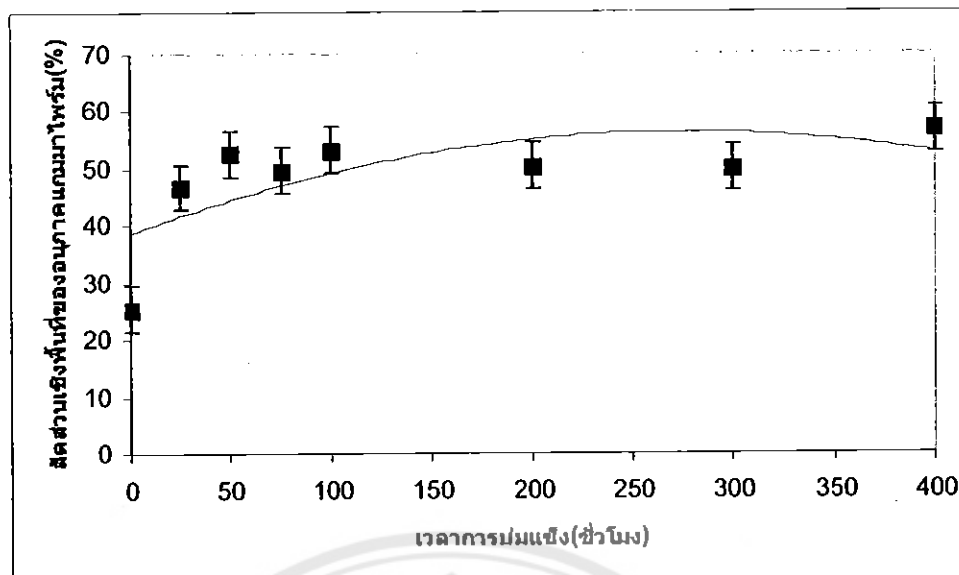
### 4.3 วิเคราะห์ผลจากโครงสร้างจุลภาคของชิ้นงานหลังผ่านการทำลายที่อุณหภูมิ $1185^{\circ}\text{C}$ เป็นเวลา 4 ชั่วโมงและผ่านการบ่มเย็นที่อุณหภูมิ $845^{\circ}\text{C}$ ทั้ง 7 สภาวะ

จากการที่ 4.2 แสดงให้เห็นว่าชิ้นงานที่ผ่านการทำลายที่อุณหภูมิ  $1185^{\circ}\text{C}$  เป็นเวลา 4 ชั่วโมงและผ่านการบ่มเย็นที่อุณหภูมิ  $845^{\circ}\text{C}$  ทั้ง 7 สภาวะ ดังนี้ 25, 50, 75, 100, 200, 300 และ 400 ชั่วโมง โดยจากรูปโครงสร้าง จุลภาคชิ้นงานที่ B พบร้า และพบนุภาคแกมน้ำไพร์นขนาดละเอียดเพียงอย่างเดียวจะขยายอูดโดยทั่วไปเร็วนี้อีก แสดงว่าอนุภาคแกมน้ำไพร์น ที่มีขนาดใหญ่ จะสามารถละลายเข้าไปสู่เนื้อพื้นได้มากขึ้น และเมื่อถูกขนาดพบร้าชิ้นงานที่ B มีขนาดแกมน้ำไพร์นที่เล็กกว่าชิ้นงานที่ A เนื่องมาจากอุณหภูมิในการทำลายมากกว่าจึงสามารถลดทำให้แกมน้ำไพร์นขนาดใหญ่ละลายเข้าสู่เนื้อพื้นได้มากกว่า ส่วนการเพิ่มเวลาในการบ่มเย็นให้นานขึ้น นั้นทำให้เกิดการเปลี่ยนแปลงโครงสร้างไปตามเวลา โดยจะสังเกตเห็นว่าชิ้นงานที่ B1 จะเริ่มเกิดการแตกตะกอนของอนุภาคแกมน้ำไพร์นขนาดละเอียดเป็นจำนวนมาก และมีการกระจายตัวอย่างสม่ำเสมอทั่วเนื้อพื้น จากรูปโครงสร้างจุลภาคพบว่าชิ้นงานที่ B1 - B4 จะมีการแตกตะกอนของอนุภาคแกมน้ำไพร์นขนาดละเอียด กระจายตัวในเนื้อพื้นอย่างเป็นระเบียบและสม่ำเสมอมากขึ้นซึ่งขึ้น และจะสังเกตเห็นว่าขนาด และความหนาแน่นของอนุภาคแกมน้ำไพร์นมีปริมาณเพิ่มมากขึ้นอย่างรวดเร็ว ในช่วงนี้ตามระยะเวลาในการบ่มเย็นโดยจากนั้นจะสังเกตเห็นว่าในชิ้นงานที่ B5 - B7 อนุภาคเริ่มนีบนาคที่โถและความหนาแน่นของอนุภาคแกมน้ำไพร์นเพิ่มขึ้นและมีอัตราที่ค่อนข้างคงที่โดยจะสังเกตเห็นได้จากโครงสร้างจุลภาคของชิ้นงาน พบร้าขนาดและความหนาแน่นของอนุภาคแกมน้ำไพร์นมีความใกล้เคียงกันในแต่ละโครงสร้าง



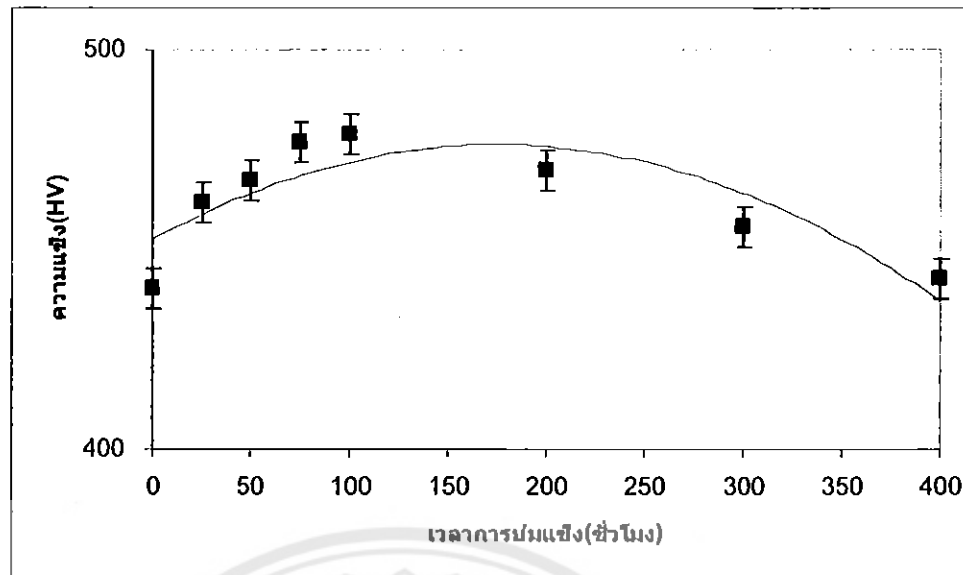
รูปที่ 4.5 แสดงความสัมพันธ์ระหว่างพื้นที่เคลือบของอนุภาคแกมนามาไฟร์น (Particle size) ในชิ้นงานหลังผ่านการทำละลายที่อุณหภูมิ  $1185^{\circ}\text{C}$  เป็นเวลา 4 ชั่วโมงกับเวลาการบ่มเย็นที่ อุณหภูมิ  $845^{\circ}\text{C}$  ทั้ง 7 สภาวะ

จากรูปที่ 4.5 แสดงถึงความสัมพันธ์ระหว่างพื้นที่เคลือบของอนุภาคแกมนามาไฟร์นในชิ้นงานหลังผ่านการทำละลายที่อุณหภูมิ  $1185^{\circ}\text{C}$  เป็นเวลา 4 ชั่วโมงกับเวลาการบ่มเย็นที่อุณหภูมิ  $845^{\circ}\text{C}$  ทั้ง 7 สภาวะ ดังนี้ 25, 50, 75, 100, 200, 300 และ 400 ชั่วโมง โดยพบว่าชิ้นงานที่ B มีขนาดของอนุภาคที่เล็กที่สุด เมื่อจากผลของการทำละลายหลังจากการทำการบ่มเย็นแล้วจะเริ่มเกิดการแตกตะกอนของอนุภาคแกมนามาไฟร์นขนาดเล็กกระจายตัวอยู่ทั่วเนื้อพื้นที่น้ำหนาของอนุภาคแกมนามาไฟร์นจะโดยทั่วไปใช้เวลาในการบ่มเย็นโดยสังเกตได้จากรูปที่ 4.5 พบว่าขนาดของอนุภาคแกมนามาไฟร์นในชิ้นงาน B1 – B4 จะความชันกราฟที่เพิ่มขึ้น ซึ่งเป็นไปตามระยะเวลาในการบ่มเย็น โดยหลังจากนั้นจะพบว่าในชิ้นงานที่ B5 – B7 นั้นจะความชันกราฟลดลงและมีแนวโน้มที่จะคงที่ไปตามระยะเวลาในการบ่มเย็นที่เพิ่มขึ้น จากรูปจะสังเกตเห็นว่าชิ้นงานที่ B7 มีขนาดที่ใหญ่ที่สุด



รูปที่ 4.6 แสดงความสัมพันธ์ระหว่างสัดส่วนเชิงพื้นที่ขององุภากแกมนามาไฟร์น (Area fraction) ในชิ้นงานหลังผ่านการทำละลายที่อุณหภูมิ  $1185^{\circ}\text{C}$  เป็นเวลา 4 ชั่วโมงกับเวลาการบ่มเย็นที่อุณหภูมิ  $845^{\circ}\text{C}$  ทั้ง 7 สภาวะ

จากรูปที่ 4.6 แสดงถึงความสัมพันธ์ระหว่างค่าสัดส่วนเชิงพื้นที่ขององุภากแกมนามาไฟร์นในชิ้นงานหลังผ่านการทำละลายที่อุณหภูมิ  $1185^{\circ}\text{C}$  เป็นเวลา 4 ชั่วโมงกับเวลาการบ่มเย็นที่อุณหภูมิ  $845^{\circ}\text{C}$  ทั้ง 7 สภาวะดังนี้ 25, 50, 75, 100, 200, 300 และ 400 ชั่วโมง โดยพบว่าชิ้นงานที่ B มีค่าสัดส่วนเชิงพื้นที่ขององุภากแกมนามาไฟร์นที่น้อยที่สุด เนื่องจากเป็นช่วงของชิ้นงานที่ผ่านการทำละลายเพียงอย่างเดียว เมื่อชิ้นงานผ่านการทำการบ่มเย็น ณ เวลาต่างกันนั้นพบว่า ชิ้นงานที่ B1 - B4 ค่าของสัดส่วนเชิงพื้นที่ขององุภากแกมนามาไฟร์นนี้แนวโน้มความชันกราฟที่เพิ่มมากขึ้นอย่างเห็นได้ชัดตามระยะเวลาที่ได้ทำการบ่มเย็น โดยตั้งแต่ชิ้นงาน B5 จะเริ่มนีสัดส่วนเชิงพื้นที่ขององุภากแกมนามาไฟร์นในชิ้นงานที่ค่อนข้างคงที่ไปจนถึงชิ้นงานที่ B7



รูปที่ 4.7 แสดงความสัมพันธ์ระหว่างค่าความแข็งของชิ้นงานหลังผ่านการทำลายที่อุณหภูมิ  $1185^{\circ}\text{C}$  เป็นเวลา 4 ชั่วโมงกับเวลาการบ่มแข็งที่อุณหภูมิ  $845^{\circ}\text{C}$  ทั้ง 7 สภาวะ

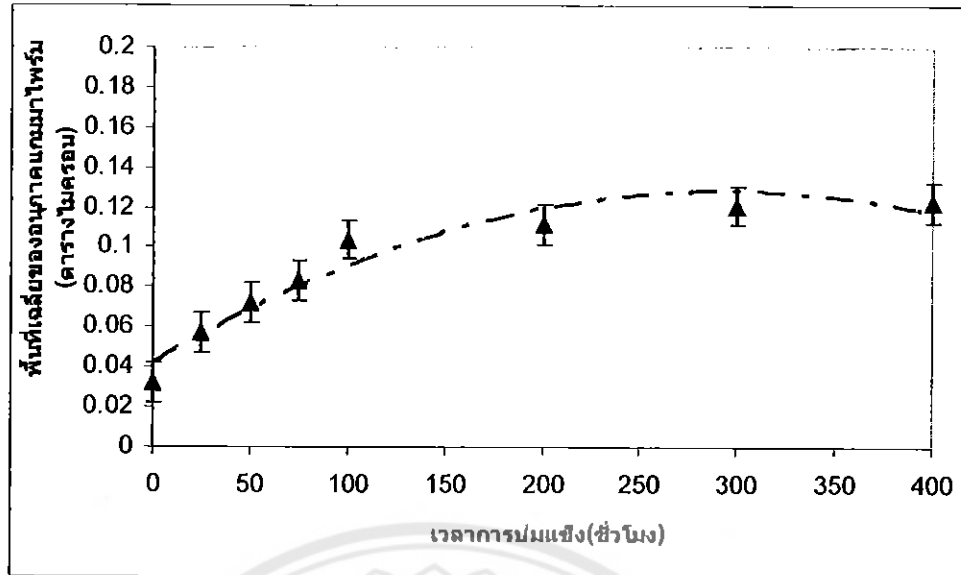
จากรูปที่ 4.7 ได้แสดงถึงความสัมพันธ์ระหว่างค่าความแข็งของชิ้นงานหลังผ่านการทำลายที่อุณหภูมิ  $1185^{\circ}\text{C}$  เป็นเวลา 4 ชั่วโมงกับเวลาการบ่มแข็งที่อุณหภูมิ  $845^{\circ}\text{C}$  ทั้ง 7 สภาวะดังนี้ 25, 50, 75, 100, 200, 300 และ 400 ชั่วโมง พนวิชชิ้นงานที่ B – B4 มีความชันกราฟของค่าความแข็งเพิ่มมากขึ้นอย่างชัดเจนและจะพบว่าชิ้นงานที่ B4 มีค่าความแข็งที่สูงที่สุดเนื่องจากมีสัดส่วนเชิงพื้นที่ของอนุภาคแแกมนมาไฟร์นในชิ้นงานนี้ค่อนข้างมากที่สุด ทำให้ค่าความแข็งนั้นจะมีค่าสูงมากที่สุด เนื่องมาจากสัดส่วนเชิงพื้นที่อนุภาคแแกมนมาไฟร์นที่มีค่อนข้างมาก เพราะนอกจากมีอนุภาคแแกมนมาไฟร์นที่ทำหน้าที่ในการขัดขวางการเคลื่อนที่ของคิสโลเกชันเป็นจำนวนมากแล้วนั้นอนุภาคแแกมนมาไฟร์นยังอยู่ใกล้กันมากขึ้นเท่าไร การที่คิสโลเกชันจะผ่านไปได้นั้นต้องใช้แรงที่มากขึ้น เท่านั้น สาเหตุเมืองต้นส่งผลต่อค่าความแข็งที่มีค่อนข้างสูงขึ้น โดยชิ้นงานที่ B5 เริ่มมีค่าความแข็งที่น้อยลงเมื่อเพิ่มระยะเวลาในการบ่มแข็งให้เพิ่มมากขึ้น จนถึงชิ้น B7 เนื่องจากอนุภาคแแกมนมาไฟร์นมีขนาดที่เพิ่มมากขึ้นดังรูปที่ 4.5 ให้คิสโลเกชันใช้พลังงานในการเคลื่อนที่ผ่านอนุภาคลดลง

**ตารางที่ 4.3 แสดงรูปโครงสร้างจุลภาคของชิ้นงานหลังผ่านการทำลายที่อุณหภูมิ  $1195^{\circ}\text{C}$  เป็นเวลา 4 ชั่วโมงและผ่านการบ่นแข็งที่อุณหภูมิ  $845^{\circ}\text{C}$  ทั้ง 7 สถานะ**

สถานะ ที่	$1195^{\circ}\text{C} / 4\text{hr.}(AC)$	สถานะ ที่	$1195^{\circ}\text{C} / 4\text{hr.}(AC)+\text{Aging}$ $845^{\circ}\text{C}/100\text{hr.}(AC)$
C		C4	
สถานะ ที่	$1195^{\circ}\text{C} / 4\text{hr.}(AC)+\text{Aging}$ $845^{\circ}\text{C}/25\text{hr.}(AC)$	สถานะ ที่	$1195^{\circ}\text{C} / 4\text{hr.}(AC)+\text{Aging}$ $845^{\circ}\text{C}/200\text{hr.}(AC)$
C1		C5	
สถานะ ที่	$1195^{\circ}\text{C} / 4\text{hr.}(AC)+\text{Aging}$ $845^{\circ}\text{C}/50\text{hr.}(AC)$	สถานะ ที่	$1195^{\circ}\text{C} / 4\text{hr.}(AC)+\text{Aging}$ $845^{\circ}\text{C}/300\text{hr.}(AC)$
C2		C6	
สถานะ ที่	$1195^{\circ}\text{C} / 4\text{hr.}(AC)+\text{Aging}$ $845^{\circ}\text{C}/75\text{hr.}(AC)$	สถานะ ที่	$1195^{\circ}\text{C} / 4\text{hr.}(AC)+\text{Aging}$ $845^{\circ}\text{C}/400\text{hr.}(AC)$
C3		C7	

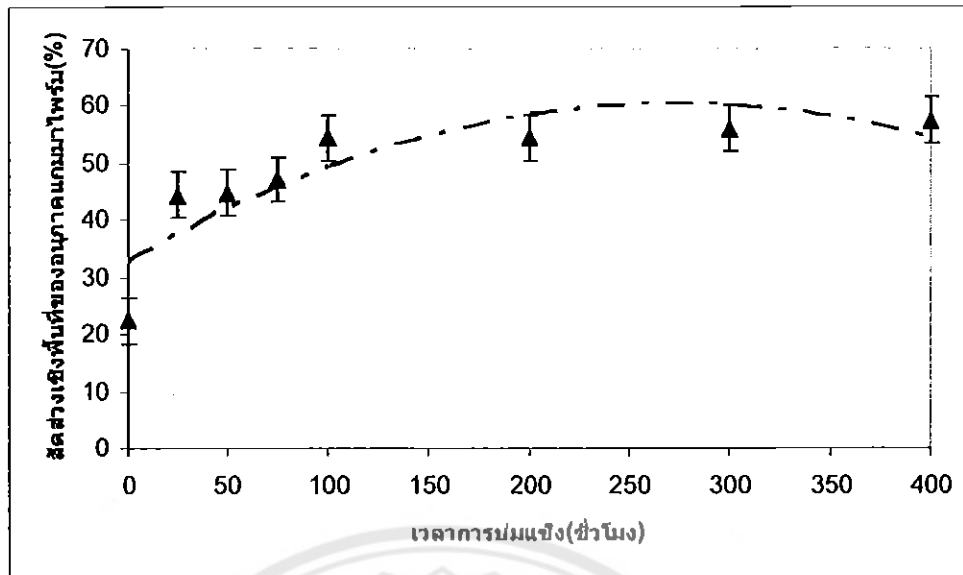
#### 4.4 วิเคราะห์ผลจากโครงสร้างจุลภาคของชิ้นงานหลังผ่านการทำลายที่อุณหภูมิ $1195^{\circ}\text{C}$ เป็นเวลา 4 ชั่วโมงและผ่านการบ่มเย็นที่อุณหภูมิ $845^{\circ}\text{C}$ ทั้ง 7 สภาวะ

จากการที่ 4.3 แสดงให้เห็นว่าชิ้นงานที่ผ่านการทำลายที่อุณหภูมิ  $1195^{\circ}\text{C}$  เป็นเวลา 4 ชั่วโมงและผ่านการบ่มเย็นที่อุณหภูมิ  $845^{\circ}\text{C}$  ทั้ง 7 สภาวะ ดังนี้ 25, 50, 75, 100, 200, 300 และ 400 ชั่วโมง โดยจากรูปโครงสร้าง จุลภาคชิ้นงานที่ C พบว่าอนุภาคแคนนาไฟร์ม ที่มีขนาดใหญ่ จะสามารถละลายเข้าไปสู่เนื้อพื้น ได้มากขึ้น และพบอนุภาคแคนนาไฟร์มขนาดเล็กเท่านั้น กระจายอยู่โดยทั่วบริเวณเมื่อพื้นเมื่อถูกจากนาคพนว่าชิ้นงานที่ C มีขนาดแคนนาไฟร์มที่เล็กกว่า ชิ้นงานที่ B เนื่องจากอุณหภูมิในการทำลายสูงมากกว่า ส่งผลให้ความสามารถในการทำลายอนุภาคแคนนาไฟร์มขนาดใหญ่นั้น ละลายเข้าสู่เนื้อพื้น ได้มากกว่าหลังจากนั้น ได้เพิ่มเวลาในการบ่มเย็นให้มีช่วงเวลาที่นานขึ้น ส่งผลทำให้เกิดการเปลี่ยนแปลง โครงสร้างทางจุลภาคของชิ้นงานเปลี่ยนไปตามเวลา โดยจะสังเกตเห็นว่าชิ้นงานที่ C1 จะเริ่มนิการแตกตะกอนของอนุภาค แคนนาไฟร์มขนาดเล็กเพียงเท่านั้นเป็นจำนวนมากและมีการกระจายอยู่โดยทั่วเนื้อพื้น จากรูป โครงสร้างทางจุลภาคพนว่าชิ้นงานที่ C1 - C4 จะมีการแตกตะกอนของอนุภาคแคนนาไฟร์มขนาดเล็กกระจายตัวในเนื้อพื้นและมีสมาร์เต็มอย่างมากขึ้น โดยจะสังเกตเห็นว่าขนาดและความหนาแน่นของอนุภาคแคนนาไฟร์ม มีปริมาณที่เพิ่มมากขึ้นอย่างรวดเร็วในช่วงนี้ หลังจากนั้นจะสังเกตเห็นว่าในชิ้นงานที่ C5 - C7 อนุภาคเริ่มนิมานาคที่โตและความหนาแน่นของอนุภาค แคนนาไฟร์มนั้นเพิ่มขึ้นและมีอัตราที่ค่อนข้างคงที่ โดยจะสังเกตเห็นได้จากโครงสร้างพนว่าขนาดและความหนาแน่นของอนุภาคแคนนาไฟร์มนิความใกล้เคียงกันในแต่ละ โครงสร้าง



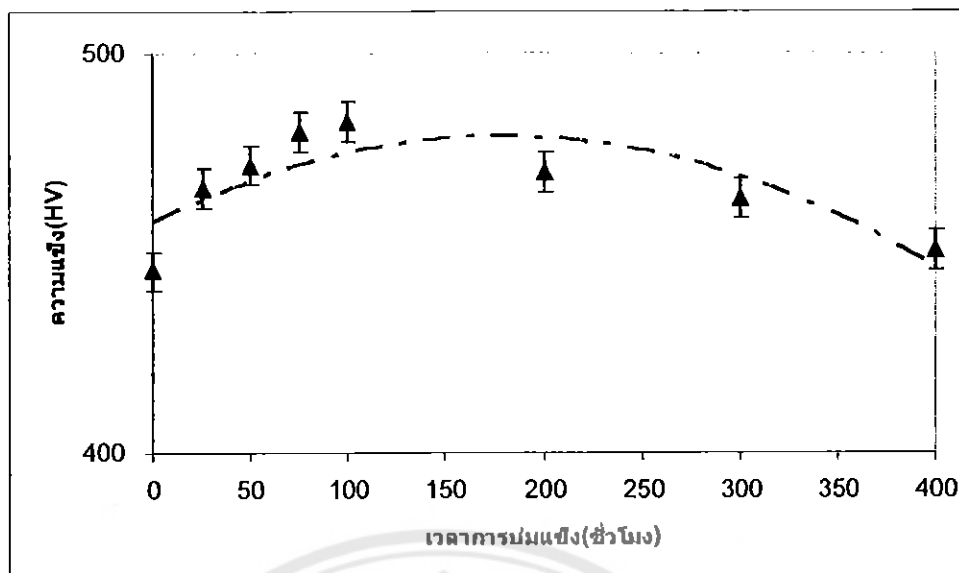
รูปที่ 4.8 แสดงความสัมพันธ์ระหว่างพื้นที่เฉลี่ยของอนุภาคแกมน้ำไฟร์น (Particle size) ในชิ้นงานหลังผ่านการทำละลายที่อุณหภูมิ  $1195^{\circ}\text{C}$  เป็นเวลา 4 ชั่วโมงกับเวลาการบ่มเย็นที่  $845^{\circ}\text{C}$  ทั้ง 7 สภาวะ

จากรูปที่ 4.8 ได้แสดงความสัมพันธ์ระหว่างพื้นที่เฉลี่ยของชิ้นงานหลังผ่านการทำละลายที่อุณหภูมิ  $1195^{\circ}\text{C}$  เป็นเวลา 4 ชั่วโมงกับเวลาการบ่มเย็นที่อุณหภูมิ  $845^{\circ}\text{C}$  ทั้ง 7 สภาวะ ดังนี้ 25, 50, 75, 100, 200, 300 และ 400 ชั่วโมง โดยพบว่าชิ้นงานที่ C มีขนาดของอนุภาคที่เล็กที่สุด เพราะเป็นโครงสร้างของชิ้นงานที่ผ่านการทำละลายเพียงอย่างเดียวเท่านั้น โดยหลังจากนั้นได้ทำการบ่มเย็นชิ้นงานในเวลาที่แตกต่างกัน พบว่าขนาดของอนุภาคแกมน้ำไฟร์นเพิ่มขึ้นตามระยะเวลาในการบ่มเย็น โดยสังเกตได้จากรูปที่ 4.8 ขนาดของอนุภาคแกมน้ำไฟร์นของชิ้นงานนั้นจะเพิ่มขึ้นอย่างรวดเร็วตามระยะเวลาการทำการบ่มเย็น ซึ่งอยู่ในช่วงชิ้นงานที่ C1 – C4 จะพบว่าความชันของกราฟเพิ่มขึ้น โดยหลังจากนั้นในชิ้นงานที่ C5 – C7 ความชันกราฟลดลงและมีแนวโน้มที่จะคงที่ไปตามระยะเวลาในการบ่มเย็นที่เพิ่มขึ้น จากรูปจะสังเกตเห็นว่าชิ้นงานที่ C6 และ C7 มีขนาดที่ใหญ่ที่สุด เนื่องจากมีระยะเวลาในการบ่มเย็นที่นานถึง 300 - 400 ชั่วโมง



รูปที่ 4.9 แสดงความสัมพันธ์ระหว่างสัดส่วนเชิงพื้นที่ของอนุภาคแกรมมาไพร์ม (Area fraction) ในชิ้นงานหลังผ่านการทำละลายที่อุณหภูมิ  $1195^{\circ}\text{C}$  เป็นเวลา 4 ชั่วโมงกับเวลาการบ่มเย็นที่อุณหภูมิ  $845^{\circ}\text{C}$  ทั้ง 7 สภาวะ

จากรูปที่ 4.9 แสดงถึงความสัมพันธ์ระหว่างสัดส่วนเชิงพื้นที่ของชิ้นงานหลังผ่านการทำละลายที่อุณหภูมิ  $1195^{\circ}\text{C}$  เป็นเวลา 4 ชั่วโมงกับเวลาการบ่มเย็นที่อุณหภูมิ  $845^{\circ}\text{C}$  ทั้ง 7 สภาวะดังนี้ 25, 50, 75, 100, 200, 300 และ 400 ชั่วโมง โดยพบว่าชิ้นงานที่ C มีสัดส่วนเชิงพื้นที่ที่น้อยที่สุด โดยหลังจากการทำกรรมวิธี ณ เวลาต่าง ๆ กัน พบร่องรอยจากรูปที่ 4.9 จะสังเกตเห็นว่าชิ้นงานที่ C1 - C4 จะพบว่าสัดส่วนเชิงพื้นที่ของอนุภาคแกรมมาไพร์มมีความชันกราฟที่เพิ่มขึ้นตามระยะเวลาที่ทำการบ่มเย็น โดยตั้งแต่ชิ้นงาน C5 จะเริ่มนีสัดส่วนเชิงพื้นที่ของชิ้นงานที่ค่อนข้างคงที่ไปจนถึงชิ้นงานที่ C7



รูปที่ 4.10 แสดงความสัมพันธ์ระหว่างค่าความแข็งของชิ้นงานหลังผ่านการทำลายที่อุณหภูมิ  $1195^{\circ}\text{C}$  เป็นเวลา 4 ชั่วโมงกับเวลาการบ่มแพลงที่อุณหภูมิ  $845^{\circ}\text{C}$  ทั้ง 7 สภาวะ

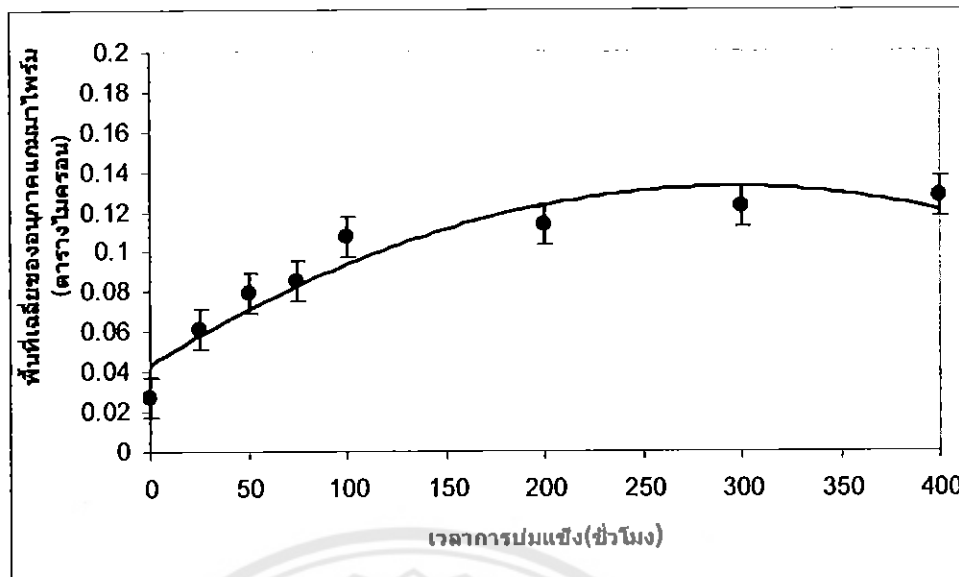
จากรูปที่ 4.10 ได้แสดงถึงความสัมพันธ์ระหว่างค่าความแข็งของชิ้นงานหลังผ่านการทำลายที่อุณหภูมิ  $1195^{\circ}\text{C}$  เป็นเวลา 4 ชั่วโมงกับเวลาการบ่มแพลงที่อุณหภูมิ  $845^{\circ}\text{C}$  ทั้ง 7 สภาวะดังนี้ 25, 50, 75, 100, 200, 300 และ 400 ชั่วโมง พนบว่าชิ้นงานที่ C – C4 มีความซันเพิ่มมากขึ้นอย่างรวดเร็ว จะสังเกตเห็นว่าชิ้นงานที่ C4 นิค่าความแข็งที่สูงที่สุด จากรูปที่ 4.9 พนบว่าชิ้นงานที่ C4 นั้นมีค่าสัดส่วนเชิงพื้นที่ที่ค่อนข้างมากโดยค่าความแข็งของชิ้นงานนั้นจะมีค่าสูงขึ้นเมื่อสัดส่วนเชิงพื้นที่นิคามากขึ้น เพราะนอกจากมีอนุภาคที่ koboy ทำหน้าที่ในการขัดขวางการเคลื่อนที่ของคิสโลเกชัน เป็นจำนวนที่มากแล้ว และแกมน้ำไฟร์นที่อยู่กันอย่างหนาแน่นนั้น ส่งผลให้การที่คิสโลเกชันจะผ่านไปให้ได้นั้นต้องใช้แรงที่มากขึ้น ซึ่งมีผลต่อความแข็งที่เพิ่มสูงขึ้น โดยชิ้นงานที่ C5 เริ่มนิค่าความแข็งที่น้อยลงเมื่อเพิ่มระยะเวลาในการบ่มแพลงให้เพิ่มมากขึ้นเรื่อยๆ จนถึงชิ้น C7 พนบว่าชิ้นงาน C5 – C7 มีค่าใกล้เคียงกัน

**ตารางที่ 4.4 แสดงรูปโครงสร้างจุลภาคของชิ้นงานหลังผ่านการทำลายที่อุณหภูมิ  $1205^{\circ}\text{C}$  เป็นเวลา 4 ชั่วโมงและผ่านการบ่มเย็นที่อุณหภูมิ  $845^{\circ}\text{C}$  ทั้ง 7 สภาวะ**

สภาวะ ที่	$1205^{\circ}\text{C} / 4\text{hr.}(AC)$	สภาวะ ที่	$1205^{\circ}\text{C} / 4\text{hr.}(AC)+\text{Aging}$ $845^{\circ}\text{C}/100\text{hr.}(AC)$
D		D4	
สภาวะ ที่	$1205^{\circ}\text{C} / 4\text{hr.}(AC)+\text{Aging}$ $845^{\circ}\text{C}/25\text{hr.}(AC)$	สภาวะ ที่	$1205^{\circ}\text{C} / 4\text{hr.}(AC)+\text{Aging}$ $845^{\circ}\text{C}/200\text{hr.}(AC)$
D1		D5	
สภาวะ ที่	$1205^{\circ}\text{C} / 4\text{hr.}(AC)+\text{Aging}$ $845^{\circ}\text{C}/50\text{hr.}(AC)$	สภาวะ ที่	$1205^{\circ}\text{C} / 4\text{hr.}(AC)+\text{Aging}$ $845^{\circ}\text{C}/300\text{hr.}(AC)$
D2		D6	
สภาวะ ที่	$1205^{\circ}\text{C} / 4\text{hr.}(AC)+\text{Aging}$ $845^{\circ}\text{C}/75\text{hr.}(AC)$	สภาวะ ที่	$1205^{\circ}\text{C} / 4\text{hr.}(AC)+\text{Aging}$ $845^{\circ}\text{C}/400\text{hr.}(AC)$
D3		D7	

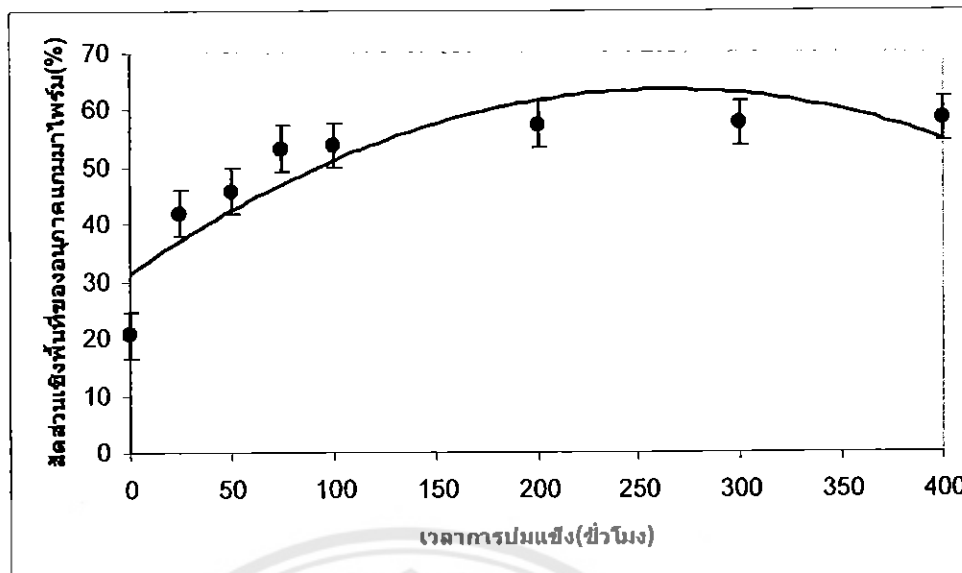
#### **4.5 วิเคราะห์ผลจากโครงสร้างอุลตราของชิ้นงานหลังผ่านการทำลายที่อุณหภูมิ $1205^{\circ}\text{C}$ เป็นเวลา 4 ชั่วโมงและผ่านการบ่มเย็นที่อุณหภูมิ $845^{\circ}\text{C}$ ทั้ง 7 สภาวะ**

จากตารางที่ 4.4 แสดงให้เห็นว่าชิ้นงานที่ผ่านการทำลายที่อุณหภูมิ  $1205^{\circ}\text{C}$  เป็นเวลา 4 ชั่วโมงและผ่านการบ่มเย็นที่อุณหภูมิ  $845^{\circ}\text{C}$  ทั้ง 7 สภาวะ ดังนี้ 25, 50, 75, 100, 200, 300 และ 400 ชั่วโมง โดยจากรูปโครงสร้าง อุลตราของชิ้นงานที่ D พบว่าอนุภาคแกรมนาไฟร์นที่มีขนาดใหญ่จะสามารถละลายเข้ากับเข้าสู่เนื้อพื้น ได้สมบูรณ์มากที่สุดเนื่องจากอุณหภูมิในการทำลายที่มีมากที่สุด จึงสามารถทำให้แกรมนาไฟร์นขนาดใหญ่ละลายเข้าสู่เนื้อพื้น ได้มากกว่าก่อรุ่นชิ้นงานอื่นจากการเพิ่มเวลาในการบ่มเย็นให้นานขึ้นนั้นจะทำให้เกิดการเปลี่ยน แปลงโครงสร้างไปตามเวลา โดยจะสังเกตเห็นว่าชิ้นงานที่ D1 จะเริ่มเกิดการแตกตะกอนของอนุภาคแกรมนาไฟร์นขนาดเล็ก เป็นจำนวนมากและมีการกระจายตัวอย่างสม่ำเสมอทั่วเนื้อพื้น จากรูปโครงสร้างทางอุลตราพบว่า ชิ้นงานที่ D1 - D4 จะมีการแตกตะกอนของอนุภาคแกรมนาไฟร์นขนาดเล็กกระจายตัวในเนื้อพื้น อยู่ทั่วเนื้อพื้นและมีสม่ำเสมอมากยิ่งขึ้น โดยจะสังเกตเห็นว่าขนาดและความหนาแน่นของอนุภาค แกรมนาไฟร์น มีปริมาณเพิ่มมากขึ้นอย่างรวดเร็วในช่วงนี้ หลังจากนั้นจะสังเกตเห็นว่าในชิ้นงานที่ D5 - D7 อนุภาคเริ่มนี้ขนาดที่โตและความหนาแน่นของอนุภาคแกรมนาไฟร์นนี้เพิ่มขึ้นอย่างช้าๆ และมีอัตราที่ค่อนข้างคงที่โดยจะสังเกตเห็นได้จากโครงสร้างพบว่าขนาดและความหนาแน่นของ อนุภาคแกรมนาไฟร์น มีความใกล้เคียงกัน ในแต่ละโครงสร้าง



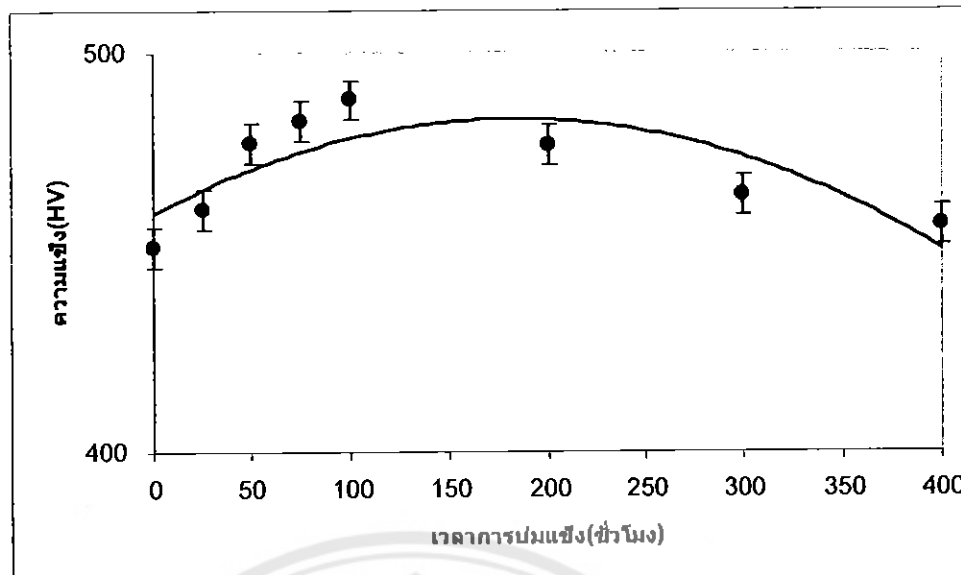
รูปที่ 4.11 แสดงความสัมพันธ์ระหว่างพื้นที่เฉลี่ยของอนุภาคแกมน้ำไฟร์ม (Particle size) ในชิ้นงานหลังผ่านการทำละลายที่อุณหภูมิ  $1205^{\circ}\text{C}$  เป็นเวลา 4 ชั่วโมงกับเวลาการบ่มเย็นที่อุณหภูมิ  $845^{\circ}\text{C}$  ทั้ง 7 สภาวะ

จากรูปที่ 4.11 ได้แสดงความสัมพันธ์ระหว่างพื้นที่เฉลี่ยของชิ้นงานหลังผ่านการทำละลายที่อุณหภูมิ  $1205^{\circ}\text{C}$  เป็นเวลา 4 ชั่วโมงกับเวลาการบ่มเย็นที่อุณหภูมิ  $845^{\circ}\text{C}$  ทั้ง 7 สภาวะ ดังนี้ 25, 50, 75, 100, 200, 300 และ 400 ชั่วโมง โดยพบว่าขนาดแกมน้ำไฟร์มของชุดชิ้นงานที่ผ่านการทำละลายที่อุณหภูมิ  $1205^{\circ}\text{C}$  นั้นมีค่าเฉลี่ยสูงที่สุดของทุกช่วงการบ่มเย็นและมีค่าที่สูงกว่าของชุดชิ้นงานที่ผ่านการทำละลายที่อุณหภูมิ  $1195$ ,  $1185$  และ  $1175^{\circ}\text{C}$  ตามลำดับเรียงลงมา ทั้งนี้เนื่องมาจากอุณหภูมิในการทำละลายที่  $1205^{\circ}\text{C}$  เป็นการทำละลายที่ทำให้โครงสร้างทางจุลภาคของอนุภาคแกมน้ำไฟร์มที่มีขนาดใหญ่ เนื่องจากการใช้งานเป็นระยะเวลานาน ทำให้สมบัติเชิงกลลดลงจะสามารถถลอกขาดเข้าไปสู่เนื้อพื้นได้อย่างสมบูรณ์มากที่สุด ดังนั้นเมื่อนำชิ้นงานไปทำการบ่มเย็นชิ้นงานที่ D1 – D4 จะทำให้เกิดการแตกตะกอนของอนุภาคแกมน้ำไฟร์มใหม่อ่อน化ในเนื้อพื้นอย่างสม่ำเสมอ และมีการเพิ่มน้ำหนักที่รวดเร็วในช่วง D1 – D4 ความชันของกราฟเพิ่มมากขึ้น โดยหลังจากนั้นจะพบว่าในชิ้นงานที่ D5 – D7 นั้นจะมีความชันกราฟลดลง และมีแนวโน้มที่จะคงที่ไปตามระยะเวลาในการบ่มเย็นที่เพิ่มขึ้น หากรูปจะสังเกตเห็นว่าชิ้นงานที่ D7 มีขนาดที่ใหญ่ที่สุด เนื่องมาจากการบ่มเย็นในช่วง 400 ชั่วโมง



รูปที่ 4.12 แสดงความสัมพันธ์ระหว่างสัดส่วนเชิงพื้นที่ของอนุภาคแกนมาไพร์ม (Area fraction) ในชิ้นงานหลังผ่านการทำละลายที่อุณหภูมิ  $1205\text{ }^{\circ}\text{C}$  เป็นเวลา 4 ชั่วโมงกับเวลาการบ่มเย็นที่อุณหภูมิ  $845\text{ }^{\circ}\text{C}$  ทั้ง 7 สภาวะ

จากรูปที่ 4.12 แสดงถึงความสัมพันธ์ระหว่างสัดส่วนเชิงพื้นที่ของชิ้นงานหลังผ่านการทำละลายที่อุณหภูมิ  $1205\text{ }^{\circ}\text{C}$  เป็นเวลา 4 ชั่วโมงกับเวลาการบ่มเย็นที่อุณหภูมิ  $845\text{ }^{\circ}\text{C}$  ทั้ง 7 สภาวะ ดังนี้ 25, 50, 75, 100, 200, 300 และ 400 ชั่วโมง โดยพบว่าชิ้นงานที่ D เป็นชิ้นงานที่ผ่านการทำละลายเพียงอย่างเดียว จึงมีสัดส่วนเชิงพื้นที่ที่น้อยที่สุด หลังจากทำการทำกราฟจะมีความชันเพิ่มขึ้นตามระยะเวลาที่ทำการบ่มเย็น ณ เวลาต่าง ๆ กัน พนwall จากรูปที่ 4.12 นั้นชิ้นงานที่ D1 - D4 graf จะมีความชันเพิ่มขึ้นตามระยะเวลาที่ทำการบ่มเย็น โดยตั้งแต่ชิ้นงาน DS เป็นต้นไป จะเริ่มน้ำสัดส่วนเชิงพื้นที่ของชิ้นงานที่ก่อนข้างคงที่ไปจนถึงชิ้นงานที่ D7



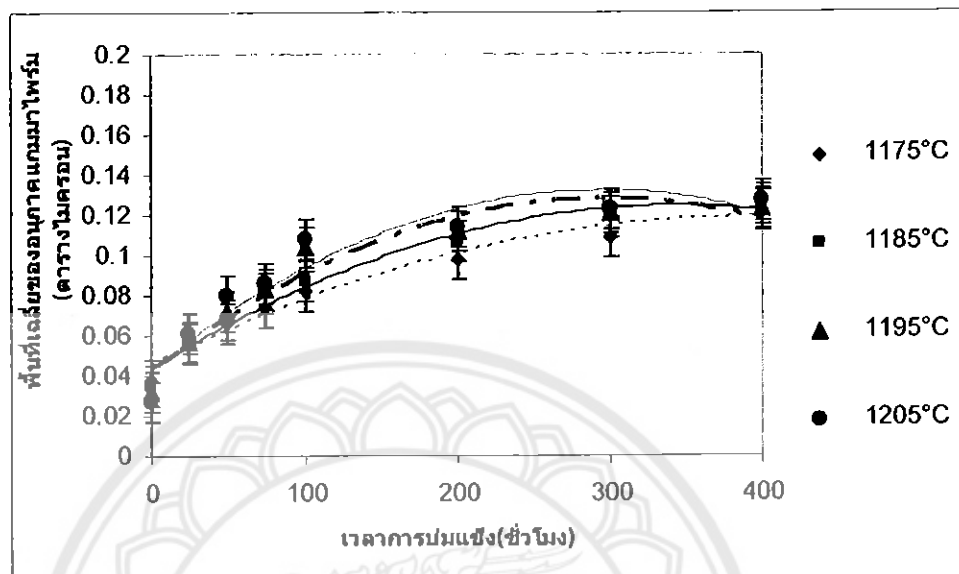
รูปที่ 4.13 แสดงความสัมพันธ์ระหว่างค่าความแข็งของชิ้นงานหลังผ่านการทำลายที่อุณหภูมิ  $1205^{\circ}\text{C}$  เป็นเวลา 4 ชั่วโมงกับเวลาการบ่มแข็งที่อุณหภูมิ  $845^{\circ}\text{C}$  ทั้ง 7 สภาวะ

จากรูปที่ 4.13 ได้แสดงถึงความสัมพันธ์ระหว่างค่าความแข็งของชิ้นงานหลังผ่านการทำลายที่อุณหภูมิ  $1205^{\circ}\text{C}$  เป็นเวลา 4 ชั่วโมงกับเวลาการบ่มแข็งที่อุณหภูมิ  $845^{\circ}\text{C}$  ทั้ง 7 สภาวะดังนี้ 25, 50, 75, 100, 200, 300 และ 400 ชั่วโมง พบว่าชิ้นงานที่ D – D4 มีความซันกราฟเพิ่มมากขึ้นอย่างรวดเร็วสังเกตเห็นว่าชิ้นงานที่ D4 มีค่าความแข็งที่สูงที่สุดเนื่องจากมีสัดส่วนเชิงพื้นที่มากและพื้นที่เคลือบที่หนาแน่น ผลให้ค่าความแข็งนี้ค่าสูงขึ้นเมื่อสัดส่วนเชิงพื้นที่มีจำนวนน้อยเพียงใด แต่เมื่อเวลาผ่านไป ค่าความแข็งจะลดลงอย่างต่อเนื่อง สำหรับชิ้นงานที่ D5 – D7 พบว่าค่าความแข็งลดลงอย่างช้าๆ จนถึงชิ้น D7 พบว่าชิ้นงาน DS – D7 มีค่าใกล้เคียงกัน

ตารางที่ 4.5 แสดงพื้นที่เคลือบของอนุภาคนาโนรูปแบบไมโครไพร์นในชิ้นงานหลังผ่านกรรมวิธีทางความร้อน

ชิ้นงานที่ (No.)	การทำละลายของแป้ง (Solution treatment)	ระยะเวลาการบ่มแป้งที่ 845 °C (Aging)	พื้นที่เคลือบ (ตารางไมครอน)
A	1175 °C / 4hr.(AC)	-	0.0382
A1	1175 °C / 4hr.(AC)	25hr.(AC)	0.05595
A2	1175 °C / 4hr.(AC)	50hr.(AC)	0.0663
A3	1175 °C / 4hr.(AC)	75hr.(AC)	0.0741
A4	1175 °C / 4hr.(AC)	100hr.(AC)	0.0821
A5	1175 °C / 4hr.(AC)	200hr.(AC)	0.0979
A6	1175 °C / 4hr.(AC)	300hr.(AC)	0.1094
A7	1175 °C / 4hr.(AC)	400hr.(AC)	0.1218
B	1185 °C / 4hr.(AC)	-	0.0354
B1	1185 °C / 4hr.(AC)	25hr.(AC)	0.0573
B2	1185 °C / 4hr.(AC)	50hr.(AC)	0.0678
B3	1185 °C / 4hr.(AC)	75hr.(AC)	0.0814
B4	1185 °C / 4hr.(AC)	100hr.(AC)	0.0869
B5	1185 °C / 4hr.(AC)	200hr.(AC)	0.1068
B6	1185 °C / 4hr.(AC)	300hr.(AC)	0.1188
B7	1185 °C / 4hr.(AC)	400hr.(AC)	0.1254
C	1195 °C / 4hr.(AC)	-	0.032
C1	1195 °C / 4hr.(AC)	25hr.(AC)	0.0575
C2	1195 °C / 4hr.(AC)	50hr.(AC)	0.072
C3	1195 °C / 4hr.(AC)	75hr.(AC)	0.083
C4	1195 °C / 4hr.(AC)	100hr.(AC)	0.104
C5	1195 °C / 4hr.(AC)	200hr.(AC)	0.112
C6	1195 °C / 4hr.(AC)	300hr.(AC)	0.1211
C7	1195 °C / 4hr.(AC)	400hr.(AC)	0.1227
D	1205 °C / 4hr.(AC)	-	0.0274
D1	1205 °C / 4hr.(AC)	25hr.(AC)	0.0614
D2	1205 °C / 4hr.(AC)	50hr.(AC)	0.0797
D3	1205 °C / 4hr.(AC)	75hr.(AC)	0.0857
D4	1205 °C / 4hr.(AC)	100hr.(AC)	0.1078
D5	1205 °C / 4hr.(AC)	200hr.(AC)	0.114
D6	1205 °C / 4hr.(AC)	300hr.(AC)	0.123
D7	1205 °C / 4hr.(AC)	400hr.(AC)	0.1274

#### 4.6 วิเคราะห์ผลจากความสัมพันธ์ระหว่างพื้นที่เคลือบของอนุภาคแกมน้ำไฟร์นในชิ้นงานหลังผ่านกรรมวิธีทางความร้อน



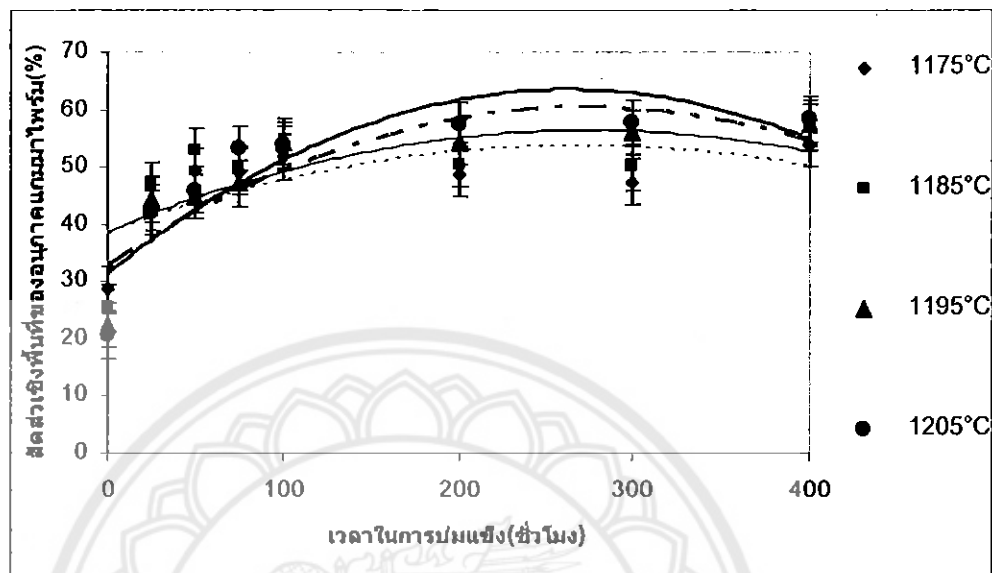
**รูปที่ 4.14** แสดงความสัมพันธ์ระหว่างพื้นที่เคลือบของอนุภาคแกมน้ำไฟร์น (Particle size) ในชิ้นงานหลังผ่านการทำละลาย ณ อุณหภูมิต่าง ๆ เป็นเวลา 4 ชั่วโมงกับเวลาการบ่มเย็นที่อุณหภูมิ  $845^{\circ}\text{C}$  ทั้ง 7 สภาวะ

จากรูปที่ 4.14 แสดงความสัมพันธ์ระหว่างพื้นที่เคลือบของชิ้นงานหลังผ่านการทำละลาย ณ อุณหภูมิต่างๆ เป็นเวลา 4 ชั่วโมงกับเวลาการบ่มเย็นที่อุณหภูมิ  $845^{\circ}\text{C}$  ทั้ง 7 สภาวะ พนวยนาคของเฟสแกมน้ำไฟร์น มีขนาดเปลี่ยนแปลงไปตามระยะเวลาของการบ่มเย็นที่เพิ่มขึ้น โดยจากรูปจะสังเกตได้ว่าขนาดอนุภาคของแกมน้ำไฟร์นมีขนาดที่เพิ่มขึ้นอย่างเห็นได้ชัด ในช่วงเวลาในการบ่มเย็นที่เวลา 25 ชั่วโมง ถึง 100 ชั่วโมง เมื่อเวลาในการบ่มเย็นเพิ่มขึ้นมากกว่า 100 ชั่วโมง จะพบว่าอนุภาคแกมน้ำไฟร์น มีขนาดโตหรือเพิ่มขึ้น และมีอัตราที่ค่อนข้างจะคงที่ เมื่อพิจารณาจากเส้นกราฟทั้งหมด พนวยนาคแกมน้ำไฟร์นของชุดชิ้นงานที่ผ่านการทำละลายที่อุณหภูมิ  $1205^{\circ}\text{C}$  นั้นมีค่าเคลือบสูงที่สุดของทุกช่วงเวลาการบ่มเย็น และมีค่าที่สูงกว่าของชุดชิ้นงานที่ผ่านการทำละลายที่อุณหภูมิ  $1195$ ,  $1185$  และ  $1175^{\circ}\text{C}$  ตามลำดับเรียงลงมา ทั้งนี้เนื่องมาจากอุณหภูมิในการทำละลายที่  $1205^{\circ}\text{C}$  เป็นการทำละลายที่ทำให้โครงสร้างทางจุลภาคของอนุภาคแกมน้ำไฟร์นที่มีขนาดใหญ่ เนื่องจากการใช้งานมาเป็นระยะเวลานาน สามารถละลายเข้าไปสู่เนื้อพื้น ได้อย่างสมบูรณ์มากที่สุด ดังนั้นเมื่อนำชิ้นงานไปทำการบ่มเย็นจึงทำให้เกิดการแตกตะbonของอนุภาคแกมน้ำไฟร์นใหม่ออกมาในเนื้อพื้นอย่างสม่ำเสมอ และมีขนาดที่ค่อนข้างใหญ่กว่าของแบบอื่น ๆ

ตารางที่ 4.6 แสดงสัดส่วนเชิงพื้นที่ของอนุภาคแกรมนาไพร์มหลังผ่านกรรมวิธีทางความร้อน

ชั้นงานที่ (No.)	การทำละลายของเชิง (Solution treatment)	ระยะเวลาการบ่ม เชิงที่ 845 °C (Aging)	สัดส่วนเชิงพื้นที่ (%)
A	1175 °C / 4hr.(AC)	-	28.7
A1	1175 °C / 4hr.(AC)	25hr.(AC)	42.9
A2	1175 °C / 4hr.(AC)	50hr.(AC)	49.3
A3	1175 °C / 4hr.(AC)	75hr.(AC)	49.1
A4	1175 °C / 4hr.(AC)	100hr.(AC)	51.7
A5	1175 °C / 4hr.(AC)	200hr.(AC)	48.8
A6	1175 °C / 4hr.(AC)	300hr.(AC)	47.4
A7	1175 °C / 4hr.(AC)	400hr.(AC)	54
B	1185 °C / 4hr.(AC)	-	25.5
B1	1185 °C / 4hr.(AC)	25hr.(AC)	46.8
B2	1185 °C / 4hr.(AC)	50hr.(AC)	52.7
B3	1185 °C / 4hr.(AC)	75hr.(AC)	49.7
B4	1185 °C / 4hr.(AC)	100hr.(AC)	53.2
B5	1185 °C / 4hr.(AC)	200hr.(AC)	50.4
B6	1185 °C / 4hr.(AC)	300hr.(AC)	50
B7	1185 °C / 4hr.(AC)	400hr.(AC)	56.9
C	1195 °C / 4hr.(AC)	-	22.4
C1	1195 °C / 4hr.(AC)	25hr.(AC)	44.4
C2	1195 °C / 4hr.(AC)	50hr.(AC)	44.8
C3	1195 °C / 4hr.(AC)	75hr.(AC)	47.1
C4	1195 °C / 4hr.(AC)	100hr.(AC)	54.4
C5	1195 °C / 4hr.(AC)	200hr.(AC)	54.4
C6	1195 °C / 4hr.(AC)	300hr.(AC)	56
C7	1195 °C / 4hr.(AC)	400hr.(AC)	57.5
D	1205 °C / 4hr.(AC)	-	20.6
D1	1205 °C / 4hr.(AC)	25hr.(AC)	42
D2	1205 °C / 4hr.(AC)	50hr.(AC)	45.9
D3	1205 °C / 4hr.(AC)	75hr.(AC)	53.2
D4	1205 °C / 4hr.(AC)	100hr.(AC)	53.8
D5	1205 °C / 4hr.(AC)	200hr.(AC)	57.4
D6	1205 °C / 4hr.(AC)	300hr.(AC)	57.7
D7	1205 °C / 4hr.(AC)	400hr.(AC)	58.4

#### 4.7 วิเคราะห์ผลจากความสัมพันธ์ระหว่างสัดส่วนเชิงพื้นที่ของอนุภาคแคนนาไพร์น ในชิ้นงานหลังผ่านกรรมวิธีทางความร้อน



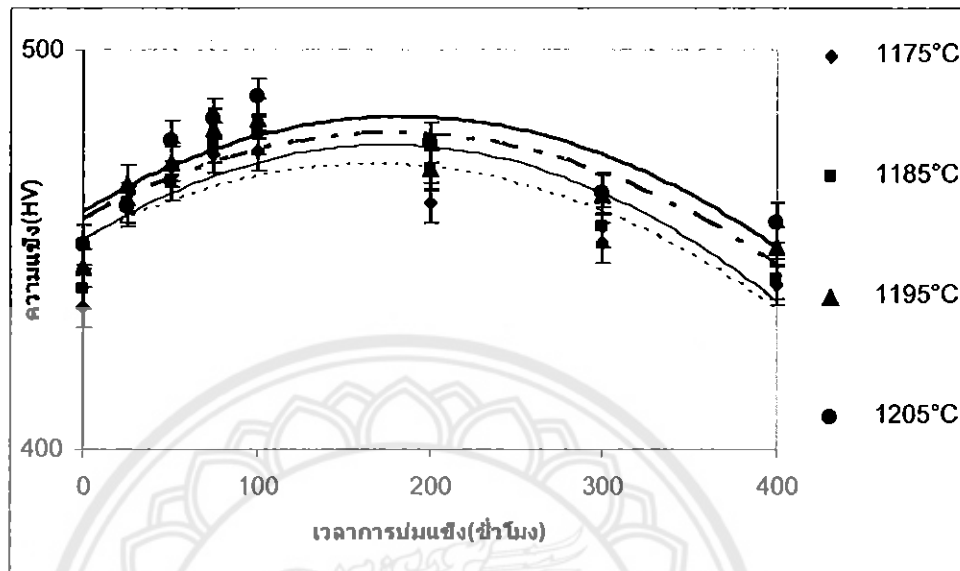
รูปที่ 4.15 แสดงความสัมพันธ์ระหว่างสัดส่วนเชิงพื้นที่ของอนุภาคแคนนาไพร์น (Area fraction) ในชิ้นงานหลังผ่านการทำละลาย ณ อุณหภูมิต่าง ๆ เป็นเวลา 4 ชั่วโมงกับเวลาการบ่มเย็นที่อุณหภูมิ  $845^{\circ}\text{C}$  ทั้ง 7 สภาวะ

จากรูปที่ 4.15 แสดงถึงความสัมพันธ์ระหว่างสัดส่วนเชิงพื้นที่ของชิ้นงานหลังผ่านการทำละลาย ณ อุณหภูมิต่างๆ เป็นเวลา 4 ชั่วโมงกับเวลาการบ่มเย็นที่อุณหภูมิ  $845^{\circ}\text{C}$  ทั้ง 7 สภาวะ โดยพบว่าสัดส่วนเชิงพื้นที่ของอนุภาคแคนนาไพร์น จะมีปริมาณเพิ่มมากขึ้นอย่างรวดเร็วในช่วงระยะเวลาการบ่มเย็นที่ 25 ถึง 100 ชั่วโมง โดยสัดส่วนของอนุภาคแคนนาไพร์นจะมีความซันของกราฟที่ลดลง ตามระยะเวลาในการบ่มเย็นตั้งแต่ช่วง 200 ถึง 400 ชั่วโมง ซึ่งค่าสัดส่วนเชิงพื้นที่ของอนุภาคแคนนาไพร์นในชิ้นงานสุดท้ายภายหลังการบ่มเย็น จะพบว่าชุดชิ้นงานที่ผ่านการทำละลายที่อุณหภูมิ  $1205^{\circ}\text{C}$  มีสัดส่วนเชิงพื้นที่ที่มีค่าเฉลี่ยสูงที่สุด โดยจะเริ่มสูงมากกว่าชิ้นงานชุดอื่นในช่วงที่มีเวลาในการทำการบ่มเย็น 100 ชั่วโมง และสัดส่วนเชิงพื้นที่ของเฟสแคนนาไพร์นจะมีค่าเฉลี่ยลดลงไปเมื่อชิ้นงานนั้นผ่านการทำละลายที่ใช้อุณหภูมิต่ำลงไป ซึ่งเกิดจากโครงสร้างตั้งต้นของชิ้นงานที่ผ่านการทำละลายที่อุณหภูมิ  $1205^{\circ}\text{C}$  มีค่าสัดส่วนเชิงพื้นที่ที่ต่ำที่สุด ดังนั้นมือทำการบ่มเย็นต่อไปเรื่อย ๆ จะทำให้เกิดการแตกตะกอนเพิ่มมากขึ้นอย่างรวดเร็วเมื่อเทียบกับโครงสร้างแบบอื่น ๆ ซึ่งนี้โครงสร้างชุดภาคเริ่มต้นที่มีอนุภาคแคนนาไพร์นแตกตะกอนออกมากกว่าอยู่แล้ว จึงส่งผลให้มีพลังงานภายในสำหรับการผลักดันให้เกิดการแตกตะกอนออกอีกครั้งน้อยกว่า

**ตารางที่ 4.7 แสดงค่าความแข็งของชิ้นงานหลังผ่านกรรมวิธีทางความร้อน**

ชิ้นงานที่ (No.)	การทำอัลloyของแข็ง (Solution treatment)	ระยะเวลาการบ่มแข็งที่ 845 °C (Aging)	ค่าความแข็ง (HV)
A	1175 °C / 4hr.(AC)	-	435.8
A1	1175 °C / 4hr.(AC)	25hr.(AC)	461.9
A2	1175 °C / 4hr.(AC)	50hr.(AC)	470.7
A3	1175 °C / 4hr.(AC)	75hr.(AC)	474.1
A4	1175 °C / 4hr.(AC)	100hr.(AC)	474.8
A5	1175 °C / 4hr.(AC)	200hr.(AC)	461.9
A6	1175 °C / 4hr.(AC)	300hr.(AC)	451.7
A7	1175 °C / 4hr.(AC)	400hr.(AC)	441.2
B	1185 °C / 4hr.(AC)	-	440.3
B1	1185 °C / 4hr.(AC)	25hr.(AC)	461.6
B2	1185 °C / 4hr.(AC)	50hr.(AC)	467.2
B3	1185 °C / 4hr.(AC)	75hr.(AC)	476.9
B4	1185 °C / 4hr.(AC)	100hr.(AC)	479.1
B5	1185 °C / 4hr.(AC)	200hr.(AC)	469.7
B6	1185 °C / 4hr.(AC)	300hr.(AC)	455.9
B7	1185 °C / 4hr.(AC)	400hr.(AC)	442.8
C	1195 °C / 4hr.(AC)	-	445.5
C1	1195 °C / 4hr.(AC)	25hr.(AC)	466.1
C2	1195 °C / 4hr.(AC)	50hr.(AC)	472.1
C3	1195 °C / 4hr.(AC)	75hr.(AC)	480.3
C4	1195 °C / 4hr.(AC)	100hr.(AC)	482.7
C5	1195 °C / 4hr.(AC)	200hr.(AC)	470.4
C6	1195 °C / 4hr.(AC)	300hr.(AC)	463.8
C7	1195 °C / 4hr.(AC)	400hr.(AC)	450.7
D	1205 °C / 4hr.(AC)	-	451.2
D1	1205 °C / 4hr.(AC)	25hr.(AC)	460.9
D2	1205 °C / 4hr.(AC)	50hr.(AC)	477.4
D3	1205 °C / 4hr.(AC)	75hr.(AC)	482.7
D4	1205 °C / 4hr.(AC)	100hr.(AC)	488.2
D5	1205 °C / 4hr.(AC)	200hr.(AC)	477
D6	1205 °C / 4hr.(AC)	300hr.(AC)	464.5
D7	1205 °C / 4hr.(AC)	400hr.(AC)	456.6

#### 4.8 วิเคราะห์ผลจากความสัมพันธ์ระหว่างค่าความแข็งของชิ้นงานหลังผ่านกรรมวิธีทางความร้อน



รูปที่ 4.16 แสดงความสัมพันธ์ระหว่างค่าความแข็งของชิ้นงานหลังผ่านการทำลาย ณ อุณหภูมิต่างๆ เป็นเวลา 4 ชั่วโมงกับเวลาการบ่มแข็งที่อุณหภูมิ  $845^{\circ}\text{C}$  ทั้ง 7 สภาวะ

จากรูปที่ 4.16 แสดงถึงความสัมพันธ์ระหว่างค่าความแข็งของชิ้นงานหลังผ่านการทำลาย ณ อุณหภูมิต่างๆ เป็นเวลา 4 ชั่วโมงกับเวลาการบ่มแข็งที่อุณหภูมิ  $845^{\circ}\text{C}$  ทั้ง 7 สภาวะ โดยพบว่าค่าความแข็งของทุกชิ้นงานมีค่าเพิ่มมากขึ้นในช่วงการบ่มแข็งที่ระยะเวลา  $25 - 100$  ชั่วโมง หลังจากช่วงนี้ค่าความแข็งของชิ้นงานทุกชิ้นงานเริ่มน้อยกว่าที่ลดลงเมื่อระยะเวลาในการบ่มแข็งเพิ่มมากขึ้นไปเรื่อยๆ จนถึง 400 ชั่วโมง โดยจะสังเกตเห็นว่าชิ้นงานทุกชิ้นที่ผ่านการทำลาย ณ อุณหภูมิต่างๆ ที่มีเวลาในการบ่มแข็งเท่ากันนั้น จะมีค่าความแข็งที่ค่อนข้างใกล้เคียงกันมาก โดยสามารถอธิบายได้ว่าการทำลายที่  $1205^{\circ}\text{C}$  เป็นเวลา 4 ชั่วโมงมีความแข็งเกลี้ยงสูงสุด โดยค่าความแข็งที่เพิ่มขึ้นในช่วงการบ่มแข็งที่ระยะเวลา  $25 - 100$  ชั่วโมง เนื่องจากสัดส่วนเชิงพื้นที่ที่มีค่ามากขึ้นตามระยะเวลาในการบ่มแข็งในช่วงเดียวกันดังรูปที่ 4.15 หลังจากนั้นค่าความแข็งเริ่มน้อยลงที่ลดลงทั้งหมด เมื่อเพิ่มระยะเวลาในการบ่มแข็งไปเรื่อยๆ เนื่องจากอนุภาคแคมมาไพร์มมีขนาดที่เพิ่มขึ้นดังแสดงในรูปที่ 4.14 ซึ่งคิดโดยใช้พลาสติกในการเคลื่อนที่ผ่านอนุภาคลดลง

## บทที่ 5

### บทสรุปและข้อเสนอแนะ

#### 5.1 สรุปผลการทดลอง

5.1.1 อุณหภูมิการทำละลายมีผลต่อโครงสร้างชุลภาครสุดท้ายที่ได้มา เมื่อผ่านการบ่มเย็นแล้ว โดยจากผลการทดลองทั้งหมดพบว่าการทำละลายที่  $1205^{\circ}\text{C}$  เป็นเวลา 4 ชั่วโมง นั้นสามารถทำให้ได้โครงสร้างชุลภาครสุดท้ายที่มีความหนาแน่นสม่ำเสมอ และมีการกระจายตัวของแกมน้ำไฟร์น คิที่สุด รวมทั้งส่งผลให้มีขนาดที่ค่อนข้างเหมาะสมและมีความแข็งเกลี่ยสูงสุดอีกด้วย เมื่อเทียบกับชิ้นงานที่ผ่านการทำละลายที่อุณหภูมิต่างๆ

5.1.2 ระยะเวลาในการบ่มเย็นโดยทั่วไปส่งผลต่อการเปลี่ยนแปลงโครงสร้างชุลภาครส์ค่าสัดส่วนเชิงพื้นที่ของเฟสแกมน้ำไฟร์น และขนาดของเฟสแกมน้ำไฟร์นนั้นมีการเปลี่ยนแปลงไปตามทั้งส่งผลให้ค่าความแข็งมีการเปลี่ยนแปลงไปด้วย โดยที่ส่วนใหญ่แล้วค่าสัดส่วนเชิงพื้นที่ของเฟสแกมน้ำไฟร์น และค่าเฉลี่ยเชิงพื้นที่ของอนุภาคแกมน้ำไฟร์นมีการเพิ่มที่รวดเร็วในช่วงการบ่มเย็นที่ 25 – 100 ชั่วโมง หลังจากนั้นค่าจะคงที่หรือลดลงเล็กน้อย

5.1.3 จากภาพโครงสร้างชุลภาครส์ค่าที่ผ่านการทำละลายที่  $1205^{\circ}\text{C}$  เป็นเวลา 4 ชั่วโมง และมีการบ่มเย็นที่  $845^{\circ}\text{C}$  เป็นเวลา 300 ชั่วโมง เป็นชิ้นงานที่มีสัดส่วนเชิงพื้นที่ของอนุภาคแกมน้ำไฟร์น 57.7 % ซึ่งมีค่าที่ใกล้เคียงกับชิ้นงานที่ยังไม่เสื่อมสภาพซึ่งมีสัดส่วนเชิงพื้นที่ของอนุภาคแกมน้ำไฟร์นทั้งหมดในโครงสร้างประมาณ 60 %

5.1.4 เมื่อพิจารณาจากการใช้งานพบว่าโครงสร้างชุลภาครส์ค่าของชิ้นงานและข้อมูล (สัดส่วนเชิงพื้นที่, พื้นที่เฉลี่ย และ ค่าความแข็ง) ของชิ้นงานที่ผ่านกรรมวิธีทางความร้อนแบบต่าง ๆ ทั้งหมดที่กล่าวมาพบว่าโครงสร้างชุลภาครส์ค่าที่ผ่านการทำละลายที่  $1205^{\circ}\text{C}$  เป็นเวลา 4 ชั่วโมง และมีการบ่มเย็นตามอีก 200 – 300 ชั่วโมง จะเป็นกรรมวิธีทางความร้อนที่น่าจะเหมาะสมที่สุดในการปรับปรุงหรือพัฒนาโครงสร้างชุลภาครส์ค่าของโลหะผสมพิเศษเกรดนี้ เพื่อนำกลับมาใช้งานต่อไป

## 5.2 ข้อเสนอแนะ

5.2.1 ศึกษาผลกระทบของการปรับปรุงคุณภาพของกระบวนการทางความร้อนของชุมป์เปอร์ อัลลอยประเทคนิกเกิด เกรด GTD - 111 ที่สภาวะที่แตกต่างกันเพื่อนำไปดัดแปลงหรือประยุกต์ใช้ งานในสภาพแวดล้อมที่แตกต่างกัน

5.2.2 เนื่องจากชิ้นงานด้าวย่างที่ใช้ในโครงการนี้มีราคาสูง จึงทำให้มีข้อจำกัดในการใช้ ปริมาณชิ้นงาน หากต้องการเพิ่มความนำเรื่องดีอีก ก่อโครงการวิจัยในลักษณะนี้ให้มากขึ้นจำเป็นต้อง ใช้ชิ้นงานปริมาณมากขึ้น ซึ่งจะมาพร้อมกับค่าใช้จ่ายที่สูงขึ้นด้วย รวมทั้งเวลาที่ใช้ในการทำวิจัยก็ จะมากขึ้นตามไปด้วย

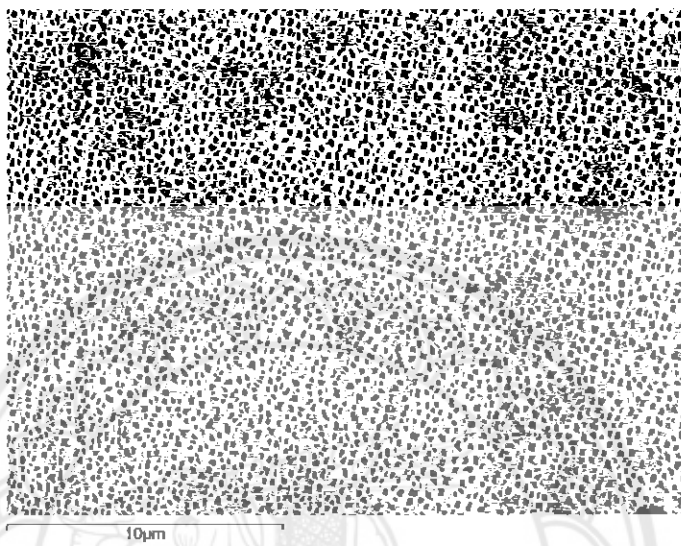


## เอกสารอ้างอิง

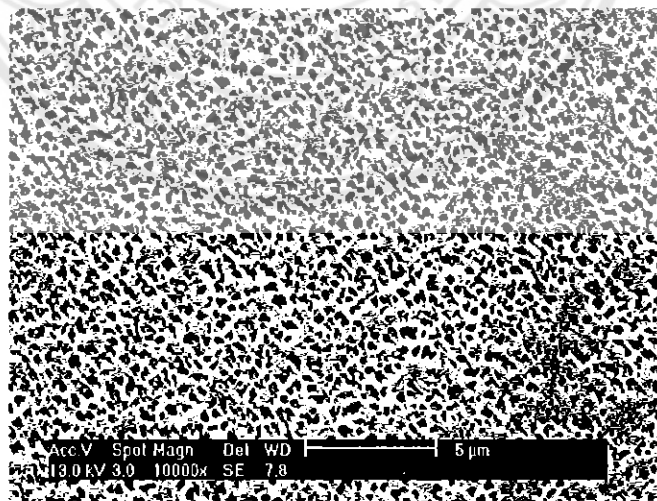
- [1] ปัญญวัชร์ วงศาว. 2548. วิศวกรรมงานโลหะสำหรับการใช้งานที่อุณหภูมิสูง, น. 1 – 2. ในรายงานการสัมมนาทางวิชาการของศูนย์เทคโนโลยีโลหะและวัสดุแห่งชาติ. ศูนย์เทคโนโลยีโลหะและวัสดุแห่งชาติกรุงเทพฯ
- [2] ปิยพร จันทรพาณิชกุล. 2551. การศึกษาถึงผลกระบวนการสภาวะกรรมวิธีทางความร้อนต่อการปรับปรุงโครงสร้างจุลภาคของใบพัดกังหันก๊าซที่ทำด้วยโลหะผสมพิเศษแบบสนิกเกิลเกรด GTD - 111 ที่อุณหภูมิ  $1000^{\circ}\text{C}$ . ปริญญาบัณฑิตวิศวกรรมศาสตรบัณฑิต ภาควิชาวิศวกรรมโลหะการจุฬาลงกรณ์มหาวิทยาลัย
- [3] ศูนย์เทคโนโลยีโลหะและวัสดุแห่งชาติ. 2543. เม็ดประดู่สูญญากาศด้วยกดส่องจุลทรรศน์อิเล็กตรอน. ศูนย์เทคโนโลยีโลหะและวัสดุแห่งชาติ, กรุงเทพฯ
- [4] ประศรี ชัยโจน. 2549. ผลของการรั่นวิธีทางความร้อนต่อการปรับปรุงโครงสร้างทางจุลภาคและความเสียร้าวที่อุณหภูมิสูงของเฟสแแกมนไฟร์นของโลหะผสมนิกเกิล เกรด GTD – 111 ปริญญาบัณฑิต. ปริญญาบัณฑิตวิศวกรรมศาสตรบัณฑิต ภาควิชาวิศวกรรมวัสดุ มหาวิทยาลัยเกษตรศาสตร์
- [5] วิกรม วัชระคุปต์. Physical Metallurgy 1. จุฬาลงกรณ์มหาวิทยาลัย. กรุงเทพฯ
- [6] Image Processing and Analysis in Java. สืบค้นเมื่อ 14สิงหาคม 2553. 2009. จาก <http://rsbweb.nih.gov/ij/index.html>
- [7] Krongtong V., Tuengsook P., Homkrajai W., Nisaratanapron E., Wangyao P., 2005. The effect of re-heat treatments on microstructural restorationin cast nickel superalloy turbine blade. GTD-111 . Journal of Materials and Minerals. 2: 69 -79.



ภาพถ่ายโครงสร้างจุลภาคของชิ้นงานโลหะผสมพิเศษเบสนิกเกิลเกรด GTD – 111 หลังผ่านการทำละลายที่อุณหภูมิ  $1175^{\circ}\text{C}$  เป็นเวลา 4 ชั่วโมงและผ่านการบ่มแข็งที่อุณหภูมิ  $845^{\circ}\text{C}$  ทั้ง 7 สภาวะ ด้วยกล้องจุลทรรศน์อิเล็กตรอนแบบส่องความ (Scanning Electron Microscope) ที่กำลังขยาย  $10,000\times$  เท่า



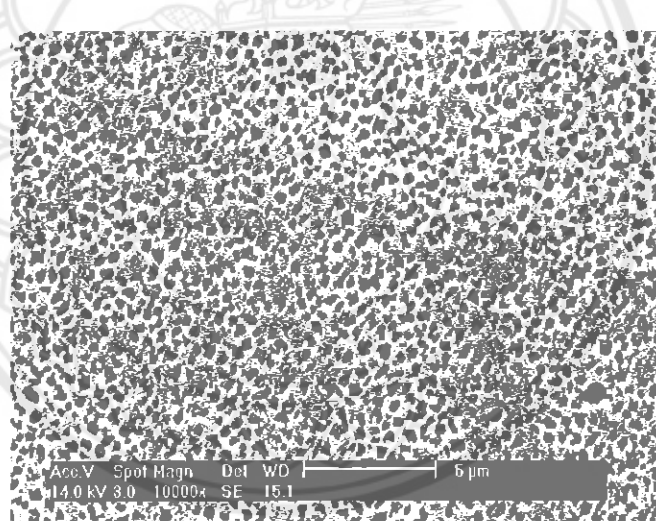
**รูปที่ ก.1** ภาพถ่ายโครงสร้างจุลภาคของชิ้นงานโลหะผสมพิเศษเบสนิกเกิลเกรด GTD – 111 หลังผ่านการทำละลายที่อุณหภูมิ  $1175^{\circ}\text{C}$  เป็นเวลา 4 ชั่วโมง



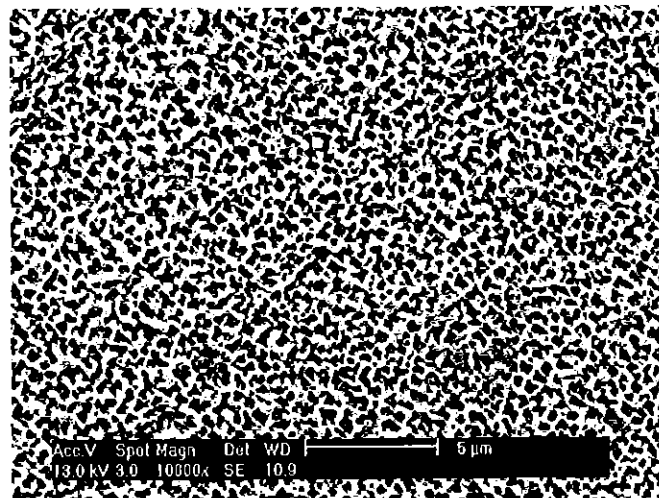
**รูปที่ ก.2** ภาพถ่ายโครงสร้างจุลภาคของชิ้นงานโลหะผสมพิเศษเบสนิกเกิลเกรด GTD – 111 หลังผ่านการทำละลายที่อุณหภูมิ  $1175^{\circ}\text{C}$  เป็นเวลา 4 ชั่วโมงและผ่านการบ่มแข็งที่อุณหภูมิ  $845^{\circ}\text{C}$  เป็นเวลา 25 ชั่วโมง



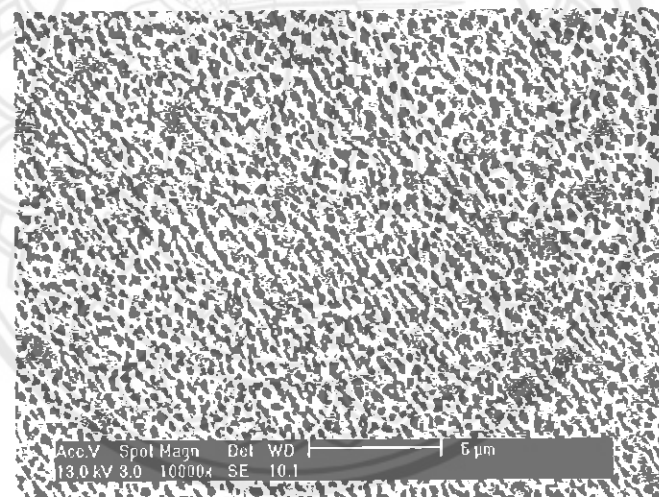
**รูปที่ ก.3** ภาพถ่ายโครงสร้างจุลภาคของชิ้นงานโลหะผสมพิเศษเบสนิกเกิลเกรด GTD – III หลังผ่านการทำลายที่อุณหภูมิ  $1175^{\circ}\text{C}$  เป็นเวลา 4 ชั่วโมงและผ่านการบ่มเย็นที่อุณหภูมิ  $845^{\circ}\text{C}$  เป็นเวลา 50 ชั่วโมง



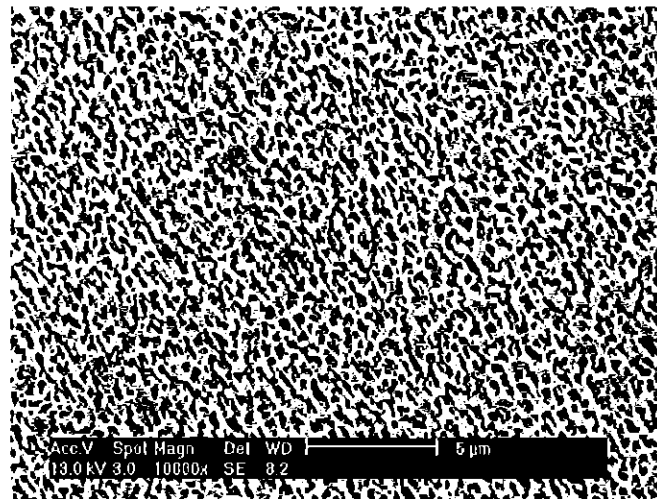
**รูปที่ ก.4** ภาพถ่ายโครงสร้างจุลภาคของชิ้นงานโลหะผสมพิเศษเบสนิกเกิลเกรด GTD – III หลังผ่านการทำลายที่อุณหภูมิ  $1175^{\circ}\text{C}$  เป็นเวลา 4 ชั่วโมงและผ่านการบ่มเย็นที่อุณหภูมิ  $845^{\circ}\text{C}$  เป็นเวลา 75 ชั่วโมง



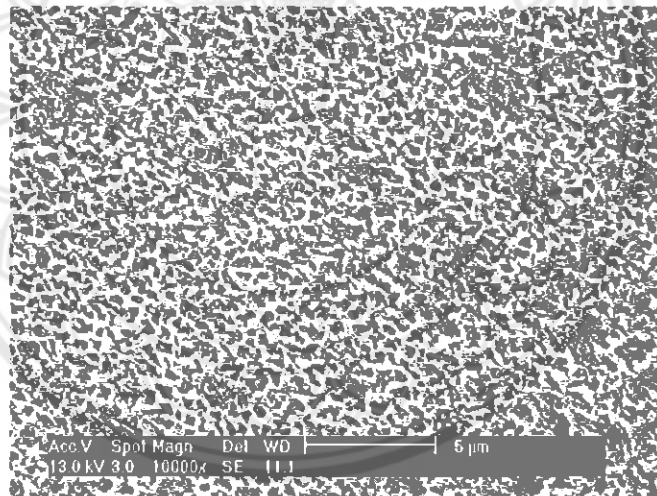
**รูปที่ ก.5** ภาพถ่ายโครงสร้างจุลภาคของชิ้นงานโลหะผสมพิเศษเบสนิกเกิลเกรด GTD – 111 หลังผ่านการทำลายที่อุณหภูมิ  $1175^{\circ}\text{C}$  เป็นเวลา 4 ชั่วโมงและผ่านการบ่มเย็นที่อุณหภูมิ  $845^{\circ}\text{C}$  เป็นเวลา 100 ชั่วโมง



**รูปที่ ก.6** ภาพถ่ายโครงสร้างจุลภาคของชิ้นงานโลหะผสมพิเศษเบสนิกเกิลเกรด GTD – 111 หลังผ่านการทำลายที่อุณหภูมิ  $1175^{\circ}\text{C}$  เป็นเวลา 4 ชั่วโมงและผ่านการบ่มเย็นที่อุณหภูมิ  $845^{\circ}\text{C}$  เป็นเวลา 200 ชั่วโมง



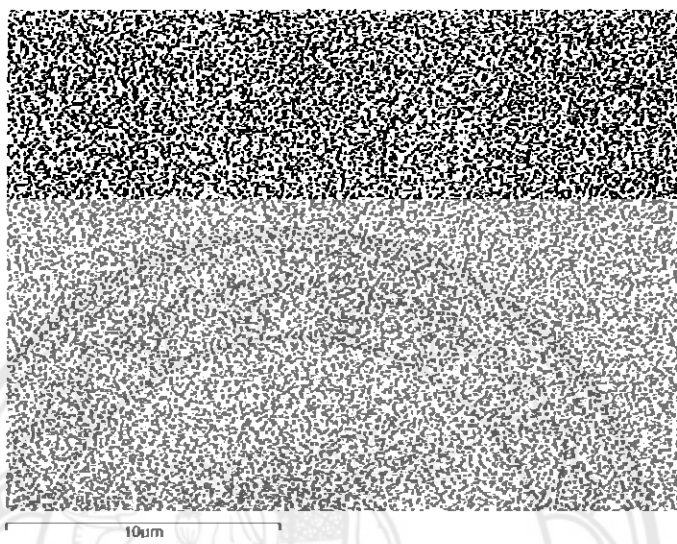
**รูปที่ ก.7** ภาพถ่ายโดยรังสีอิเล็กตรอนของชิ้นงานโลหะผสมพิเศษสนิกเกลเกรด GTD – 111 หลังผ่านการทำลายที่อุณหภูมิ  $1175^{\circ}\text{C}$  เป็นเวลา 4 ชั่วโมงและผ่านการบ่มแข็งที่อุณหภูมิ  $845^{\circ}\text{C}$  เป็นเวลา 300 ชั่วโมง



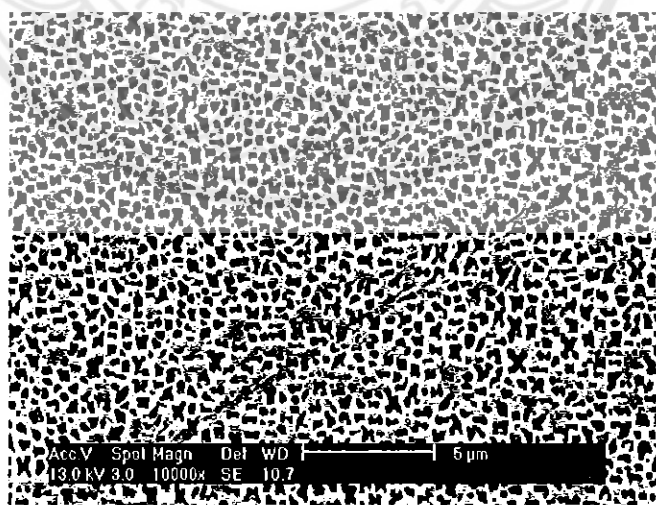
**รูปที่ ก.8** ภาพถ่ายโดยรังสีอิเล็กตรอนของชิ้นงานโลหะผสมพิเศษสนิกเกลเกรด GTD – 111 หลังผ่านการทำลายที่อุณหภูมิ  $1175^{\circ}\text{C}$  เป็นเวลา 4 ชั่วโมงและผ่านการบ่มแข็งที่อุณหภูมิ  $845^{\circ}\text{C}$  เป็นเวลา 400 ชั่วโมง



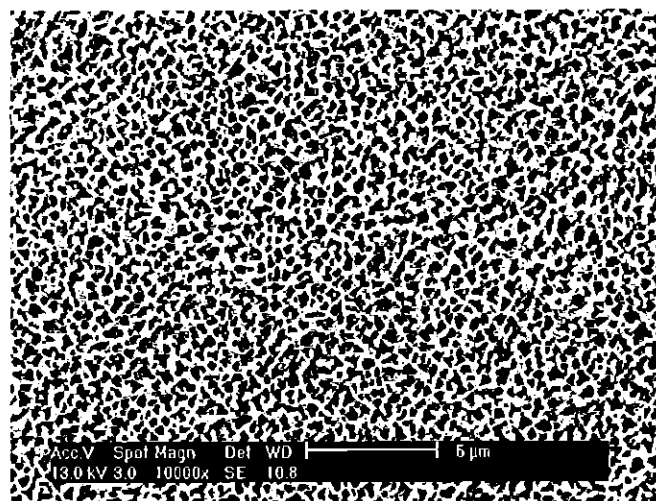
ภาพถ่ายโครงสร้างจุลภาคของชิ้นงานโลหะผสมพิเศษแบบสนิกเกลเกรด GTD – 111 หลังผ่านการทำละลายที่อุณหภูมิ  $1185^{\circ}\text{C}$  เป็นเวลา 4 ชั่วโมงและผ่านการบ่มเย็นที่อุณหภูมิ  $845^{\circ}\text{C}$  ทั้ง 7 สปาระ ด้วยกล้องจุลทรรศน์อิเล็กตรอนแบบส่อง광วัด (Scanning Electron Microscope) ที่กำลังขยาย 10,000 เท่า



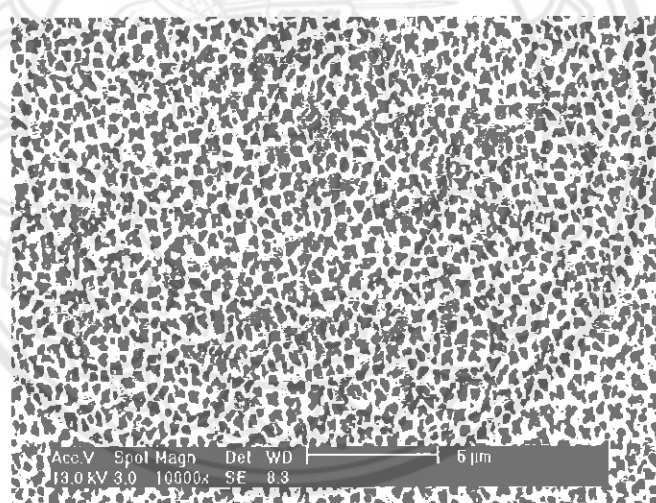
**รูปที่ ๖.๑** ภาพถ่ายโครงสร้างจุลภาคของชิ้นงานโลหะผสมพิเศษแบบสนิกเกลเกรด GTD – 111 หลังผ่านการทำละลายที่อุณหภูมิ  $1185^{\circ}\text{C}$  เป็นเวลา 4 ชั่วโมง



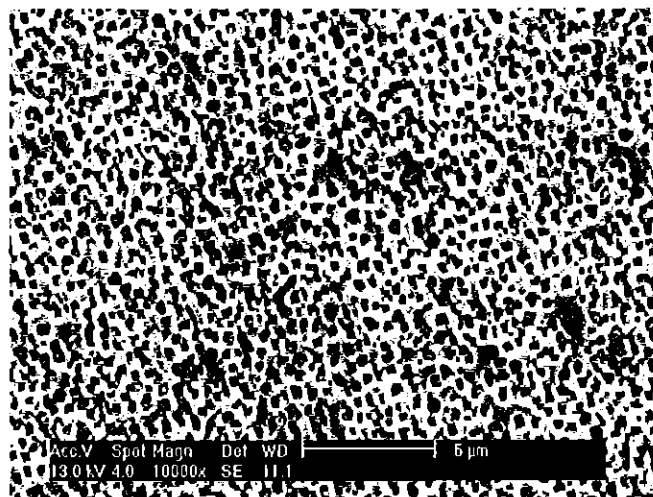
**รูปที่ ๖.๒** ภาพถ่ายโครงสร้างจุลภาคของชิ้นงานโลหะผสมพิเศษแบบสนิกเกลเกรด GTD – 111 หลังผ่านการทำละลายที่อุณหภูมิ  $1185^{\circ}\text{C}$  เป็นเวลา 4 ชั่วโมงและผ่านการบ่มเย็นที่อุณหภูมิ  $845^{\circ}\text{C}$  เป็นเวลา 25 ชั่วโมง



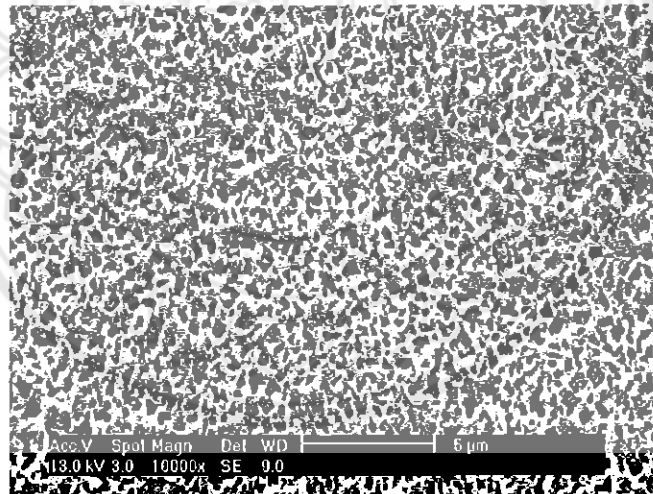
**รูปที่ ข.3** ภาพถ่ายໂຄງສ້າງຈຸລກາຄຂອງໜຶ່ງນາງໄລ້ຮະສນພີເຫຍແສນິກເກີລເກຣດ GTD – 111 ຫລ້ວ ຜ່ານການທຳລະລາຍທີ່ອຸ່ນຫຼຸມ  $1185^{\circ}\text{C}$  ເປັນເວລາ 4 ຊົ່ວໂມງແລະ ຜ່ານການນໍມແໜ່ງທີ່ອຸ່ນຫຼຸມ  $845^{\circ}\text{C}$  ເປັນເວລາ 50 ຊົ່ວໂມງ



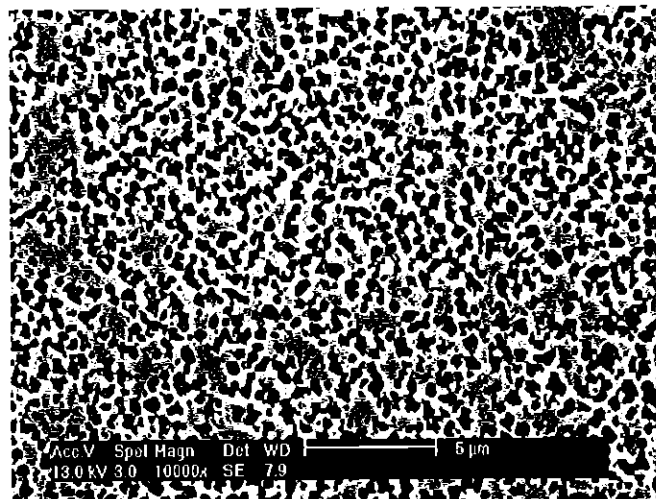
**รูปที่ ข.4** ภาพถ่ายໂຄງສ້າງຈຸລກາຄຂອງໜຶ່ງນາງໄລ້ຮະສນພີເຫຍແສນິກເກີລເກຣດ GTD – 111 ຫລ້ວ ຜ່ານການທຳລະລາຍທີ່ອຸ່ນຫຼຸມ  $1185^{\circ}\text{C}$  ເປັນເວລາ 4 ຊົ່ວໂມງແລະ ຜ່ານການນໍມແໜ່ງທີ່ອຸ່ນຫຼຸມ  $845^{\circ}\text{C}$  ເປັນເວລາ 75 ຊົ່ວໂມງ



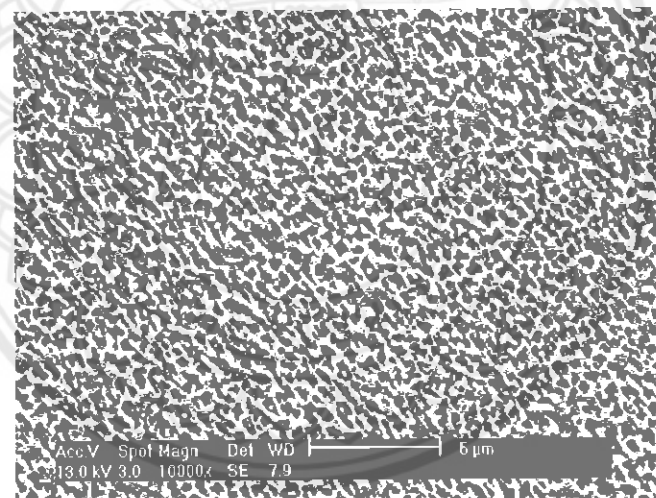
**รูปที่ ข.5** ภาพถ่ายโครงสร้างจุลภาคของชิ้นงานโลหะผสมพิเศษเบสนิกเกิลเกรด GTD – 111 หลังผ่านการทำลายที่อุณหภูมิ  $1185^{\circ}\text{C}$  เป็นเวลา 4 ชั่วโมงและผ่านการบ่มเย็นที่อุณหภูมิ  $845^{\circ}\text{C}$  เป็นเวลา 100 ชั่วโมง



**รูปที่ ข.6** ภาพถ่ายโครงสร้างจุลภาคของชิ้นงานโลหะผสมพิเศษเบสนิกเกิลเกรด GTD – 111 หลังผ่านการทำลายที่อุณหภูมิ  $1185^{\circ}\text{C}$  เป็นเวลา 4 ชั่วโมงและผ่านการบ่มเย็นที่อุณหภูมิ  $845^{\circ}\text{C}$  เป็นเวลา 200 ชั่วโมง



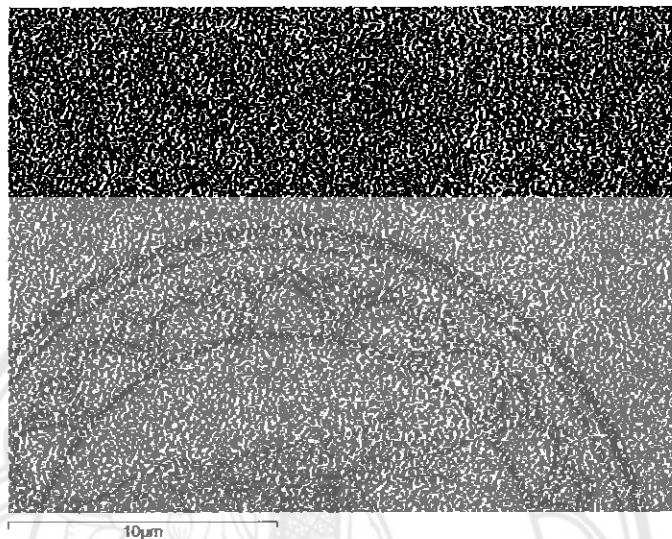
**รูปที่ ข.7** ภาพถ่ายโครงสร้างจุลภาคของชิ้นงานโลหะผสมพิเศษเบสนิกเกิลเกรด GTD – 111 หลังผ่านการทำลายที่อุณหภูมิ  $1185^{\circ}\text{C}$  เป็นเวลา 4 ชั่วโมงและผ่านการบ่มแข็งที่อุณหภูมิ  $845^{\circ}\text{C}$  เป็นเวลา 300 ชั่วโมง



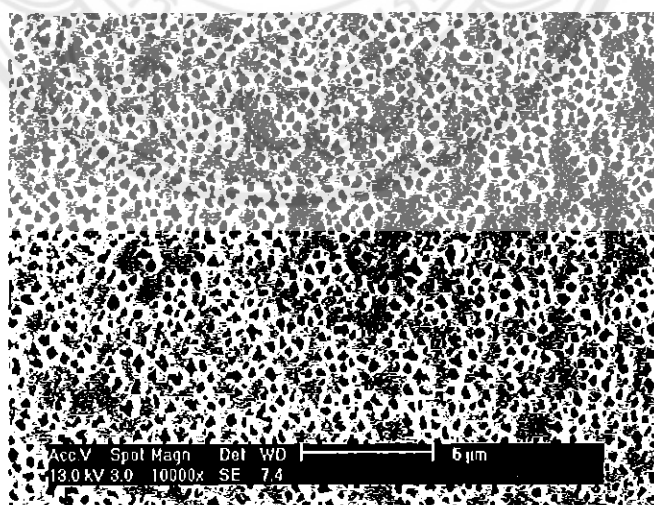
**รูปที่ ข.8** ภาพถ่ายโครงสร้างจุลภาคของชิ้นงานโลหะผสมพิเศษเบสนิกเกิลเกรด GTD – 111 หลังผ่านการทำลายที่อุณหภูมิ  $1185^{\circ}\text{C}$  เป็นเวลา 4 ชั่วโมงและผ่านการบ่มแข็งที่อุณหภูมิ  $845^{\circ}\text{C}$  เป็นเวลา 400 ชั่วโมง



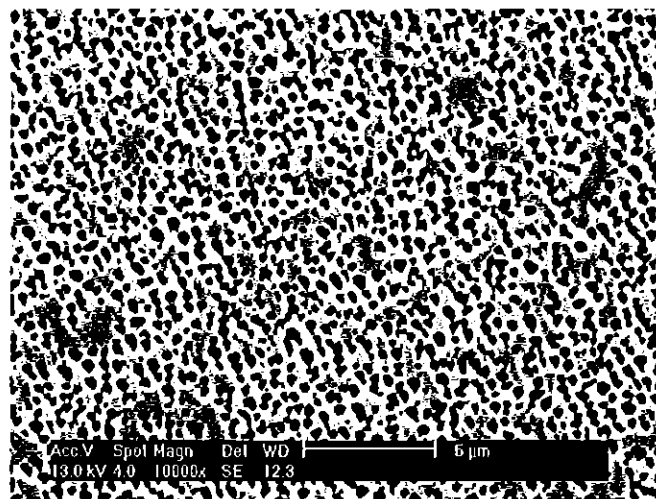
ภาพถ่ายโครงสร้างจุลภาคของชิ้นงานโลหะผสมพิเศษเบนซินิกเกิลเกรด GTD – 111 หลังผ่านการทำละลายที่อุณหภูมิ  $1195^{\circ}\text{C}$  เป็นเวลา 4 ชั่วโมงและผ่านการบ่มแข็งที่อุณหภูมิ  $845^{\circ}\text{C}$  ทั้ง 7 สกวาวะ ด้วยกล้องจุลทรรศน์อิเล็กตรอนแบบส่อง阔度 (Scanning Electron Microscope) ที่กำลังขยาย 10,000 เท่า



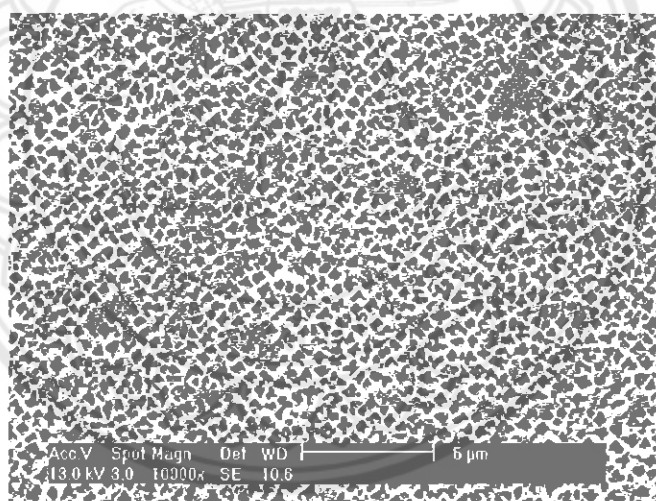
**รูปที่ ก.1** ภาพถ่ายโครงสร้างจุลภาคของชิ้นงานโลหะผสมพิเศษเบนซินิกเกิลเกรด GTD – 111 หลังผ่านการทำละลายที่อุณหภูมิ  $1195^{\circ}\text{C}$  เป็นเวลา 4 ชั่วโมง



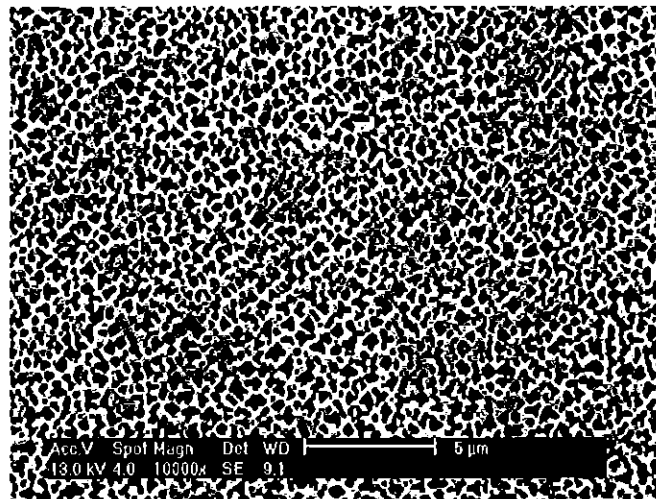
**รูปที่ ก.2** ภาพถ่ายโครงสร้างจุลภาคของชิ้นงานโลหะผสมพิเศษเบนซินิกเกิลเกรด GTD – 111 หลังผ่านการทำละลายที่อุณหภูมิ  $1195^{\circ}\text{C}$  เป็นเวลา 4 ชั่วโมงและผ่านการบ่มแข็งที่อุณหภูมิ  $845^{\circ}\text{C}$  เป็นเวลา 25 ชั่วโมง



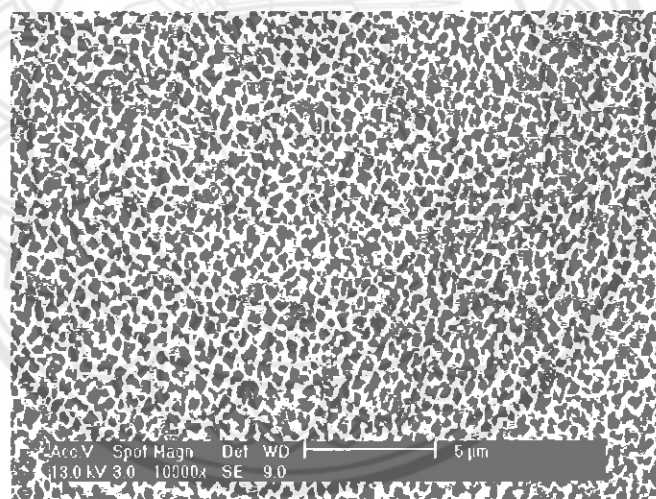
**รูปที่ ค.3** ภาพถ่ายโครงสร้างจุลภาคของชิ้นงานโลหะผสมพิเศษเบสนิกเกิลเกรด GTD – 111 หลังผ่านการทำละลายที่อุณหภูมิ  $1195^{\circ}\text{C}$  เป็นเวลา 4 ชั่วโมงและผ่านการบ่มเย็นที่อุณหภูมิ  $845^{\circ}\text{C}$  เป็นเวลา 50 ชั่วโมง



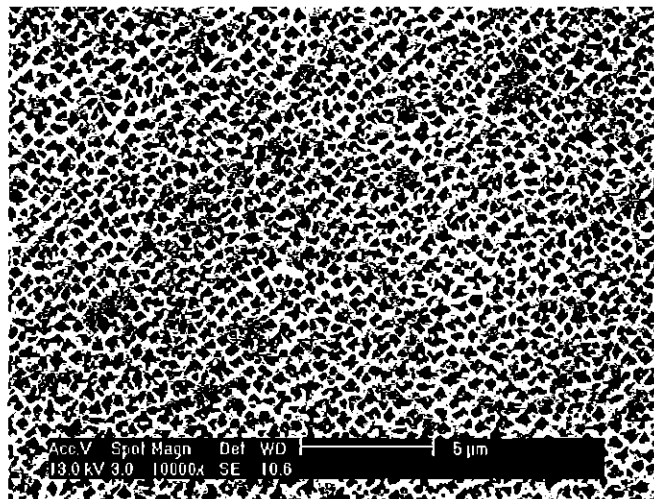
**รูปที่ ค.4** ภาพถ่ายโครงสร้างจุลภาคของชิ้นงานโลหะผสมพิเศษเบสนิกเกิลเกรด GTD – 111 หลังผ่านการทำละลายที่อุณหภูมิ  $1195^{\circ}\text{C}$  เป็นเวลา 4 ชั่วโมงและผ่านการบ่มเย็นที่อุณหภูมิ  $845^{\circ}\text{C}$  เป็นเวลา 75 ชั่วโมง



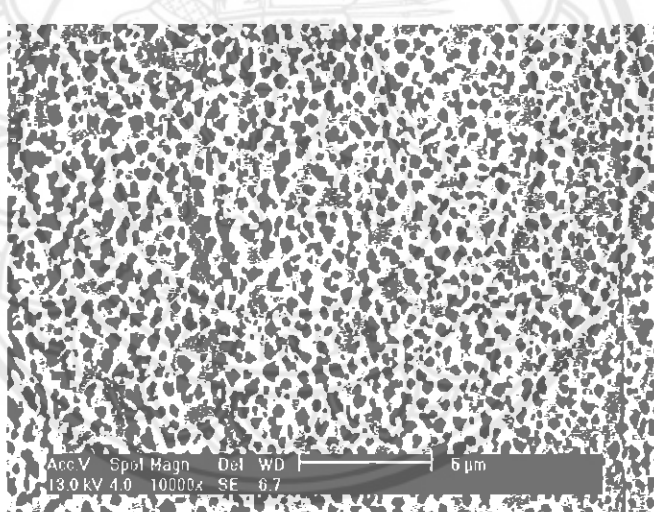
**รูปที่ ก.5** ภาพถ่ายโครงสร้างจุลภาคของชิ้นงานโลหะผสมพิเศษเบสニกเกิลเกรด GTD – 111 หลังผ่านการทำลายที่อุณหภูมิ  $1195^{\circ}\text{C}$  เป็นเวลา 4 ชั่วโมงและผ่านการบ่มแข็งที่อุณหภูมิ  $845^{\circ}\text{C}$  เป็นเวลา 100 ชั่วโมง



**รูปที่ ก.6** ภาพถ่ายโครงสร้างจุลภาคของชิ้นงานโลหะผสมพิเศษเบสニกเกิลเกรด GTD – 111 หลังผ่านการทำลายที่อุณหภูมิ  $1195^{\circ}\text{C}$  เป็นเวลา 4 ชั่วโมงและผ่านการบ่มแข็งที่อุณหภูมิ  $845^{\circ}\text{C}$  เป็นเวลา 200 ชั่วโมง



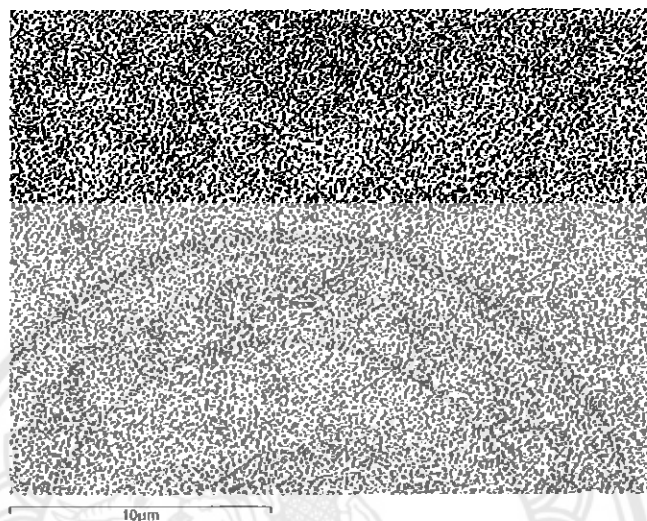
**รูปที่ ก.7** ภาพถ่ายໂຄຣສ້າງຈຸດການຂອງໜຶ່ງງານໄລ້ຮັບສິນພີເຄຍແສນິກເກີລເກຣດ GTD – 111 ລັ້ງ  
ຜ່ານການທຳລະລາຍທີ່ອຸປະກູນ  $1195^{\circ}\text{C}$  ເປັນເວລາ 4 ຊົ່ວໂມງແລະຜ່ານການປິ່ນແຂ່ງທີ່ອຸປະກູນ  
 $845^{\circ}\text{C}$  ເປັນເວລາ 300 ຊົ່ວໂມງ



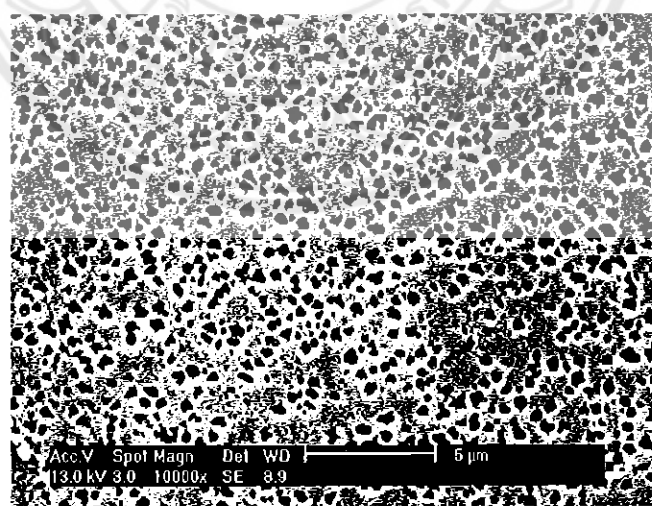
**รูปที่ ก.8** ภาพถ่ายໂຄຣສ້າງຈຸດການຂອງໜຶ່ງງານໄລ້ຮັບສິນພີເຄຍແສນິກເກີລເກຣດ GTD – 111 ລັ້ງ  
ຜ່ານການທຳລະລາຍທີ່ອຸປະກູນ  $1195^{\circ}\text{C}$  ເປັນເວລາ 4 ຊົ່ວໂມງແລະຜ່ານການປິ່ນແຂ່ງທີ່ອຸປະກູນ  
 $845^{\circ}\text{C}$  ເປັນເວລາ 400 ຊົ່ວໂມງ



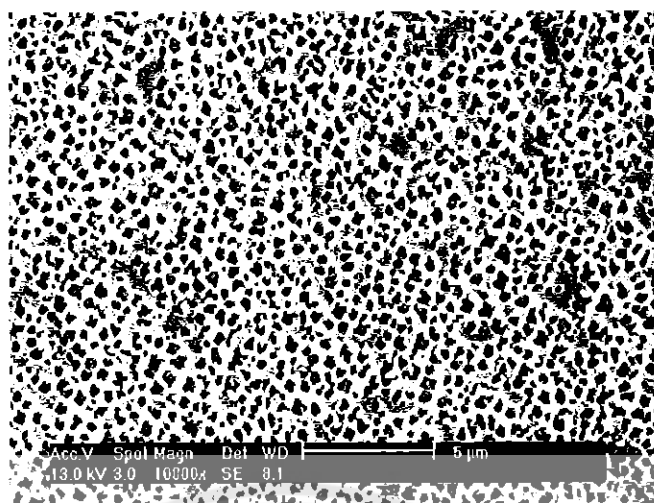
ภาพถ่ายโครงสร้างจุลภาคของชิ้นงานโลหะผสมพิเศษเบสนิกเกิลเกรด GTD – 111 หลังผ่านการทำละลายที่อุณหภูมิ  $1205^{\circ}\text{C}$  เป็นเวลา 4 ชั่วโมงและผ่านการบ่มแข็งที่อุณหภูมิ  $845^{\circ}\text{C}$  ทั้ง 7 สภาวะ ด้วยกล้องจุลทรรศน์อิเล็กตรอนแบบส่องความ (Scanning Electron Microscope) ที่กำลังขยาย 10,000 เท่า



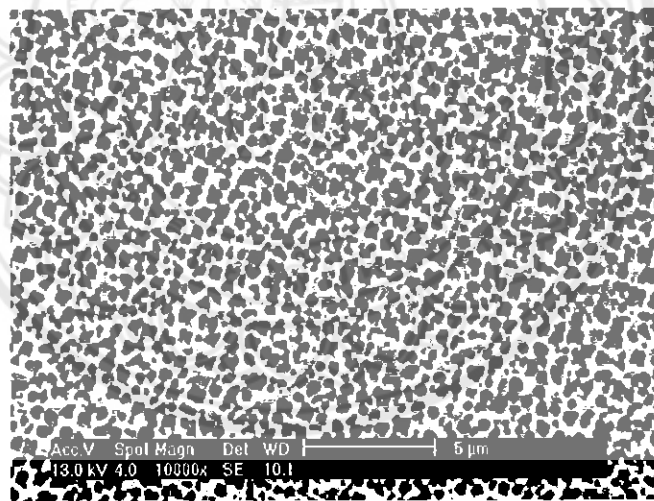
**รูปที่ 4.1** ภาพถ่ายโครงสร้างจุลภาคของชิ้นงานโลหะผสมพิเศษเบสนิกเกิลเกรด GTD – 111 หลังผ่านการทำละลายที่อุณหภูมิ  $1205^{\circ}\text{C}$



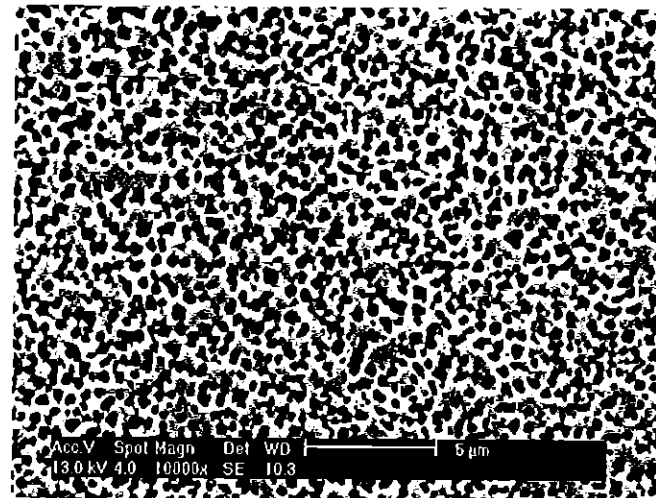
**รูปที่ 4.2** ภาพถ่ายโครงสร้างจุลภาคของชิ้นงานโลหะผสมพิเศษเบสนิกเกิลเกรด GTD – 111 หลังผ่านการทำละลายที่อุณหภูมิ  $1205^{\circ}\text{C}$  เป็นเวลา 4 ชั่วโมงและผ่านการบ่มแข็งที่อุณหภูมิ  $845^{\circ}\text{C}$  เป็นเวลา 25 ชั่วโมง



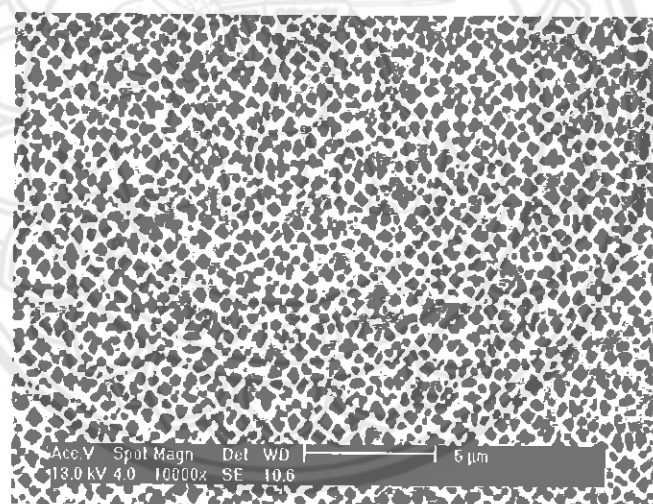
**รูปที่ 4.3** ภาพถ่ายโดยจ้องสร้างจุลภาคของชิ้นงานโลหะผสมพิเศษเบสนิกเกิลเกรด GTD – 111 หลังผ่านการทำละลายที่อุณหภูมิ  $1205^{\circ}\text{C}$  เป็นเวลา 4 ชั่วโมงและผ่านการบ่มเย็นที่อุณหภูมิ  $845^{\circ}\text{C}$  เป็นเวลา 50 ชั่วโมง



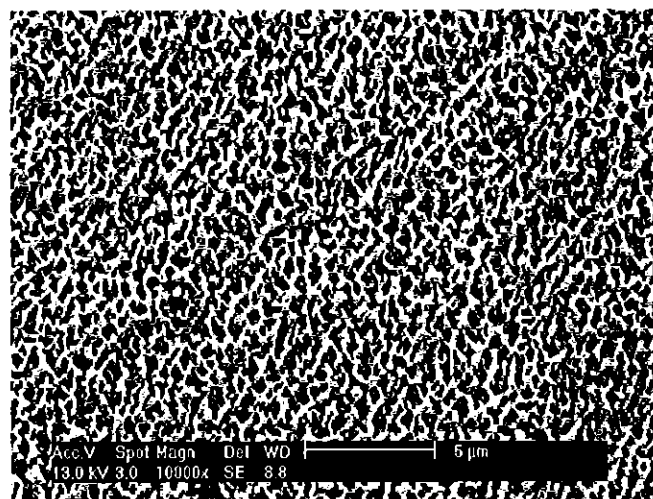
**รูปที่ 4.4** ภาพถ่ายโดยจ้องสร้างจุลภาคของชิ้นงานโลหะผสมพิเศษเบสนิกเกิลเกรด GTD – 111 หลังผ่านการทำละลายที่อุณหภูมิ  $1205^{\circ}\text{C}$  เป็นเวลา 4 ชั่วโมงและผ่านการบ่มเย็นที่อุณหภูมิ  $845^{\circ}\text{C}$  เวลา 75 ชั่วโมง



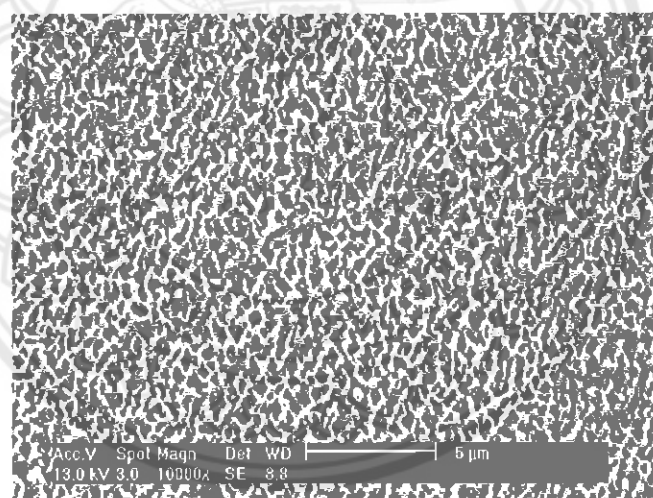
**รูปที่ 4.5** ภาพถ่ายໂຄງສ້າງຈຸດການຂອງໜຶ່ງຈານ ໂລທະພສນພີເຄຍເບສັນກົກເກີລເກຣດ GTD – 111 ຫລ້ວ  
ຜ່ານການທຳລະລາຍທີ່ອຸພ້ທຸກນີ້  $1205^{\circ}\text{C}$  ເປັນເວລາ 4 ຊົ່ວໂມງແລະຜ່ານການນໍມແໜ້ງທີ່ອຸພ້ທຸກນີ້  
 $845^{\circ}\text{C}$  ເປັນເວລາ 100 ຊົ່ວໂມງ



**รูปที่ 4.6** ภาพถ่ายໂຄງສ້າງຈຸດການຂອງໜຶ່ງຈານ ໂລທະພສນພີເຄຍເບສັນກົກເກີລເກຣດ GTD – 111 ຫລ້ວ  
ຜ່ານການທຳລະລາຍທີ່ອຸພ້ທຸກນີ້  $1205^{\circ}\text{C}$  ເປັນເວລາ 4 ຊົ່ວໂມງແລະຜ່ານການນໍມແໜ້ງທີ່ອຸພ້ທຸກນີ້  
 $845^{\circ}\text{C}$  ເປັນເວລາ 200 ຊົ່ວໂມງ

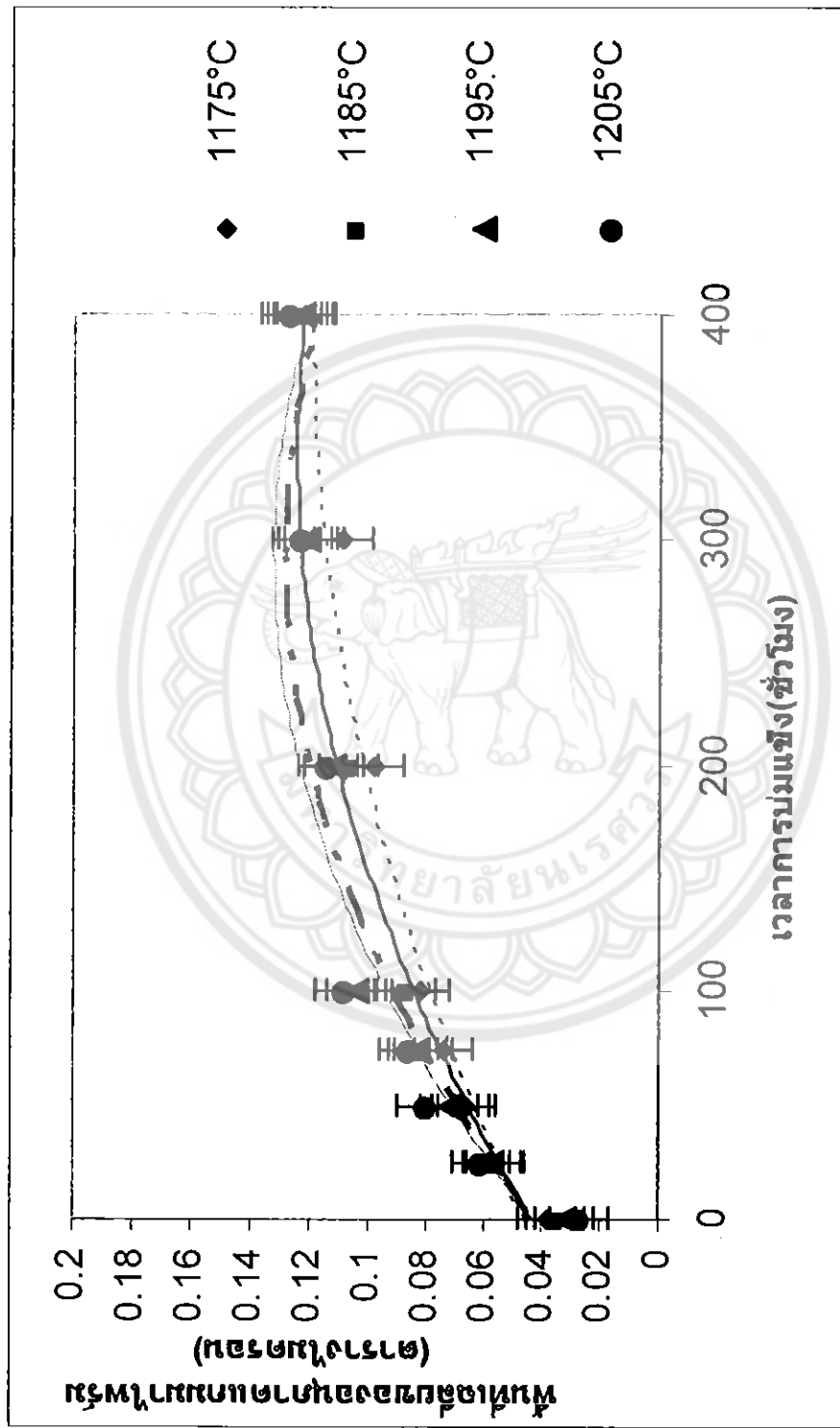


**รูปที่ ๔.๗** ภาพถ่ายโดยรังสีอิเล็กตรอนแสดงรูปแบบของชิ้นงานโลหะผสมพิเศษเบสนิกเกลเกรด GTD – 111 หลังผ่านการทำลายที่อุณหภูมิ  $1205^{\circ}\text{C}$  เป็นเวลา 4 ชั่วโมงและผ่านการบ่มเย็นที่อุณหภูมิ  $845^{\circ}\text{C}$  เป็นเวลา 300 ชั่วโมง

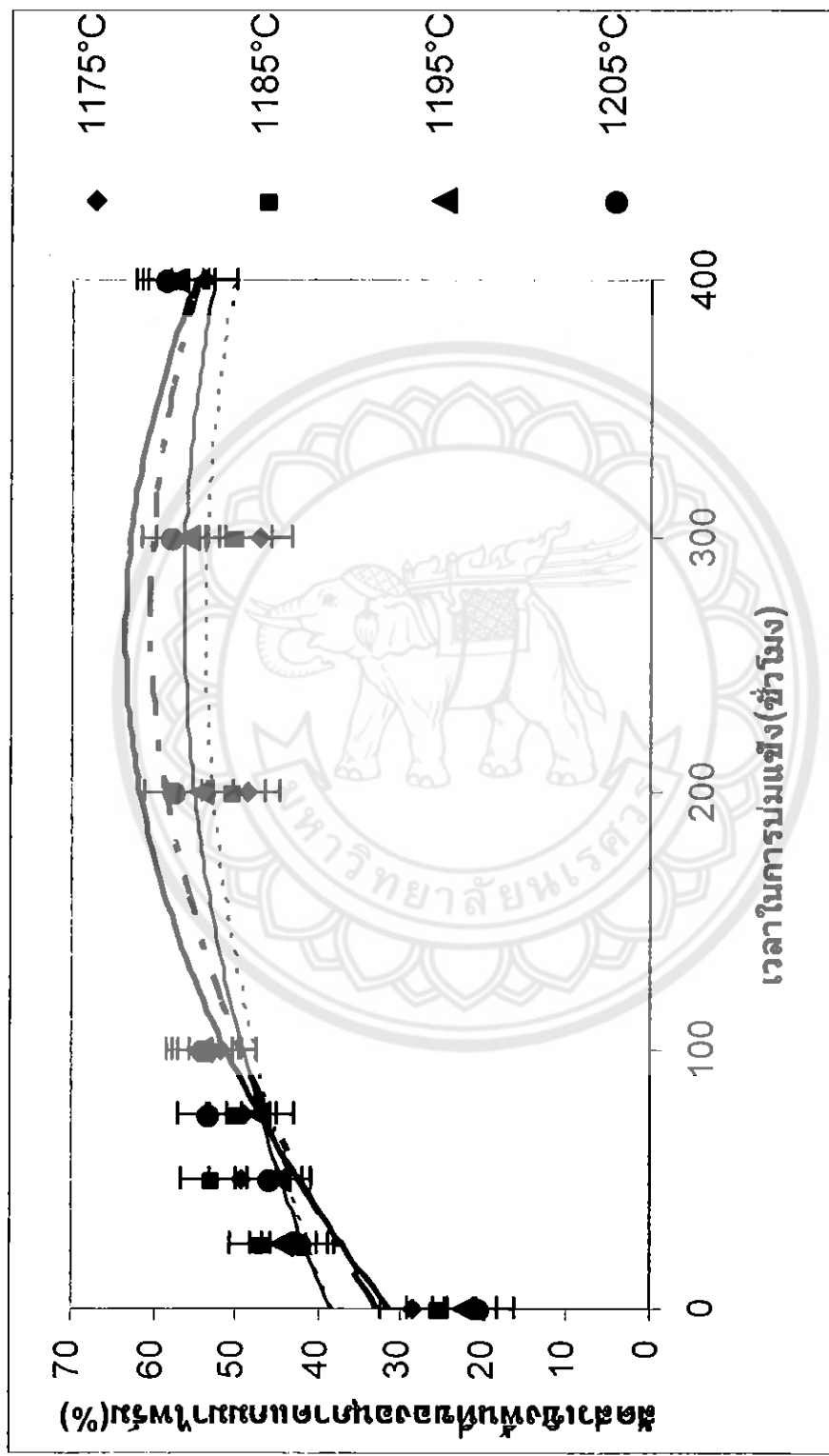


**รูปที่ ๔.๘** ภาพถ่ายโดยรังสีอิเล็กตรอนแสดงรูปแบบของชิ้นงานโลหะผสมพิเศษเบสนิกเกลเกรด GTD – 111 หลังผ่านการทำลายที่อุณหภูมิ  $1205^{\circ}\text{C}$  เป็นเวลา 4 ชั่วโมงและผ่านการบ่มเย็นที่อุณหภูมิ  $845^{\circ}\text{C}$  เป็นเวลา 400 ชั่วโมง



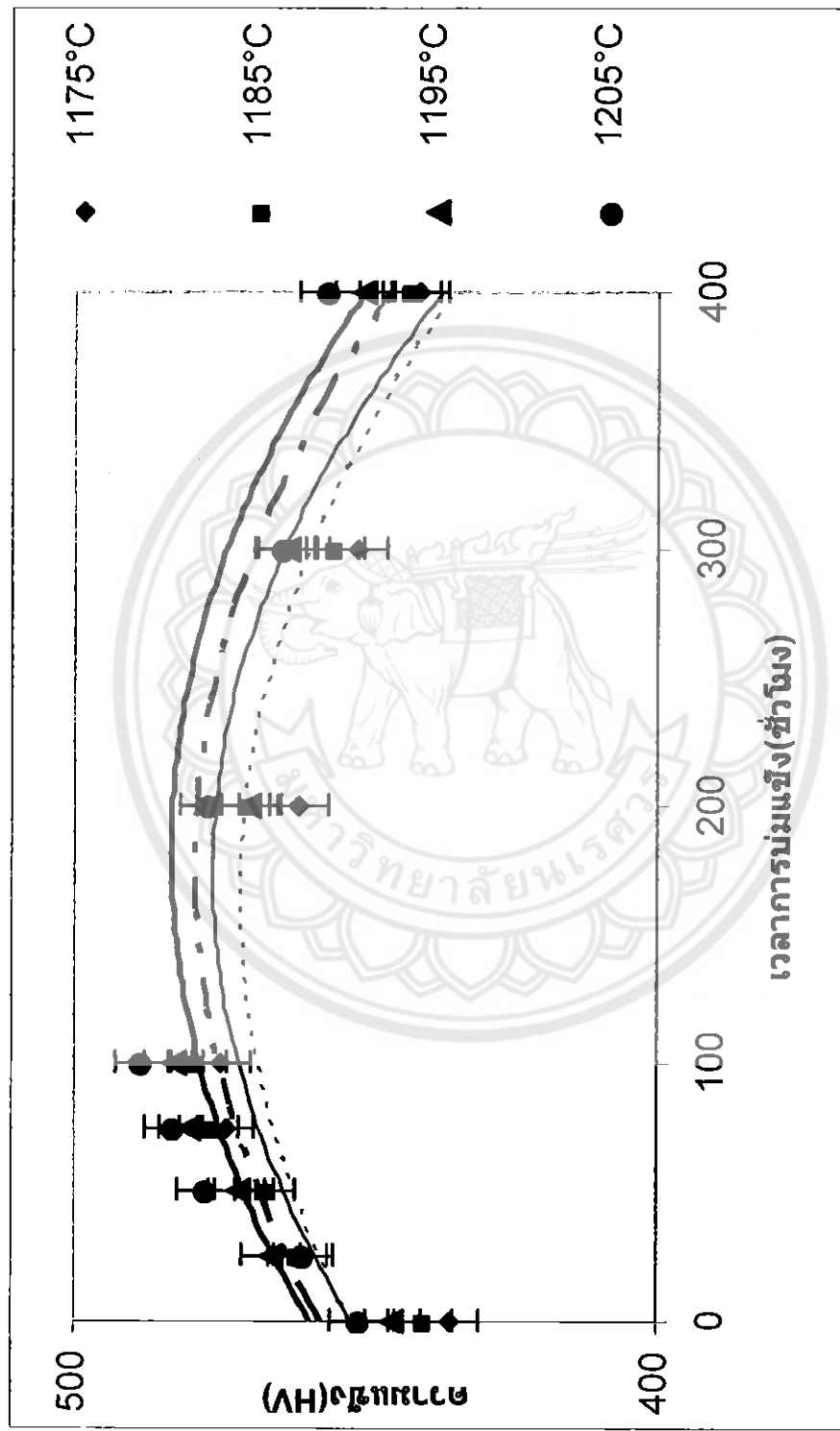


รูปที่ จ.1 แสดงความสัมพันธ์ระหว่างพื้นที่ผิวต่ำของอนุภาคกับขนาดอนุภาค (Particle size) ในชั้นงานหลังผ่านการทำลาย ณ ดูหภูมิต่างๆ เป็นเวลา 4 ชั่วโมงกับเวลา การบ่มแบบที่อุณหภูมิ 845 °C ทั้ง 7 ตัว vz



**រូបភាព 7.2** ផតគងទំនួលឱ្យការអនុវត្តបានបន្ថែមបានបន្ថែមពីបែងចែកសម្រាប់ប៉ុងទិន្នន័យការពេញមីឡូវីន (Area fraction) និងឯងងារអតិថជនការអារ៉ាតាមទាមទារ ទុសអក្សរិតចាប់ពី 845 °C ដល់ 1205 °C ក្នុងវត្ថុការប៉ុងប៉ុងពីក្នុងអាកាស





รูปที่ ๗.๑ แสดงความสัมพันธ์ระหว่างสัดส่วนของน้ำซึ่งเป็นตัวแปรทางการผลิตภัณฑ์อาหารทำต่อค่า aw ขณะก่อนเวลา 4 ชั่วโมงก่อนเวลาการบ่มเม็ดที่อุณหภูมิ 845 °C ทั้ง

7 แห่งวัว